

Т. И. Тихоновъ.

ИЗМѢНЕНИЕ

СТРУКТУРЫ ЖЕЛЪЗА

ПРИ

МЕХАНИЧЕСКОЙ ОБРАБОТКѢ.



ТОМСКЪ.

Типо-Литографія Сибирскаго Тип-ва Печатнаго Дѣла. Уг. Дворянской ул. и Ямского пер. соб. д
1911.

Отд. оттискъ изъ Извѣстій Томскаго Технологическаго Института Импера-
тора Николая II.

Введеніе.

Тѣсная связь между механическими свойствами желѣза и его структурою несомнѣнно существуетъ и доказана цѣлымъ рядомъ механическихъ и металлографическихъ изслѣдованій позднѣйшаго періода времени въ области изученія свойствъ желѣза. Выясненіе картины тѣхъ измѣненій въ структурномъ строеніи желѣза, которыя происходятъ въ послѣднемъ при цѣломъ рядѣ механическихъ процессовъ обработки желѣза,—составляетъ главную задачу предлагаемаго очерка, но долженъ замѣтить, что основная задача этой работы далеко не исчерпана полностью, перѣдко и не по винѣ автора, но вслѣдствіе того, что мѣстныя условія далеко не благопріятствовалиполнотѣ подобныхъ изслѣдованій. Частичныя предварительныя изслѣдованія по указанному вопросу начаты были давно и иногда предлагались гг. студентамъ Института въ видѣ дипломныхъ работъ, но послѣднія работы всегда выполнялись при тѣсномъ руководствѣ и участіи автора предлагаемаго очерка. Все изложеніе затронутаго вопроса разбито на три главы, причемъ въ первой изъ нихъ разсмотрѣнъ вопросъ о кристаллическомъ строеніи углеродистаго желѣза; во второй—о вліянії нагрѣва на структуру углеродистаго желѣза и въ третьей—объ измѣненіи структуры желѣза при прокаткѣ, волоченіи, штампованіи, ковкѣ, рѣзаніи и продавливаніи.

Кристаллическое строение углеродистого железа.

Наблюдая различные химические соединения железа, встречающиеся на земной поверхности, мы нередко встречаем явно кристаллические формы ихъ. Такъ, магнитный железнякъ нередко можно встрѣтить въ формѣ прекрасныхъ кристалловъ октаэдра. Фигура 1 табл. I изображаетъ фотографію такого железняка изъ нашей находки по Уралу. Такие же правильные октаэдры наблюдаются у хромистаго железняка¹⁾. По общему закону изотипіи, основные кристаллические формы, присущія чистому металлу, должны повторяться въ видѣ такихъ же и у соединений этого металла, но можно съ большою степенью вѣроятности и обратно заключить, что кристаллические формы октаэдра должны повторяться и у чистаго железа. Начиная съ половины XVIII столѣтія, благодаря значительному интересу къ стали, было сделано весьма много опытовъ съ цѣлью получить отчетливые кристаллы железа, и нередко такія попытки оканчивались успѣхомъ. Такъ, въ 1900 году Осмондомъ были опубликованы работы металлурга XVIII вѣка Гриньона²⁾, посвященные кристаллизации чугуна, стали и шлаковъ. Описывая явленія кристаллизации, наблюдавшія у чугуна, Гриньонъ говоритъ³⁾, что первымъ элементомъ кристаллизации является ромбъ, надъ которымъ поднимаются другіе составляющіе ромбы, образующіе, постепенно уменьшаясь, пирамиду съ ромбическимъ основаниемъ. По четыремъ сторонамъ этой главной и центральной пирамиды расположены, подъ прямымъ угломъ отъ основания до вершины, другія пирамиды той же формы, уменьшающіяся по величинѣ въ зависимости отъ занимаемаго ими места такимъ образомъ, что съченіе составного кристалла является четырехугольной звѣздой, а въ профилѣ онъ образуетъ деревца, похожія на маленькия елочки. Совершенно аналогичную кристаллизацию у углеродистаго железа наблюдали Мартенсъ и Кнопъ⁴⁾ и нашъ всемирно известный профессоръ Дмитрій Константиновичъ Черновъ. Фиг. 5 таб. II изображаетъ кристаллы профессора Чернова, полученные имъ изъ литьника 100 t болванки мягкой стали. Отливка этой болванки была произведена въ металлическую изложницу, которая вся до верхней прибыли

¹⁾ Опыты С. Меріе. Брауншт. Хімія. Минералогія.

²⁾ Sur la cristallographie du fer. Osmond. 1900 Paris.

³⁾ Н. Євляевъ. Кристаллизация, структура и свойства стали. 1909 г. Стр. 9.

⁴⁾ Molekular constitution S 68.

была защищена отъ быстраго охлажденія землей. Въ пустотѣ самой прибыли, вслѣдствіе усадки металла и вслѣдствіе весьма медленнаго остыванія самой болванки и были найдены вышеуказанные кристаллы стали. (Длина большого кристалла 39 ст. и вѣсъ $8\frac{1}{2}$ фунтовъ. Въ данное время этотъ кристалль переданъ въ распоряженіе Морской Артиллерійской Академіи). Разматриваемый кристалль двойной, одинъ кристалль больше другого, одному кристаллу общія условія образованія его больше благопріятствовали росту нежели другому сосѣду. Разматривая этотъ кристалль, мы ясно замѣчаемъ, что основная форма октаэдра явно преобладаетъ въ его строеніи, но общее расположение этихъ кристалловъ вполнѣ напоминаетъ ту елочку, о которой раньше говорилъ Гриньюонъ. Совершенно аналогичные кристаллы октаэдры, но значительно по меньшихъ размѣровъ, удавалось наблюдать при спокойномъ, но весьма медленномъ охлажденіи чугуна и стали изслѣдователямъ Бергману⁵⁾, Берцеліусу⁶⁾, Фарадэю⁶⁾ и др. Кристаллы желѣза въ формѣ октаэдра при весьма медленномъ и спокойномъ охлажденіи наблюдались Барделеемъ⁷⁾ и Перси⁶⁾.

Такимъ образомъ на основаніи всего предыдущаго можно утверждать, что форма кристалла октаэдра вполнѣ присуща углеродистому желѣзу при весьма спокойномъ и медленномъ охлажденіи, когда образованіе этого кристалла свободно, но интересно прослѣдить измѣненія этой основной кристаллизациіи желѣза, когда кристалль при своемъ образованіи встрѣчаетъ препятствія въ видѣ давленія на свою поверхность со стороны той среды, за счетъ которой онъ образуется. Первымъ условіемъ начала образованія кристалла изъ раствора, каковымъ въ данное время разматривается всякий сплавъ, является условіе пересыщенія раствора при стѣсненной кристаллизациіи. Съ момента начала образования кристалла послѣдній испытываетъ давленіе той среды, за счетъ которой онъ образуется. Это давленіе пропорціонально поверхности кристалла и, очевидно, оно будетъ наименьшимъ на болѣе заостренныхъ конусахъ кристалла, т. е. на концахъ его кристаллическихъ осей. Слѣдовательно, съ момента начала кристаллизациіи послѣдняя наиболѣе интенсивно начнетъ распространяться по линіямъ наименьшаго сопротивленія и даетъ рядъ осей кристаллизациіи. По мѣрѣ выдѣленія кристалловъ, освобождается теплота кристаллизациіи, которая повышаетъ температуру той среды, черезъ которую проходитъ главная ось кристаллизациіи. Если металль обладаетъ слабой теплопроводностью или искусственно такъ обставленъ, что весьма медленно теряетъ тепло, и около глаеныхъ осей кристаллизациіи происходятъ конвекціонные токи въ самомъ веществѣ, за счетъ котораго образуются кристаллы,—то въ благо-

⁵⁾ Osmond. Sur la cristallographie du fer p. 18.

⁶⁾ Dr. J. Percy. Traité complet de Metallurgie traduit par Petigrand et Ronne. Paris. 1865. t. II. p. 4, 5.

⁷⁾ Cristallographie du fer p. 18. До $1\frac{1}{2}$ дм. въ діаметрѣ.

пріятныхъ мѣстахъ для кристаллизациі начидаютъ появляться вторичные оси кристаллизациі въ направленіяхъ перпендикулярныхъ къ первымъ основнымъ осямъ. Затѣмъ, при условіяхъ совершенно аналогичныхъ и вполнѣ благопріятствующихъ образованію вторыхъ осей кристаллизациі, могутъ образоваться и оси 3-й кристаллизациі, перпендикулярныя къ 2-мъ и т. д. Такимъ образомъ мы получаемъ весьма сложную систему осей кристаллизациі. Углеродистое жалъзо не однородно по составу, и эта неоднородность по составу еще болѣе обнаруживается въ моментъ застыванія металла, т. е. въ моментъ образованія кристаллизациі. Мѣстами указанныя оси кристаллизациі проходятъ черезъ фокусы (точки) жидкаго металла, которые обильно даютъ матеріалъ для образованія кристалловъ, происходитъ ростъ, утолщеніе осей кристаллизациі, вслѣдствіе чего и форма кристаллизациі не ровная, а съ рѣзкими измѣненіями въ сѣченіяхъ,—получается такъ наз. прерывчатая кристаллизациі. Теплота кристаллизациі металловъ вообще, а въ частности и для жалъза по даннымъ Витторфа⁸⁾ весьма значительна, но углеродистое жалъзо обладаетъ и значительной теплопроводностью, следовательно, эта теплота можетъ легко теряться и слабо способствовать кристаллизациі; но вслѣдствіе того, что углеродистое жалъзо не однородно, теплота при охлажденіи излучается (теряется) не равнозѣрно, въ массѣ охлаждающагося металла появляются фокусы съ повышенной температурой (противъ средней) и въ этихъ мѣстахъ, проходящая ось кристаллизациі, при условіи наличности веществъ, за счетъ которыхъ происходитъ образованіе кристалловъ, должна получить приростъ, утолщеніе въ сѣченіи, т. е. опять имѣются условія для получения прерывчатой кристаллизациі. По отношенію къ углеродистому жалъзу цѣлый рядъ наблюдений надъ развитіемъ и ростомъ кристалловъ при условіи существованія давленія на кристаллы со стороны той среды, изъ которой образуются эти кристаллы, привели профессора Чернова къ такого рода выводамъ⁹⁾.

„Разсматривая подъ микроскопомъ отдѣльные кристаллы, мы видимъ, что они принадлежать къ разрывнымъ кристалламъ съ наиболѣшимъ развитіемъ ростковъ по направленію октаэдрическихъ осей, причемъ одна изъ нихъ, по направленію главнаго роста кристалла, всегда оказывается длиннѣе двухъ другихъ, такъ что каждый разрывной кристаллъ представляется въ видѣ скелета, вытянутаго квадратнаго октаэдра. Кромѣ ростковъ по направленію октаэдрическихъ осей, или ростковъ первого порядка, по мѣрѣ удаленія отъ вершины къ его основанию, мы встрѣчаемъ, сначала въ зачаткахъ, а потомъ все болѣе и болѣз развитые ростки второго, третьяго и т. д. порядковъ, которые иногда образуютъ буквально сѣтчатыя стропила октаэдрическаго кристалла“.

⁸⁾ Теорія силавовъ. Стр. 332.

⁹⁾ Статьи Чернова въ запискахъ И. Р. Т. О. за 1863—69 г.

Изъ предыдущаго не трудно уловить, что главнымъ условиемъ получения кристаллическихъ формъ углеродистаго желѣза является медленность и равномѣрность охлажденія металла, и только при такихъ осложненіяхъ вышеупомянутымъ лицамъ удалось наблюдать явно кристаллическія формы у углеродистаго желѣза. Съ цѣлью получить явно кристаллическія формы у углеродистаго желѣза въ недавнее время на Путиловскомъ заводѣ¹⁰⁾ по указаніямъ проф. Чернова были произведены опыты. Бралась для опытовъ шихта мелкаго желѣза и графитъ, помѣщалась въ тигли, плавилась и послѣ нагревалялась еще въ теченіе болѣе двухъ часовъ. Затѣмъ закрывались тигли, горнъ замазывался, и сплавъ медленно охлаждался въ тиглѣ вмѣстѣ съ печью. (Время охлажденія сплава достигало 60 часовъ).

Желѣзо для указанныхъ цѣлей бралось слѣдующаго химическаго состава:

| | C. | Si | Mn | Ph | S |
|------------------------------|------|------|------|-------|-------|
| Демидовское желѣзо | 0,10 | 0,14 | 0,22 | 0,043 | 0,019 |
| Мартеновское | 0,12 | — | 0,39 | 0,007 | 0,012 |

Изъ указанного желѣза въ смышениі съ графитомъ послѣ плавки былъ полученъ слѣдующій различный матеріаль углеродистаго желѣза.

| № брусковъ. | C. | Si | Mn | Ph | S | Роль плавки. |
|-------------|------|------|------|--------|-------|-------------------|
| 1 | 1,80 | 0,30 | 0,15 | 0,026 | 0,022 | Шамотные тигли. |
| 2 | 2,30 | 0,40 | 0,25 | Слѣды. | 0,024 | |
| 3 | 3,88 | 0,70 | 0,17 | 0,028 | 0,095 | Графитовые тигли. |
| 4 | 3,89 | 0,64 | 0,31 | 0,27 | 0,050 | |
| 5 | 0,62 | 0,51 | 0,14 | 0,024 | 0,019 | Шамотные тигли. |
| 6 | 0,60 | 0,48 | 0,10 | 0,026 | 0,026 | |

Такимъ образомъ, изъ вышеупомянутой таблицы анализовъ металла ясно видно, что углеродистое желѣзо при опытахъ было весьма разнобразно по химическому составу,—отъ состава чугуновъ до средней стали по твердости включительно. Въ шамотныхъ тигляхъ при плавкѣ произошло обогащеніе металла кремніемъ за счетъ стѣнокъ тигля. Такъ какъ условия производства послѣднихъ опытовъ весьма хорошо благоприятствовали образованію кристаллизациіи углеродистаго желѣза, то въ результатахъ въ изломахъ данныхъ сплавовъ удалось замѣтить явные слѣды октаэдрической кристаллизациіи желѣза. Фиг. 2 таб. I. представляеть наружную корку сплава № 2. На этомъ изломѣ мы видимъ явную

¹⁰⁾ Бѣляевъ. Кристаллизациія, структура и свойства стали. Стр. 1. 1909.

картину первичной кристаллизации, имеется рядъ кристаллическихъ осей, постепенно растущихъ отъ периферіи къ центру; эти основныя оси имѣютъ оси 2 и 3-го порядка и вмѣстѣ въ совокупности даютъ явную картину прерывчатыхъ кристалловъ. Ранѣе было указано, что на осяхъ кристаллизации ростъ кристаллизации наиболѣе интенсивенъ, вслѣдствіе чего на наружной коркѣ, въ мѣстахъ окончанія осей кристаллизации, мы замѣчаемъ явные выпуклости. Особенно характерно были замѣтны эти выпуклости на наружной коркѣ сплава № 1, часть верхней корки которого изображаетъ фиг. 3 таб. I съ явными следами основъ самихъ кристалловъ.

На основаніи всего предыдущаго мы невольно приходимъ къ заключенію, что углеродистое желѣзо при свободной кристаллизации, но при условіи весьма медленнаго охлажденія послѣ плавленія, свободно принимаетъ явно кристаллическую форму въ видѣ октаэдровъ. При стѣсненной кристаллизации, но при условіи весьма медленнаго охлажденія послѣ плавленія, углеродистое желѣзо явно обнаруживаетъ наклонность къ образованію прерывчатыхъ кристалловъ, которые по своей формѣ явно напоминаютъ октаэдръ (смотр. фиг. 2 и 3), и отсюда мы можемъ заключить, что октаэдръ является основной формой обоихъ только что разсмотрѣнныхъ видовъ кристаллизации углеродистаго желѣза. Величина этихъ кристалловъ растетъ не только съ медленностью охлажденія, но зависитъ и отъ содержанія углерода, а именно: характеръ кристаллизации, при всѣхъ прочихъ условіяхъ, будетъ тѣмъ рельефнѣе, чѣмъ содержаніе углерода ближе къ 2%¹¹⁾, т. е. къ точкѣ Е' діаграммы плавкости углеродистаго желѣза по Розенбоуму¹²⁾.

Кромѣ наиболѣе часто встрѣчающейся формы кристаллизации, октаэдра, было найдено, что углеродистое желѣзо способно кристаллизоваться въ кубической системѣ¹³⁾. Въ послѣдней формѣ кристаллизации было найдено желѣзо при одномъ изъ изслѣдований въ металлографической лабораторіи Томскаго Технологического Института. (См. металлические сплавы. Г. Тихоновъ. 1910 г., стр. 65. Фиг. 95). Такія измѣненія въ кристаллизации желѣза вполнѣ возможны и находять полную аналогию себѣ въ измѣненіяхъ характера кристаллизации различныхъ солей въ зависимости отъ условій, при которыхъ наблюдается эта кристаллизация. Такъ, по наблюденіямъ Осмонда и Карто¹⁴⁾ хромовыя квасцы при быстрой кристаллизации даютъ дендриты кубической системы и при медленной—октаэдры. Хлористый натръ, обычно кристаллизующійся въ видѣ кубовъ, даетъ октаэдръ изъ раствора—съ примѣсью мочевины или Ca Cl_2 и Mg SO_4 .

¹¹⁾ Бѣляевъ. Кристаллизация стали. Стр. 7. 1909.

¹²⁾ Металлографія. Часть I. Стр. 27—29.

¹³⁾ Бѣляевъ. Кристаллизация стали. Стр. 14.

¹⁴⁾ Metallographist IV. 1901. p. 119.

Причину такого измѣненія основной формы кристаллизациі, довольно часто встрѣчающейся у многихъ солей, но весьма рѣдко наблюдаемой у углеродистаго желѣза, Кюри¹⁵⁾ объясняетъ слѣдующимъ образомъ: кристаллъ для своего образованія на преодолѣніе виѣшнихъ препятствій расходуетъ minimum энергіи, и величина этой энергіи для данного вещества есть величина постоянная, независимо отъ условій кристаллизациі. Если измѣняется среда кристаллизациі данного вещества, то при постоянствѣ ранѣе указанной энергіи кристаллизациі, возможно измѣненіе общей виѣшней площади кристалла, въ смыслѣ уменьшенія или увеличенія ея въ зависимости отъ условій среды, въ которой происходитъ кристаллизациі; при измѣненіи виѣшней площади кристалла возможно получение новой формы кристаллизациі. Только такимъ путемъ возможно объяснить двойную форму кристаллизациі желѣза,—весьма рѣдкую куба и наиболѣе распространенную—форму октаэдроў, образующуюся въ первый періодъ застыванія углеродистаго желѣза послѣ плавленія, но до появленія аллотропіи желѣза, и такая кристаллизациі въ отличіе отъ аллотропической наз. первичной кристаллизацией желѣза.

Въ предыдущемъ мы разсмотрѣли условія образованія кристалловъ у углеродистаго желѣза при высокихъ температурахъ послѣ плавленія при медленномъ охлажденіи и до начала аллотропическихъ измѣненій въ желѣзѣ; но если условія охлажденія вполнѣ благопріятствовали образованію кристалловъ въ желѣзѣ до начала аллотропическихъ измѣненій, то очевидно, что все дальнѣйшее перемѣщеніе частицъ металла въ періодъ его аллотропіи должно происходить въ пустотахъ между кристаллами такого металла и по плоскостямъ спайности этихъ кристалловъ. Въ дѣйствительности позднѣйшія наблюденія, сдѣланныя въ этой области, вполнѣ подтверждаютъ только что высказаное предположеніе. Такъ одинъ изъ кристалловъ проф. Чернова¹⁶⁾ изъ усадочной раковины 100 т болванки на шлифѣ (Фиг. 4, таб. I) имѣеть явные признаки кристаллическаго строенія внутри самого кристалла, съ явной группировкой осей кристаллизациі, но въ плоскостяхъ спайности самихъ кристалловъ (октаэдроў) отчетливо замѣтно при большомъ увеличеніи скопленіе феррита (Фиг. 6 табл. III), т. е. вещества, которое выдѣлилось въ этихъ пустотахъ уже послѣ образованія первичныхъ кристалловъ въ моментъ аллотропіи желѣза. Въ данномъ случаѣ ферритъ содержитъ весьма значительное количество вкрапленного въ него шлака, что объясняется тѣмъ, что данный кристаллъ образовался въ усадочной раковинѣ, где имѣлось значительное количество шлака, выдѣленного изъ самой болванки во время затвердѣванія ея. Подобную картину расположе-

¹⁵⁾ Baumhauer. Neuere E. der Kristallographie, ссылка на P. Curie. Bull. de la Soci  t   mineralogique de Franc. 8. 145.

Бѣляевъ. Кристаллизациія стали. Стр. 14

¹⁶⁾ Бѣляевъ. Кристаллизациія стали. Стр. 17. 1909 г.

женія элементовъ вторичной кристаллизациі по отношенію къ элементамъ первичной мы можемъ наблюдать, очевидно, только въ тѣхъ случаяхъ, когда условія охлажденія самого углеродистаго желѣза вполнѣ благопріятствуютъ появленів основной первичной кристаллизациі, и въ зависимости отъ химического состава углеродистаго желѣза въ качествѣ цементирующаго вещества между основными первичными кристаллами въ одномъ случаѣ будетъ ферритъ, если содержаніе углерода менѣе 0,85 %, и въ другомъ случаѣ цементитъ при содержаніи углерода отъ 0,85 до 2 %. (См. кривую Roozboom'a. Металлографія, часть I, Т. Тихонова, стр. 27—29). Вполнѣ ясное и отчетливое выдѣленіе зеренъ феррита въ плоскостяхъ спайности первичныхъ кристалловъ отчетливо наблюдалось при вышеуказанныхъ опытахъ г-на Бѣляева¹⁷⁾ на Путиловскомъ заводѣ, и одинъ изъ такихъ шлифовъ отъ сплава № 5 изображенъ на фиг. 7, табл. III съ вполнѣ яснымъ вкрапленіемъ феррита между первичными кристаллами самого сплава.

Въ периодъ вторичной аллотропической кристаллизациі свободная масса углеродистаго желѣза, феррита или цементита, въ зависимости отъ химического состава разсматриваемаго металла, заполняетъ пустоты между основными большими кристаллами первичной кристаллизациі, но тѣ же элементы феррита или цементита, при условіи весьма медленнаго охлажденія, способны проникать въ плоскости спайности мелкихъ кристалловъ (2-го, 3-го и т. д. порядка) и даютъ самостоятельный отвѣтственія. При указанныхъ условіяхъ на шлифѣ мы отчетливо можемъ наблюдать картину дѣленія основного, большого кристалла первичной кристаллизациі на кристаллы 2-го, 3-го и т. д. порядковъ, о которыхъ говорилось раньше. Фиг. 8 табл. III представляетъ ясную картину отчетливаго дѣленія основного кристалла углеродистаго желѣза на составляющіе его элементы. Сплавъ содержитъ 0,55 C, 0,30 % Mn, 0,020 % Ph и 0,021 % S и былъ полученъ г. Бѣляевымъ¹⁸⁾ на Ижевскомъ заводѣ. Если параллельно съ только что разсмотрѣннымъ нами шлифомъ (фиг. 8) мы внимательно начнемъ разсматривать слѣдующее (фиг. 9 и 10 табл. III), изображающее снимки со шлифа одного изъ метеоритовъ, то мы найдемъ очень большое сходство въ смыслѣ сочетанія линій въ обоихъ рисункахъ. На обоихъ рисункахъ мы отчетливо можемъ найти треугольники, параллелограммы и въ нѣкоторыхъ случаяхъ прямоугольники, образованные общей сѣткой феррита на разсматриваемыхъ шлифахъ. Разсматриваемыя фигуры на метеоритахъ впервые были открыты въ 1808 г. Директор. Импер. Вѣнскаго фарфорового завода Alois von Vidmansttten и въ честь его названы „Видманштетовыми фигурами“. Присутствіе Видманштетовыхъ фигуръ есть явный признакъ кристаллическаго строенія разсматриваемаго тѣла въ формѣ октаэдра. Въ зависимости отъ положенія площади сѣченія, въ данномъ случаѣ площади раз-

¹⁷⁾ Бѣляевъ. Кристаллизација стали. Таб. VII.

¹⁸⁾ Бѣляевъ. Кристаллизација стали. Таб. VIII.

сматриваемаго шлифа, по отношению къ осямъ октаэдра получаются рисунки отъ расположения элементовъ феррита въ видѣ треугольника, параллелограмма или прямоугольника¹⁹). Основные элементы Видманштетовой структуры отчетливо видны на шлифѣ магнитнаго (фиг. 11 табл. III) желѣзняка, встречаются на шлифахъ стали (фиг. 12 табл. IV) послѣ медленнаго охлажденія отъ высокихъ температуръ или послѣ ея пережога (ф. 28 таб. VI), и вообще эта структура появляется на шлифахъ углеродистаго желѣза тогда, когда металль былъ значительно выше нагрѣтъ начала момента аллотропіи желѣза и затѣмъ былъ весьма медленно охлажденъ. Но склонность углеродистаго желѣза сохранять свое кристаллическое строеніе обнаруживается у него даже и тогда, когда внешнія условія охлажденія очень мало благопріятствуютъ такой кристаллизации. Такъ, при высокомъ нагрѣвѣ (выше критическихъ точекъ) углеродистаго желѣза съ содержаніемъ углерода около 2% и при весьма быстромъ и сильномъ охлажденіи его основной структурный элементъ такого желѣза состоить изъ аустенита (фиг. 13 табл. IV'), но строеніе аустенита, какъ это видно изъ разматриваемаго шлифа, имѣть явные признаки Видманштетовыхъ фигуръ. Наконецъ, мартенситъ, образующійся при закалкѣ стали, при условіи, когда элементы стали вслѣдствіе быстрого охлажденія и измѣненія объема стали при закалкѣ, испытываютъ весьма сильныя боковыя напряженія (сдвиги)—имѣть явные признаки Видманштетовыхъ фигуръ (характерные треугольники). (Фиг. 14 табл. IV'). Такимъ образомъ, на основаніи всего предыдущаго, мы невольно приходимъ къ слѣдующему заключенію: углеродистое желѣзо способно кристаллизоваться; наиболѣе распространенной формой подобной кристаллизациіи является октаэдръ. При свободной, спокойной кристаллизациіи развитіе кристалловъ октаэдра у углеродистаго желѣза отчетливо замѣтно. При менѣе благопріятныхъ условіяхъ, при стѣсненной кристаллизациіи отчетливое выдѣленіе кристалловъ не возможно, получается прерывчатая кристаллизациія со всѣми характерными признаками полной октаэдрической кристаллизациіи. Наконецъ, при весьма стѣсненныхъ условіяхъ кристаллизациіи, при условіи даже весьма быстрого охлажденія, углеродистое желѣзо поспѣваетъ принять зачатки свойственнааго ему кристаллическаго строенія, что явно обнаруживается характеромъ расположения частицъ, способныхъ измѣнить свое положеніе въ периодъ аллотропіи углеродистаго желѣза.

¹⁹) Треугольникъ получается при условіи расположенія плоскости шлифа параллельно поверхности октаэдра. Прямоугольникъ или квадратъ при условіи положенія плоскости шлифа параллельно плоскости куба и параллелограмъ при расположении плоскости шлифа параллельно поверхности дедекаэдра. Св. Е. Gohen Meteoritenkunde, S. 79. Бѣляевъ. Кристаллизациія стали. Стр. 23. 1909. Структурные элементы Видманштетовыхъ фигуръ въ метеоритахъ состоятъ изъ твердыхъ сплавовъ никеля въ желѣзѣ и желѣза въ никелѣ, изъ камацита и тэнита или ихъ обоихъ вмѣстѣ въ видѣ евтектической смѣси подъ названіемъ плессита. Камацитъ, тэнитъ и плесситъ въ метеоритахъ аналогичны въ стали ферриту, цементиту и перлиту.

Вліяніе нагрѣва на структуру углеродистаго желѣза.

Изъ предыдущей главы мы выяснили, что углеродистое желѣзо при весьма медленномъ охлажденіи послѣ плавленія способно принимать явно кристаллическую форму. При обычныхъ же условіяхъ охлажденія и при наличности механической обработки явныхъ явлений кристаллизациі у желѣза мы не наблюдаемъ. Такъ мягкое желѣзо подъ микроскопомъ обнаруживаетъ рядъ овальныхъ зеренъ феррита, окруженныхъ сѣткою эвтектики (перлита). (Фиг. 15 табл. IV). При болѣе твердыхъ сортахъ желѣза близкихъ къ литой, мягкой стали зерна феррита имѣютъ такую же форму, какъ и у мягкаго желѣза, но сѣтка перлита становится болѣе мощнай, толстой (фиг. 16 табл. IV). Наконецъ, у мягкой стали на мѣстѣ тонкой перлитовой сѣтки мягкаго желѣза появляется таковая же изъ феррита, и эта сѣтка окружаетъ зерна перлита (фиг. 17 табл. IV). Строеніе чугуновъ въ этомъ отношеніи менѣе опредѣленно; по мѣрѣ перехода къ нимъ отъ стали средней твердости сѣтка изъ феррита замѣняется плотною сѣткою изъ цементита, а зерна перлита прорѣтаются явно волокнистое строеніе (фиг. 18 табл. V). Въ бѣлыхъ чугунахъ при соблюденіи весьма медленнаго охлажденія или послѣ продолжительного отжига волокнистое строеніе зеренъ перлита сохраняется (фиг. 19 табл. V), но сѣтка изъ цементита дѣлается прерывистой съ образованіемъ мощнай вкрапленій цементита, рельефно выдѣляющихся въ полѣ перлита *).

Структура углеродистаго желѣза подъ вліяніемъ постепенного нагрѣва отъ нуля до наивысшихъ температуръ мѣняется, и первое замѣтное измѣненіе въ структурѣ мягкаго желѣза, какъ показали наши наблюденія въ Металлографической Лабораторіи Томскаго Технологического Института, происходитъ при температурѣ около 300° С., при температурѣ такъ называемаго „синяго нагрѣва“.

Свойства синяго нагрѣва проявляются при определенной температурѣ и наличности механической обработки, особенно динамической.

Два фактора играютъ роль при синемъ нагрѣвѣ: температура и обработка. Поэтому вся работа представляетъ рядъ испытаній надъ брусками котельнаго желѣза, подвергнутыми термической, механической и совмѣстной обработкѣ.

Температура синяго нагрѣва не установлена, да и вѣроятнѣе всего, что она является функцией, какъ химического состава желѣза, такъ и первоначальной обработки. За одно это говорить уже тотъ фактъ, что всѣ изслѣдователи, изучавшіе синій нагрѣвъ, не могли сойтись на одной определенной температурѣ.

*) Болѣе подробно разсмотрѣна нами структура углеродистаго желѣза въ нашей брошюрѣ „Металлографія“, часть I.

Раньше, чѣмъ перейти къ изложенію хода работы и полученнаго материала, необходимо сказать нѣсколько словъ о строеніи металла при синемъ нагрѣвѣ. Сравненіе, произведенное даже невооруженнымъ глазомъ, изломовъ двухъ брусковъ сырого и обработанного при температурѣ синяго нагрѣва, ясно указываетъ на весьма важный фактъ, уясняющій отчасти сущность явленія синяго нагрѣва.

Изломъ желѣза при синемъ нагрѣвѣ поражаетъ несходствомъ строенія своего излома съ строеніемъ излома сырого образца. У обработанного образца при синемъ нагрѣвѣ зерна получаются крупнѣе. Самый видъ излома по формѣ и характеру мало напоминаетъ изломъ желѣза. Острыя кристаллическія, выступающія ребра скорѣе напоминаютъ изломъ стали.

Значительная хрупкость желѣза при синемъ нагрѣвѣ, какъ это показали работы, обусловливается измѣненіемъ строенія материала. Такъ фиг. 20 таб. V изображаетъ строеніе котельнаго желѣза до нагрѣва, а фиг. 21 таб. V послѣ обработки при синемъ нагрѣвѣ.

Съ цѣлью выясненія измѣненія строенія материала при синемъ нагрѣвѣ для различнаго рода термическихъ и механическихъ испытаний параллельно велось изслѣдованіе структуры котельнаго желѣза подъ микроскопомъ.

Первый вопросъ работы—это вопросъ о температурѣ синяго нагрѣва. За отправную точку при опредѣленіи температуры было принято положеніе: при синемъ нагрѣвѣ строеніе металла мѣняется въ сторону образования болѣе крупнаго зерна, чѣмъ у сырого металла. Это положеніе въ дальнѣйшемъ было проверено рядомъ наблюдений. Съ цѣлью опредѣленія температуры синяго нагрѣва, были произведены слѣдующія работы: были приготовлены 4 бруска съ размѣрами $12 \times 19 \times 19$ мм. Одинъ изъ нихъ, обозначенный № 1, нагрѣть въ электрической печи до температуры 305° С, и при этой температурѣ продержанъ 20 мин. Колебанія температуры при этомъ не превосходили 5° въ ту и другую стороны. Затѣмъ брускочекъ былъ быстро охлажденъ погружениемъ въ воду.

Приготовленный изъ него шлифъ имѣлъ средній размѣръ зерна ==
==0,00163 кв. mm.

Второй кусочекъ, помѣченный № 2, нагрѣть до температуры 330° С, продержанъ также при постоянной температурѣ 20 минутъ и быстро охлажденъ. Изготовленный изъ него шлифъ имѣлъ сред. площ. зер. ==
==0,00180 кв. mm.

Третій образецъ, помѣченный № 3, былъ нагрѣтъ до 350° С, при аналогичныхъ съ 1 и 2 брусками условіяхъ; затѣмъ былъ тоже быстро охлажденъ. Приготовленный изъ него шлифъ и снимокъ показали, что средняя площадь его зерна ==0,002419 кв. mm.

Четвертый кусочекъ остался не нагрѣтымъ. Изъ него былъ приготовленъ тоже шлифъ, и средняя площадь зерна послѣдняго шлифа ==
0,00180 кв. mm.

Такимъ образомъ, изслѣдованіе подъ микроскопомъ дало слѣдующее:

| № шлифовъ | Родъ обработки. | Темпера- тура нагрѣва. | Время нагрѣва мин. | Величина зеренъ. |
|--------------|----------------------------|---------------------------|--------------------------|---------------------|
| 1 | Нагрѣть въ электрич. печи. | 305 | 20 | 0,00163 |
| 2 | " " " " | 330 | 20 | 0,00180 |
| 3 | " " " " | 350 | 20 | 0,002419 |
| 4 | Сырой | — | — | 0,00180 |

На основаніи полученнаго матеріала слѣдуетъ заключить, что температура синяго нагрѣва въ изслѣдованныхъ предѣлахъ равна 350° С. Что касается практическаго признака—синяго цвѣта брусковъ, то слѣдуетъ отмѣтить, что все 3 образца, нагрѣтые и быстро охлажденные, имѣли цвѣта различной интенсивности, и во всякомъ случаѣ окраска не могла служить надежнымъ средствомъ распознаванія синяго нагрѣва.

Вторая серія опытовъ имѣла цѣлью доказать положеніе, что металль при синемъ нагрѣвѣ не выдерживаетъ механической обработки.

Если температура 350° есть температура синяго нагрѣва котельного желѣза, то проявляются ли при обработкѣ и пробахъ образцовъ, нагрѣтыхъ до 350° , свойства, присущія металлу при синемъ нагрѣвѣ? Для выясненія этого вопроса было сдѣлано слѣдующее: были изготовлены образцы для пробы на изгибъ.

Первый, помѣченный № 5 и № 6 по концамъ, былъ нагрѣть въ горнѣ на древесномъ углѣ до синяго нагрѣва, о чемъ судили на глазъ по цвѣту, затѣмъ былъ прокованъ кувалдой, при чемъ, брускъ все время былъ поворачиваемъ на 90° . Обработанный такимъ образомъ кусокъ былъ подвергнутъ пробѣ на изгибъ. Сгибаніе производилось ударами молота по одному концу (а не по мѣсту изгиба), въ то время, какъ другой конецъ былъ закрѣпленъ въ наковальниѣ. При сгибаніи слѣдили за тѣмъ, чтобы не было смятия и поврежденія волоконъ на сторонѣ, прилегающей къ опорному мѣсту.

Результатъ получился слѣдующій: брускъ, согнутый на 90° , далъ на вѣшнихъ волокнахъ ясно видимыя трещины; при отгибаніи въ первоначальное положеніе брускъ сломался при первомъ же ударѣ.

Параллельно былъ согнутъ образецъ сырого котельного желѣза при совершенно тѣхъ же условіяхъ. Результатъ получился слѣдующій: брускъ выдержалъ полныхъ 4 изгиба въ ту и другую сторону. Первые признаки механическаго поврежденія волокна получили при $2\frac{1}{2}$ оборотахъ; потомъ поврежденія увеличились, но матеріаль показалъ значительную вязкость

Полученный результатъ можетъ быть представленъ въ такомъ видѣ:

| №№ | РОДЪ ОБРАБОТКИ. | Число изгибовъ на 90° | Число изгибовъ въ %. |
|-------|--|-------------------------------|----------------------|
| 5 и 6 | Нагрѣтъ въ огнѣ до синяго цвѣта и прокованъ кувалдой | 1 ¹ / ₄ | 15,6% |
| | Сырой | 8,0 | 100% |

Второй образецъ былъ тоже нагрѣтъ въ горнѣ до синяго нагрѣва, затѣмъ прокованъ подъ молотомъ съ постояннымъ повертываніемъ на 90° и согнуть въ видѣ буквы V, а затѣмъ сплющенъ подъ молотомъ уже вплотную.

Результатъ осмотра далъ слѣдующее: внутри изгиба бруска появилась ясно видимая трещина черезъ весь брускъ.

Такую же пробу произвели съ сырымъ брускомъ. Трещинъ ни вну три, ни снаружи замѣчено не было. Матеріалъ показалъ большую тя гучесть Сопоставляя полученные результаты, будемъ имѣть слѣдующее:

| №№ | РОДЪ ОБРАБОТКИ. | Результаты опытовъ. |
|-------|---|--|
| 7 и 8 | Нагрѣтъ въ горнѣ до синяго цвѣта, прокованъ подъ кувалдой и согнуть въ видѣ V. Сырой кусокъ былъ тоже согнуть въ видѣ буквы V. | Внутри появилась трещина. Никакихъ трещинъ не появилось |

Конечный выводъ произведенныхъ испытаній можно формулировать такъ: механическая обработка при синемъ нагрѣвѣ вліяетъ на металль въ сторону уменьшения его вязкости и тягучести, дѣлая его вмѣстѣ съ тѣмъ хрупкимъ и плохо сопротивляющимся изгибающимъ усилиямъ.

Испытанные образцы были оставлены медленно охлаждаться. Затѣмъ отъ частей близкихъ къ мѣсту излома и сгиба были взяты кусочки для изготоенія шлифовъ и для изученія подъ микроскопомъ.

Работа подъ микроскопомъ дала слѣдующее:

| №№ | РОДЪ ОБРАБОТКИ. | Средняя площадь зеренъ въ кв. мм. |
|----|---|-----------------------------------|
| 5 | Обработаны подъ кувалдой и испробованы въ сгибѣ | 0,004195 |
| 6 | | |
| 7 | Обработаны подъ молотомъ и согнуты въ видѣ буквы V. | 0,00427 |
| 8 | | |

Дальнейшая работа имела целью проверить полученные результаты испытанием котельного железа на разрыв.

Из сырого железа были изготовлены 4 образца с размерами $12 \times 19 \times 300$ мм. Первый брускъ, занумерованный № 1, остался без всякой обработки.

Второй кусокъ (№ 2) был нагрѣтъ въ горнѣ на глазъ до синяго нагрѣва и былъ подвергнутъ обработкѣ подъ молотомъ съ повертываніемъ на 90° .

Третій брускъ (№ 3) былъ нагрѣтъ въ электрической печи до 350° ,держанъ при этой температурѣ 20 минутъ и затѣмъ медленно охлажденъ.

Четвертый былъ тоже нагрѣтъ въ электрической печи до 350° ,держанъ при ней 20 минутъ, а затѣмъ быстро охлажденъ выбрасываниемъ въ воду (№ 4). Затѣмъ все четыре бруска пошли на изготошеніе образцовъ для разрыва.

Образцы помѣчены такъ:

Образецъ изъ сырого материала пом. 1

Образецъ изъ нагрѣт. и обработ. пом. 2

Образецъ изъ нагрѣт. и медл. охлажд. пом. 3

Образецъ изъ нагрѣт. и быстро охлажд. пом. 4

Изъ каждого куска получено было по 5 образцовъ для разрыва.

Работа на разрывной машинѣ Гагарина дала слѣдующій результатъ:

| № № | Относительное удлинен. %. | Относит. сжатіе % | Напряженіе при предѣльной упругости. | Напряженіе максим. | Напряженіе при разрывѣ. | Обработка бруска, изъ которого изготовлены образцы. |
|--------|------------------------------|-------------------------|--------------------------------------|--------------------|-------------------------|--|
| 1 I | 28,8 | 70 | 18,95 | 30 | — | нѣть. |
| 1 II | 39,75 | 77 | 17,80 | 30,2 | 19,2 | |
| 1 III | 37,80 | 74 | 17,3 | 30,25 | 16,4 | |
| 1 IV | 37,50 | 76 | 17,8 | 30,75 | 18,4 | |
| 1 V | 39,20 | 77,5 | 18,4 | 30,5 | 19,0 | |
| Средн. | 36,6 | 74,9% | 18,06 | 30,5 | 18,25 | |
| 2 I | 19,40 | 78% | 36,3 | 41 | 19,12 | Нагрѣтъ до 350° и обработанъ подъ молотомъ. |
| 2 II | 12,60 | 68 | 44,5 | 42,0 | 26,5 | |
| 2 III | 17,60 | 63,5 | 38,5 | 42,5 | 24,75 | |
| 2 IV | 13,50 | 1 | 39,8 | 42,6 | 25,5 | |
| 2 V | 9,4 | 64 | 50,2 | 50,4 | 29,2 | |
| Средн. | 14,5 | 68,9 | 41,86 | 43,6 | 25,0 | |

| №№ | Относительное удлинение, %. | Относительное сжатие, %. | Напряжение при предельной упругости. | Напряжение максим. | Напряжение при разрыве. | Обработка бруска изъ которого изготовлены образцы. |
|--------|-----------------------------|--------------------------|--------------------------------------|--------------------|-------------------------|--|
| 3 I | — | — | 15,85 | 29,6 | — | |
| 3 II | 33,2 | 77% | 16,3 | 28,7 | 20,0 | |
| 3 III | 44,0 | 78 | 16,7 | 29,2 | 18,0 | |
| 3 IV | 38,5 | 80 | 15,2 | 29,3 | 17,9 | |
| 3 V | 37,5 | 74 | 18,8 | 30,0 | 18,6 | |
| Средн. | 38,3 | 77,25 | 16,75 | 29,36 | 18,5 | |
| 4 I | 36,5 | 73% | 18,0 | 30,0 | 18,6 | |
| 4 II | 39,0 | 76 | 17,2 | 30,5 | 18,7 | |
| 4 III | 30,5 | 75 | 18,1 | 30,7 | 17,1 | |
| 4 IV | 36,5 | 77 | 18,1 | 29,5 | 19,6 | |
| 4 V | 38,0 | 69 | 18,8 | 30,2 | 24,2 | |
| Средн. | 36,1 | 74 | 18,04 | 30,2 | 19,64 | |

Основываясь на этихъ цифровыхъ данныхъ, можно сдѣлать слѣдующій положительный выводъ: 1) одинъ синій нагрѣвъ ни при медленномъ, ни при быстромъ охлажденіи не оказываетъ вредного вліянія на свойства металла; 2) синій нагрѣвъ совмѣстно съ механической обработкой кореннымъ образомъ измѣняетъ свойства металла, повышая напряженіе разрыва до предѣла упругости,—съ 18,06 у сырого—до 41,86 у обработанного при синемъ нагрѣвѣ; что въ процентахъ, принимая напряженіе сырого за 100, дастъ для нагрѣтаго и обработанного величину 210,5%, или, другими словами, напряженіе разрыва у нагрѣтаго и обработанного въ 2,10 разъ больше, чѣмъ у сырого.

Наоборотъ, удлиненіе образца, обработанного при синемъ нагрѣвѣ, будетъ значительно меныше удлиненія сырого.

Получено среднее удлиненіе сырого , . 36,6
" " " обраб. при син. нагр. . . . 14,5

Т. е. удлиненіе образца, обработанного при синемъ нагрѣвѣ, въ 2,5 раза меныше, чѣмъ удлиненіе сырого образца.

Результаты опытовъ дали въ среднемъ:

| №№ | РОДЪ ОБРАБОТКИ. | Температура нагрѣва. | Напряженіе до предѣла упругости. | % удлиненія до предѣла упругости. |
|-------|------------------------------|----------------------|----------------------------------|-----------------------------------|
| 1 (5) | Сырой . . . , | -- | 18,06 | 36,6 |
| 2 (5) | Нагрѣтъ и обраб. подъ молот. | 350° | 41,86 | 14,5 |
| 3 (5) | Нагрѣтъ (стыль медленно). | 350° | 16,75 | 38,3 |
| 3 (5) | Нагрѣтъ (быстро охлажденъ) | 350° | 18,04 | 36,1 |

При разсмотрѣніи діаграммъ разрыва брусковъ выяснились слѣдующія особенности каждой серіи діаграммъ.

Діаграммы сырого желяза идутъ плавно до предѣла упругости, за предѣломъ упругости кривая нѣкоторое время идетъ почти горизонтально, что указываетъ на значительную вязкость металла, а затѣмъ уже кривая снова поднимается вверхъ и, наконецъ, весьма плавно опускается книзу.

Въ діаграммахъ, полученныхъ при разрывѣ 5 образцовъ 2-го куска, нагрѣтаго и обработанного, кривыя до предѣла упругости идутъ значительно круче и поднимаются выше, что указываетъ на большое сопротивленіе разрывающему усилию и на малую способность металла вытягиваться. Дѣйствительно, подсчетъ показалъ, что напряженіе до предѣла упругости у бруска нагрѣтаго и обработанного почти въ 2,1 раза больше, чѣмъ у сырого, а удлиненіе наоборотъ, у сырого больше, чѣмъ у нагрѣтаго и обработанного въ 2,5 раза. За предѣломъ упругости кривая поднимается значительно и затѣмъ быстро идетъ на пониженіе. Слѣдовательно, вязкость значительно понижена.

Діаграммы, полученные отъ разрыва образцовъ 3-го куска, нагрѣтаго и медленно охлажденнаго, имѣютъ слѣдующія особенности.

Кривая до предѣла упругости напоминаетъ кривую сырого матеріала, но за предѣломъ упругости уже не получается горизонтальной или слабо повышающейся кривой, какъ у первого бруска. Діаграмма въ этомъ мѣстѣ представляеть рядъ болѣе или менѣе значительныхъ скачковъ, свидѣтельствующихъ о меньшей вязкости матеріала, чѣмъ первоначально. Такого рода явленіе можетъ быть отнесено только на счетъ измѣненія строенія. Ранѣе микроскопическія изслѣдованія показали, что строеніе металла нагрѣтаго до синяго нагрѣва, измѣняется въ сторону образованія болѣе крупнаго зерна. Въ этомъ фактѣ и слѣдуетъ искать объясненіе тому явленію, что кривая за предѣлами упругости дѣлаетъ скачки вверхъ и внизъ. Выходитъ такъ, что синій нагрѣвъ, вызвавъ измѣненіе строенія, какъ бы нѣсколько уменьшилъ связь между зернами феррита и сѣткою изъ перлита.

Діаграммы, полученные изъ образцовъ 4-хъ нагрѣтыхъ и быстро охлажденныхъ, идутъ до предѣла упругости плавно, но болѣе полого, чѣмъ у сырого матеріала. За предѣломъ упругости кривыя идутъ тоже плавно и характеромъ напоминаютъ діаграммы сырыхъ образцовъ. Основываясь на этомъ, можно сдѣлать предположеніе, что матеріалъ нагрѣтый до синяго нагрѣва и быстро охлажденный, какъ бы, возстановляеть свою первоначальную способность сопротивляться разрывающимъ усилиямъ.

Въ заключеніе остается упомянуть еще объ испытаніяхъ, произведенныхъ съ цѣлью выясненія вопроса о томъ, нѣть ли въ предѣлахъ температуры синяго нагрѣва характерныхъ критическихъ точекъ.

Съ этой цѣлью были произведены три наблюденія:

1) Брусокъ сырого котельного желѣза былъ нагрѣтъ до 450° и медленно остывалъ въ печи. При помощи аппарата Курнакова была получена кривая, которая указала, что въ предѣлахъ температуры до 450° такихъ точекъ не замѣтно.

2) Опытъ былъ повторенъ со вторымъ брускомъ, бывшимъ ранѣе нагрѣтымъ до 350° и обработаннымъ подъ кувалдой. Вторая кривая діаграмма дала тотъ же результатъ.

3) На повѣрку было сдѣлано третье наблюденіе. Образецъ, грѣтый и обработанный, былъ нагрѣтъ до 1000° и медленно охлажденъ. Критическая точка получилась около 700° .

Результатъ послѣднихъ работъ по опредѣленію вліянія синяго нагрѣва можетъ быть сформулированъ такъ:

Для нашего котельного желѣза температура синяго нагрѣва— 350° Цельсія; при нагрѣвѣ до этой температуры желѣзо становится крупнозернистымъ; нагрѣтое же до 350° и обработанное желѣзо, становясь еще болѣе крупнозернистымъ, становится хрупкимъ, худо сопротивляющимся изгибу, хотя напряженіе разрыва повышается значительно при значительномъ пониженіи тягучести.

Желѣзо, нагрѣтое до 350° и подвергнутое пробѣ на разрывъ, сопротивляется почти такъ же, какъ и сырое, независимо отъ быстроты охлажденія.

Изъ предыдущаго видно, что мягкое котельное желѣзо подъ вліяніемъ нагрѣва при температурѣ свыше 300° С начинаетъ увеличивать зерна феррита; подобная картина увеличенія зерна продолжается и дальше при нагрѣвѣ желѣза. Продолжительность и высокая температура нагрѣва только способствуетъ увеличенію зерна. Послѣднее весь ма ярко иллюстрируется слѣдующимъ примѣромъ: мягкое котельное желѣзо было положено въ горячій кузнецкий горнъ, и по истеченіи 4, 5 и 7 дней изъ взятыхъ образцовъ желѣза были изготовлены шлифы (фиг. 22, 23 таб. V и 24 таб. VI). Горнъ работалъ только днемъ въ течение 8 часовъ. Изъ фотографіи взятыхъ шлифовъ отчетливо замѣтно увеличеніе и постепенно сильное распаденіе зеренъ феррита. Сначала по мѣрѣ продолжительности нагрѣва желѣза на зернахъ феррита появилась черныя точки (фиг. 22), которыхъ ранѣе у образца не было; далѣе, число этихъ черныхъ точекъ растетъ на зернахъ феррита вмѣстѣ съ ростомъ послѣднихъ (фиг. 23). Затѣмъ величина зеренъ феррита достигаетъ значительныхъ размѣровъ, вмѣстѣ съ образованіемъ рваныхъ щелей, расположенныхъ по прямымъ линіямъ, очевидно, по направлению прокатки желѣза, по слѣдамъ вытолкнутыхъ шлаковъ. Подобную же картину постепенного измѣненія формы зерна мы можемъ наблюдать у стали и чугуна. Такъ, у стали средней твердости (углерода 0,95) (фиг. 25 таб. VI) при нагрѣвѣ около 700° постепенно начинаетъ пропадать ферритовая сѣтка, и замѣтно распаденіе зеренъ перлита (фиг.

26 таб. VI). При температурѣ свыше 700° С ферритовая сѣтка совсѣмъ пропала и вмѣстѣ съ распавшимися зернами перлита образовала новую форму по строенію—мартенситъ (фиг. 27 таб. VI). При дальнѣйшемъ нагрѣваніи при температурахъ близкихъ къ 1000° С, когда сталь начинаетъ сильно искриться, та же сталь принимаетъ форму близкую къ первичной кристаллизациі, съ явнымъ признакомъ Видманштетовыхъ фи-гуръ; сталь, какъ говорять, находится въ стадіи пережога (фиг. 28 табл. VI). Чугуны при медленномъ нагрѣвѣ нѣсколько иначе измѣняютъ свою структуру: у сѣрыхъ литьевыхъ чугуновъ подъ вляїцемъ медленного нагрѣва начинаетъ обильно выдѣляться графітъ и тѣмъ самымъ вызываетъ значительную хрупкость чугуна. Такъ фиг. 29 табл. VI изображаетъ сѣрий литьевой чугунъ до нагрѣва, а фиг. 30 табл. VII тотъ же чугунъ послѣ продолжительного нагрѣва; рѣзкое и обильное выдѣленіе графита на послѣднемъ шлифѣ ярко замѣтно. У бѣлыхъ чугуновъ подъ вляїцемъ продолжительного нагрѣва при высокихъ темпера-турахъ происходитъ распаденія углерода закала и цементита съ выдѣленіемъ углерода отжига и зеренъ волокнистаго перлита (фиг. 19 табл. V), но въ присутствіи окислителей (красныхъ жельзняковъ)—углеродъ отжига начинаетъ выдѣляться въ формѣ СО, свободный угле-родъ образуетъ небольшія вкрапленія (въ видѣ небольшихъ кружковъ на шлифѣ), а углеродистая эвтектика шлифа начинаетъ замѣтно дѣлиться на овальные зерна феррита, въ результатахъ получается ковкий чугунъ (фиг. 31 табл. VII). При двухъ послѣднихъ случаяхъ чугунъ, рѣзко измѣняя свою структуру, приобрѣтаетъ вмѣстѣ съ тѣмъ и зна-чительную мягкость, даже ковкость, но возможно и обратно при быстромъ охлажденіи сѣрий, довольно мягкий, литьевой чугунъ перевести въ отбѣленный значительно твердый чугунъ; въ послѣднемъ случаѣ про чугунъ говорятъ, что онъ отбѣлился (фиг. 32 табл. VII).

Въ предыдущемъ мы видѣли, что три главныхъ типа углеродистаго желяза—ковкое желязо, сталь и чугунъ при нагрѣвѣ способны измѣнить структуру ихъ составляющихъ частицъ, и измѣненіе этой струк-туры наиболѣе рѣзко и рельефно наблюдается при высшихъ темпера-турахъ. Нерѣдко такое аллотропическое измѣненіе структуры данного тѣ-ла сопровождается значительнымъ поглощеніемъ тепла при нагрѣваніи и обратно—выдѣленіемъ тепла при охлажденіи. Металль въ послѣд-немъ случаѣ въ указанный моментъ замѣтно мѣняетъ свою окраску въ высшій цвѣтъ по температурѣ и измѣняются въ объемѣ. Вполнѣ естс-твенно, что такія характерныя, или, какъ говорятъ критическія точки, у различныхъ сортовъ углеродистаго желяза были давно замѣчены экспериментаторами. Такъ еще въ 1868 г. нашъ знаменитый металлургъ Д. К. Черновъ¹⁾ въ своемъ докладѣ Императорскому Русскому Техни-

¹⁾ Докладъ Д. К. Чернова „Критический обзоръ статей гг. Лаврова и Калапуц-каго о стали и стальныхъ орудіяхъ и собственныя его изслѣдованія по этому же предмету“.

ческому Обществу указалъ на существование двухъ критическихъ точекъ „а“ и „б“ у различныхъ сортовъ углеродистаго желѣза. Значеніе этихъ двухъ критическихъ точекъ Д. К. Черновъ охарактеризовалъ слѣдующимъ образомъ:

Каждый сортъ стали имѣеть свою критическую температуру, выше которой необходимо его нагрѣть для получения закала. Сталь нагрѣтая ниже этой температуры не принимаетъ закала. Эту первую критическую точку Д. К. Черновъ называетъ критической точкой „а“.

Для каждого сорта стали существуетъ еще вторая критическая точка, названная Д. К. Черновымъ точкою „б“, при нагрѣвѣ ниже которой сталь послѣ охлажденія не мѣняетъ своей структуры. Но если сталь будетъ нагрѣта до предѣла „б“, то она переходитъ изъ кристаллическаго строенія въ аморфное (воскообразное), которое она сохраняетъ до нѣкотораго предѣла, весьма близкаго къ температурѣ плавленія самой стали. При медленномъ охлажденіи стали нагрѣтой до температуры выше точки „б“ происходитъ со сталью обратное явленіе,—сталь постепенно изъ аморфнаго, воскообразнаго строенія переходитъ въ явно кристаллическое; явленіе кристаллизациіи стали будетъ тѣмъ интенсивнѣе, чѣмъ медленнѣе идетъ охлажденіе стали, и чѣмъ ближе будетъ температура къ точкѣ „б“, ниже которой въ данной стали измѣненія кристаллизациіи не наблюдается. Для задержанія мелкозернистаго строенія стали необходимо послѣднюю быстро охладить до температуры ниже точки „б“.

Такимъ образомъ въ 1868 году была указана граница температуръ, внутри которыхъ происходитъ явная кристаллизација желѣза. Въ 1886 г. Pionchon и Le Châtelier, нагрѣвая химически мягкое желѣзо и сталь до нѣкоторой температуры, замѣтили, что подобное нагрѣваніе всегда сопровождается нѣкоторымъ поглощеніемъ тепла при опредѣленной температурѣ, и обратно выдѣленіемъ тепла при охлажденіи. Затѣмъ въ 1888 г. профессоръ Osmond²⁾, желая изучить положеніе критическихъ точекъ у различныхъ сортовъ желѣза, примѣнилъ для опредѣленія такихъ точекъ термо-электрическій пирометръ Le Châtelier. Для своихъ наблюденій Osmond бралъ образцы слѣдующаго химическаго состава:

| | C. | Si. | Mn. |
|---|------|------|------|
| Мягкое желѣзо полученное электролитически . | 0,08 | — | — |
| Очень мягкая сталь | 0,16 | 0,01 | 0,14 |
| Мягкая сталь | 1,29 | 0,06 | 0,27 |
| Полутвердая тигельная сталь | 0,57 | 0,08 | 0,23 |
| Твердая инструментальная сталь. | 1,25 | 0,19 | 0,1 |

Результаты вышеназванныхъ наблюденій Osmond'a свелись къ слѣдующему: при охлажденіи мягкаго электролитического желѣза, нагрѣ-

²⁾ Transformation du fer et du corbone dans les fers, les aciers et les fontes blanches par F. Osmond. Paris. 1888.

таго до 1000° С., пиromетръ остановился при 855° и оставался на этой температурѣ некоторый періодъ времени. Эту первую остановку Osmon назвалъ точкою „ Ar_3 “. Вторая незначительная остановка пиromетра, названная имъ точкою „ Ar_2 “ наблюдалась при температурѣ отъ 750° , достигла максимума при 730° и окончилась при 690° , при слабыхъ колебаніяхъ при 705° С.

Для испытанныхъ сортовъ стали положеніе тѣхъ же точекъ колебалось слѣдующимъ образомъ:

Для очень мягкой стали:

| | Начало. | Максимумъ. | Конецъ. |
|--------|---------------|---------------------------|---------------|
| Ar_3 | 845° | $825^{\circ}—819^{\circ}$ | 800° |
| Ar_2 | 755° | $735^{\circ}—725^{\circ}$ | 710° |
| Ar_1 | 680° | $662^{\circ}—650^{\circ}$ | 645° |

Для образцовъ мягкой стали:

| | | | |
|----------|---------------|---------------------------|---------------|
| Ar_3-2 | 780° | $721^{\circ}—715^{\circ}$ | 690° |
| Ar_1 | 680° | — | — |

Для стали полутвердой:

| | | | |
|----------|---------------|---------------------------|---|
| Ar_3-2 | 750° | $700^{\circ}—690^{\circ}$ | — |
|----------|---------------|---------------------------|---|

и оканчивается остановкой Ar_1 при 661° С.

Образцы твердой стали имѣли только одну продолжительную остановку Ar_{3-2-1} при температурѣ 674° С.

Положеніе указанныхъ критическихъ точекъ характеризуетъ слѣдующія аллотропическія измѣненія въ желѣзѣ: въ очень мягкихъ сортахъ желѣза Ar_3 и Ar_2 соотвѣтствуютъ первая переходу желѣза изъ формы „ γ “ въ стадіи $fe\beta$, и вторая— $fe\beta$ въ $fe\alpha$, а точка Ar_1 есть конецъ подобныхъ преобразованій³⁾. Изъ предыдущей таблицы ясно замѣтно, что продолжительность положенія точки Ar_1 зависитъ отъ содержанія углерода. Для очень мягкихъ сортовъ желѣза точка Ar_1 почти совсѣмъ не замѣтна, для болѣе твердыхъ она достигаетъ значительной величины. Такъ какъ способность стали принимать закалъ возрастаетъ съ содержаніемъ углерода, то слѣдуетъ, что точка Ar_1 соотвѣтствуетъ началу аллотропическихъ измѣненій желѣза, свойственныхъ закалу послѣдняго.

Температура критической точки Ar_3 соотвѣтствуетъ полному окончанію аллотропическихъ преобразованій частицъ углеродистаго желѣза при переходѣ изъ явно кристаллической формы въ мелкозернистое, почти аморфное строеніе, свойственное закаленной стали. Такимъ образомъ, сравнивая значеніе ранѣе указаныхъ Д. К. Черновымъ крити-

³⁾ См. Металлографія, с.р. 30 Т. Тихонова.

ческихъ точекъ „*a*“ и „*b*“ съ точками полученными Osmond'омъ, приходимъ къ заключенію, что точкъ „*a*“ Д. К. Чернова соотвѣтствуетъ точкѣ „*Ar₁*“ Osmond'а, а точка „*b*“—точкѣ „*Ar₃*“. Закалъ стали возможенъ только при условіи нагрѣва послѣдней до температуры критической точки *Ar₃* и соотвѣтствующаго быстрого охлажденія. При этой же температурѣ углеродистое желѣзо при условіи медленнаго нагрѣванія до этой температуры и быстрого охлажденія отъ нея, теряетъ свои магнитныя свойства, и кромѣ этого сопротивленіе проводимости электричества значительно увеличивается. Такимъ образомъ, температура точки *Ar₃* есть критическая температура для аллотропического измѣненія желѣза. Не обходимо сказать нѣсколько словъ о томъ, что положеніе критическихъ точекъ у одного и того же сорта углеродистаго желѣза при условіи медленнаго нагрѣванія и охлажденія не совпадаетъ, а именно положеніе критическихъ точекъ при нагрѣваніи всегда находится нѣсколько выше, чѣмъ при охлажденіи. Такое аномальное смѣщеніе критическихъ точекъ, по мнѣнію Osmond'a, объясняется существованіемъ особаго факто-ра у желѣза, а именно инициальной температуры ⁴⁾; такъ по наблюде-ніямъ Osmond'a твердая сталь, нагрѣтая до 745° С, показала *Ar₁* при 680° С, а послѣ нагрѣва до 1410° С (плавленія) при 655°; такимъ об-разомъ повышеніе инициальной температуры приблизительно на 67° понизило положеніе *Ar₁* на 25°.

Изъ предыдущей таблицы положенія критическихъ температуръ, полученныхъ Osmond'омъ, ярко замѣтно, что интервалъ положенія кри-тическихъ точекъ суживается съ увеличеніемъ содержанія углерода въ желѣзѣ, и кромѣ этого понижается положеніе критическихъ точекъ по температурѣ. Кромѣ этого, по опытнымъ изслѣдованіямъ Carpenter'a, Keeling'a и А. Л. Бабошина ⁵⁾ одинаково съ углеродомъ на положеніе критическихъ точекъ вліяетъ и марганецъ; послѣднее особенно имѣеть крупное значеніе при решеніи вопроса о выборѣ температуръ прокатки рельсь съ большимъ содержаніемъ марганца.

Разсмотримъ теперь вопросъ объ измѣненіи величины зерна углеро-дистаго желѣза при нагрѣвѣ. Яркій моментъ начала такихъ измѣненій совпадаетъ съ положеніемъ у испытываемаго желѣза точки *Ar₁*. Не мѣ-шаетъ оговориться, что увеличеніе величины зерна въ мягкихъ сортахъ желѣза, какъ видѣли раньше (синій нагрѣвъ) и увидимъ впослѣдствії, наблюдалось и при температурѣ ниже *Ar₁*. Общій законъ, формулиро-ванный Howe по отношенію зависимости величины зерна отъ темпе-ратуры, заключается въ томъ, что величина зерна желѣза строго пропор-циональна температурѣ. На основаніи своихъ наблюденій Sauveur ⁶⁾ для испытанныхъ имъ образцовъ стали формулировалъ эту зависимость зер-

⁴⁾ Osmond. Transformations du fer et du carbone. p. 35.

⁵⁾ Записки И. Р. Т. О—ва въ 1907 г.

⁶⁾ Составъ стали былъ: 1,10% С, 0,02% Si, 0,40% Mn.

Eng. and Min. Journ. LX. 1895. Стр. 537.

на отъ температуры слѣдующимъ образомъ: $T_{\max} = 680 + 281,250A$, где T_{\max} —равна достигнутой температурѣ, A —дѣйствительная пло-щадь зерна въ кв. миллиметрахъ при линейномъ увеличеніи въ 250 разъ.

Далѣе, по мнѣнію Howe, каждой данной температурѣ соотвѣтствуетъ вполнѣ опредѣленная величина зерна. Ростъ зерна желѣза не происходитъ мгновенно до предѣльного по достижениіи желѣзомъ опредѣленной температуры, а постепенно, при чёмъ вначалѣ ростъ зерна идетъ весьма быстро, а затѣмъ становится все медленнѣе и медленнѣе, по мѣрѣ приближенія зеренъ къ нормальному размѣру.

Наконецъ, по мнѣнію Howe, если существуетъ зерно болыше нормальнаго для данной температуры, то оно не приходитъ вновь къ нормальной величинѣ.

Общій законъ, формулированный Howe относительно величины зерна желѣза въ зависимости отъ температуры, довольно ясно изображенъ графически на черт. 1 табл. XXIII. Линія jDG выражаетъ величину зерна въ зависимости отъ температуры. Пусть данное желѣзо нагрѣто до температуры C , и зерно этого желѣза достигало величины H ; но зерна данного желѣза при той же температурѣ склонны увеличиваться въ размѣрѣ пока они не достигнутъ величины D , соотвѣтствующей этой температурѣ C . Послѣ того, какъ величина зерна достигаетъ D , охла-димъ желѣзо до температуры E , но при этомъ величина зерна остается равной D , а не будетъ равной K , какъ это соотвѣтствуетъ по діаграммѣ. При построеніи кривой зависимости величины зерна отъ температуры Howe отмѣтилось, что прямая пропорціональность величины зерна отъ тем-пературы существуетъ только до некотораго предѣла M , послѣ котораго указанная имъ зависимость нарушается: величина зерна растетъ замѣт-но быстрѣе соотвѣтствующаго измѣненія температуры. При наблюде-ніяхъ, произведенныхъ нами въ Металлографической Лабораторіи Том-скаго Технологического Института, только что высказанное мнѣніе про-фессора Howe вполнѣ подтвердилось.

Прямая пропорціональность между величиной зерна желѣза и соот-вѣтствующей температурой нагрѣва существуетъ только до известнаго предѣла нагрѣва,—въ предѣлахъ до 1000° С для мягкихъ и среднихъ сортовъ желѣза по твердости. На подобную же зависимость величины зерна отъ температуры нагрѣва указываетъ и А. Л. Бабошинъ⁷⁾.

Если теперь имѣющійся въ нашемъ распоряженіи материалъ, касаю-щійся зависимости величины зерна отъ температуры нагрѣва, изобра-зимъ въ видѣ кривыхъ (черт. 2, 3 табл. XXIII и 4 табл. XXIV), то на означенныхъ кривыхъ будетъ ярко замѣтна точка перелома при темпе-ратурѣ около 1000° , соотвѣтствующая прекращенію прямой пропорціо-нальности величины зерна отъ температуры.

⁷⁾ Журналъ Русского Металлургического О—ва. 1911. № 2.

Положение и значение этой точки прекращения прямой зависимости величины зерна от температуры имѣеть глубокое значение для инженеровъ, занятыхъ горячей обработкой желѣза. При этой температурѣ и особенно выше нея желѣзо переходитъ въ стадію крупной кристаллизации, а известно, что при наличности крупной кристаллизации желѣзо не можетъ обладать хорошими механическими свойствами.

Весьма возможно предположить, что Д. К. Черновъ въ своемъ докладѣ 1868 года имѣть въ виду только что указанную точку перелома прямой зависимости величины зерна отъ температуры, когда формулировалъ свое положение такъ⁸⁾: „Если мы желаемъ увеличить плотность стали, сблизить ея зерна и такимъ образомъ достигнуть болѣе тѣсной связи между ними, то должны производить ковку при температурѣ ниже точки „b“. Наше послѣднее предположеніе тѣмъ болѣе правдоподобно и близко къ истинѣ, если принять во вниманіе, что въ указанное время не было еще простыхъ точныхъ методовъ опредѣленія температуры, а структура наблюдаемаго куска желѣза опредѣлялась по излому безъ микроскопа.

Такимъ образомъ изъ предыдущаго видно, что углеродистое желѣзо, въ предѣлахъ значительного нагрѣва, весьма склонно измѣнить свое строеніе. Первоначальное предположеніе, что измѣненіе кристаллизации желѣза возможно только выше положенія критической точки Ar_1 , опровергается предыдущимъ случаемъ съ котельнымъ желѣзомъ при температурѣ „синяго нагрѣва“, опровергнуто Stead'омъ, который наблюдалъ увеличеніе зерна мягкой стали съ 0,10% С при температурѣ отъ 500°, при чёмъ ростъ зерна увеличивался съ продолжительностью нагрѣва.

Подобную же картину наблюдалъ и von A. Joisten⁹⁾ при своихъ опытныхъ изслѣдованіяхъ надъ желѣзною проволокою, материаломъ мягкимъ и весьма однороднымъ. При опытахъ примѣнялся цѣлый рядъ предосторожностей, мѣшающихъ окисленію металла при нагрѣваніи въ электрической печи. Время нагрѣва образцовъ колебалось отъ одного до 20 часовъ при одной и той же температурѣ. Результаты этихъ опытовъ представлены въ видѣ кривыхъ на черт. 5 табл. XXIV. Изъ разсмотрѣнія только что приведенныхъ кривыхъ роста зерна желѣза въ зависимости отъ температуры и продолжительности нагрѣва ясно видно, что ростъ зерна же тѣзда возможенъ начиная съ 500° С и дальше, а величина зерна рас'етъ съ увеличеніемъ продолжительности нагрѣва.

Подобныя же наблюденія были произведены нами въ Металлографической лабораторіи Томскаго Технологического Института надъ мягкимъ кузнецкимъ желѣзомъ и рельсовою сталью. Опыты велись въ электрической печи Heraeus'a въ среѣдѣ азота для уменьшенія окисленія метал-

⁸⁾ Г. Тагбевъ. Однородность рельсъ. Стр. 86.

⁹⁾ Mitteilungen aus dem Eisenhüttenmännischen Institut des Königl. Techn. Hochschule Aachen. 1910.

ла; образца нагревались въ названной печи въ теченіи 1; 1,5; 2; 2,5 и 3 ч. и изъ середины наблюдаемыхъ образцовъ готовились шлифы для измѣренія зеренъ на площади ровной 1 кв. см. при общемъ увеличеніи при снятіи фотографіи равнымъ 100. Результаты полученныхъ наблюдений представлены въ слѣдующей таблицѣ, при чемъ въ ней указано число зеренъ на 1 кв. см.

| Температура нагрева. | Продолжительность нагрева. | | | | |
|--------------------------|----------------------------|-----------|--------|-----------|---------|
| | 1 часъ. | 1,5 часа. | 2 часа | 2,5 часа. | 3 часа. |
| Мягкое кузнечное жалѣзо. | | | | | |
| 500° C. | 10 | 10 | 9,5 | 9 | 9 |
| 550° C. | 9,5 | 9,5 | 9,5 | 9 | 9 |
| 600° C. | 10 | 9 | 9 | 8,5 | 8,5 |
| 650° C. | 10 | 8,5 | 9 | 8,5 | 8 |
| 700° C. | 8 | 8 | 8 | 7,5 | 7,2 |
| 750° C. | 8 | 8 | 7 | 7 | 6 |
| 800° C. | 8 | 7,5 | 7,2 | 7 | 7 |
| 850° C. | 5 | 7 | 7 | 7,5 | 8 |
| Рельсовая сталь. | | | | | |
| 500° C. | 3,5 | 3,5 | 3,5 | 3,5 | 3,4 |
| 550° C. | 4 | 3,5 | 2,8 | 2,8 | 2,7 |
| 600° C. | 4 | 3,5 | 3,3 | 2,9 | 2,6 |
| 650° C. | 3,5 | 3,3 | 3,1 | 3 | 2,6 |
| 700° C. | 3 | 3 | — | — | 2,5 |
| 750° C. | 2,8 | — | — | — | 2,4 |
| 800° C. | 2,6 | — | — | 2,2 | 2,3 |
| 850° C. | 2,5 | 2,5 | 2,4 | 2,3 | 2,2 |

Изъ послѣдней таблицы и предыдущаго черт. 5 довольно ясно видно, что величина зерна жалѣза замѣтно растетъ при увеличеніи времени нагрева. Довольно ярко иллюстрируютъ послѣднее положеніе обѣ увеличеніи величины зерна мягкаго жалѣза съ продолжительностью нагрева ранѣе—разсмотрѣнныя фотографіи (фиг. 22, 23 таб. V и 24 таб. VI).

Причины, вызывающія измѣненіе зерна при продолжительномъ нагреваніи, можно объяснить себѣ слѣдующимъ образомъ: всякое углеродистое жалѣзо представляется изъ себя конгломератъ недоразвившихся кристалловъ, спаянныхъ эвтектикою. Подъ вліяніемъ нагрева происходитъ диффузія веществъ между соѣдними кристаллами черезъ пленку эвтектики. Диффузія является результатомъ различной растворимости двухъ смежныхъ плоскостей кристалловъ въ эвтектикоѣ, въ результате чего вслѣдствіе появленія давленія происходитъ поступательное перемѣщеніе частицъ одного кристалла въ сторону другого, при чемъ по-

следній начинаетъ расти за счетъ первого. Причина различной растворимости двухъ смежныхъ плоскостей кристалловъ кроется въ неодинаковой ориентировкѣ осей кристалловъ, что весьма наглядно обнаруживается при травлении шлифа мягкаго желѣза, а именно,—зерна феррита подъ микроскопомъ имѣютъ различные оттѣнки по окраскѣ въ зависимости отъ различного расположения осей кристалловъ. Эвтектика, температура плавленія которой ниже таковой же самихъ кристалловъ, при нагрѣвѣ находится ближе къ жидкому состоянію по сравненію съ самими кристаллами и тѣмъ только способствуетъ росту послѣднихъ. Но если эвтектика, связующая кристаллы даннаго желѣза, находится въ твердомъ состояніи, то при температурѣ отъ 690° до 670° происходитъ взаимное перемѣщеніе и притяженіе частицъ себѣ подобныхъ. Это явленіе было названо Stead'омъ коалесценціей. Только въ стали съ содержаниемъ углерода, соотвѣтствующимъ эвтектике, структура находится въ равновѣсіи, и передвиженіе частицъ структуры слабо замѣтно. Взаимное притяженіе частицъ себѣ подобныхъ имѣетъ мѣсто въ томъ случаѣ, когда нѣть равновѣсія въ структурѣ, но есть избытокъ одной изъ составляющихъ эвтектики: феррита или цементита. Чѣмъ медленѣе идетъ охлажденіе, тѣмъ совереннѣе выдѣленіе элементовъ избытка, и тѣмъ менѣе остается эвтектики. При весьма маломъ содержаніи перлита, послѣдній, послѣ медленнаго охлажденія, обращается въ тончайшія полосы, раздѣленныя ферритомъ, что мы раньше и наблюдали на фиг. 8 табл. III для стали съ содержаніемъ С=0,55% (ферритъ на шлифѣ бѣлый). Въ твердыхъ сортахъ стали послѣ продолжительнаго отжига въ предѣлахъ температуръ, указанныхъ Stead'омъ, цементитъ, являющійся связующимъ звеномъ между отдѣльными зернами перлита, притягиваетъ къ себѣ зерна цементита изъ эвтектики, вслѣдствіе чего перлить приобрѣтаетъ волокнистое строеніе (фиг. 18 таб. V). При болѣе быстрыхъ условіяхъ охлажденія, менѣе благопріятствующихъ коалесценціи наблюдаемаго куска стали, не видно волокнистаго строенія перлита, но зачатки обогащенія сѣтки цементита отчетливо замѣтны (фиг. 12 табл. IV). При условіи медленности охлажденія эвтектической стали образуется обычнага форма волокнистаго перлита (фиг. 33 табл. VII), но если мы охлажденіе эвтектической стали будемъ производить съ нѣкоторымъ замедленіемъ въ критическомъ интервалѣ, то послѣ быстраго охлажденія при температурѣ этого интервала мы можемъ получить перлить не волокнистый, а зернистый, причина такого явленія кроется въ свойствѣ коалесценціи частицъ металла даже въ самой эвтектике (фиг. 34 табл. VII). Волокнистый перлить не сразу переходитъ въ зернистый, а постепенно по мѣрѣ продолжительности нагрѣва сначала волокна цементита приобрѣтаютъ утолщенія перехваты, и въ такомъ видѣ перлить былъ названъ Бенедиксомъ—четковиднымъ, а затѣмъ четко-видный перлить при аналогичныхъ же условіяхъ переходить въ зернистый. Въ послѣднемъ случаѣ мы имѣемъ полное обособленіе составляю-

щихъ перлитъ, т. е. цементита и феррита, т. е. получаемъ, по выражению Osmond'a¹⁰⁾, такъ называемое структурное равновѣсіе.

Говоря о зернистомъ перлите мы нѣсколько перешли уже въ интервалъ критическихъ температуръ, въ которомъ происходитъ аллотропическое измѣненіе частицъ углеродистаго желѣза, сопровождающееся переходомъ зеренъ феррита и перлита, или перлита и цементита, или одного перлита (у эвтектической стали) въ высшія аллотропическія измѣненія по температурѣ—мартенситъ и аустенитъ. Подобный переходъ происходитъ плавно по мѣрѣ повышенія температуры съ образованіемъ нѣкоторыхъ промежуточныхъ формъ, носящихъ особое название. Такъ переходную форму волокнистаго перлита съ образованіемъ зеренъ цементита въ полѣ феррита нерѣдко называютъ сорбитомъ, по имени ученаго Sorby, открывшаго этотъ элементъ. При дальнѣйшемъ повышеніи температуры ранѣе указанные структурные элементы образуютъ новое аллотропическое видоизмѣненіе, называемое троститомъ. Послѣдній образуется у углеродистаго желѣза при нагревѣ внутри критического интервала въ тотъ моментъ, когда сокращеніе длины испытуемаго куска достигаетъ наибольшаго размѣра. Тростить на шлифѣ представляется плотныя массы со слабымъ расположениемъ гранулей, зачатковъ игль мартенсита (фиг. 35 таб. VII). Однородное строеніе тростита позволяетъ предположить, что онъ представляетъ изъ себя промежуточное равновѣсіе между фазами мартенсита и цементита + ферритъ.

При дальнѣйшемъ нагреваніи углеродистаго желѣза въ моментъ критической температуры A_3 образуется слѣдующая болѣе устойчивая аллотропическая структура, названная по имени лица ее открывшаго проф. Martens'a—мартенситомъ. Мартенситъ имѣть характерное игольчатое строеніе (фиг. 14 таб. IV). Съ увеличеніемъ содержанія углерода въ желѣзѣ общій характеръ структуры не мѣняется, но возрастаетъ твердость и нѣсколько мѣняется окраска при протравливаніи. Однородность строенія мартенсита позволяетъ считать его твердымъ растворомъ карбida въ желѣзе. Чистый мартенситъ получается при закалкѣ стали съ содержаніемъ углерода до 1,1%; при дальнѣйшемъ увеличеніи содержанія углерода и при повышеніи температуры до 1000° С, при условии быстраго охлажденія послѣ указанной температуры у стали появляется новый структурный элементъ, названный Osmond'омъ аустенитомъ (фиг. 13 табл. IV). Аустенитъ въ чистомъ видѣ на шлифахъ стали не получается, онъ всегда представляеть плотную массу, имѣющую строеніе Видманштетовыхъ фигуръ, при чемъ темныя полосы этихъ фигуръ заполнены мартенситомъ. Отношеніе площадей, занимаемыхъ аустенитомъ и мартенситомъ, находится въ большой зависимости отъ содержанія углерода въ стали и быстроты охлажденія. Такъ, при содержаніи углерода въ стали отъ 1,1% при указанной выше термической операциіи появля-

¹⁰⁾ Goerens. Metallographie. S. 167.

ются только слѣды аустенита; при 1,57% С въ стали—количество мартенсита и аустенита равны, а при 1,8% С количество аустенита составляетъ 70% плоцади шлифа, а остальное мартенситъ (по Osmond'у). Аустенитъ слѣдуетъ рассматривать какъ менѣе устойчивую аллотропическую фазу, соотвѣтствующую закалкѣ углеродистаго желѣза (γ изъ діаграммы Roseboom'a¹¹⁾), а мартенситъ есть только видоизмѣненіе этой фазы съ начавшимся разложеніемъ на ферритъ и цементитъ.

Необходимо сказать еще нѣсколько словъ о пережогѣ углеродистаго желѣза,—послѣ охлажденія отъ температуръ около 1000° С., но при условіи продолжительности нагрѣва при этой температурѣ—въ мягкихъ желѣзъ и стали происходитъ распаденіе зеренъ феррита съ исчезновеніемъ очертанія самихъ зеренъ (фиг. 24 табл. VI), а въ болѣе твердой стали—значительное утолщеніе самой сѣтки феррита, окружающей значительная плоцади перлита (фиг. 28 табл. VI). Въ рыхлыхъ щели между зернами феррита или перлита въ періодъ высокаго нагрѣва проникаетъ кислородъ атмосферы, окисляетъ поверхность этихъ зеренъ и тѣмъ только способствуетъ нарушенію тѣсной связи между зернами, вызывая значительную хрупкость металла. Явленія первичной кристаллизациі, которая непосредственно слѣдуютъ за фазой аллотропическихъ измѣненій (названной нами вторичной кристаллизацией), были рассмотрѣны нами въ первой части этой работы.

Измѣненіе структуры желѣза при прокаткѣ, волоченіи, штампованиі, ковкѣ, рѣзаніи и продавливаніи.

Температура, при которой оканчивается прокатка желѣза на лучшихъ изъ современныхъ заводовъ, бываетъ значительно ниже 1000° С.—обычно температура окончанія прокатки весьма близка къ 850° С. На одномъ изъ южныхъ русскихъ заводовъ (именно Днѣпровскомъ) инженеромъ И. И. Ефрономъ были произведены продолжительные наблюденія за прокаткою твердыхъ, марганцовистыхъ рельсовъ съ содержаніемъ С=0,48%—0,55% и Mn=0,92—1,11%; помоцію оптическаго пирометра г. Ефронъ опредѣлялъ температуру Т начала прокатки по выходѣ болванки изъ первого ручья блюминга, когда болванка освобождалась отъ окалины, и температуру t—окончанія прокатки по выходѣ изъ послѣдняго ручья. Для семи рельсовъ указанного состава эти температуры колеблются¹⁾:

$$\begin{array}{ll} 1) T = 1240^{\circ} & t = 738^{\circ} \text{ С.} \\ 2) , 1195^{\circ} & , 919^{\circ} \text{ С.} \end{array}$$

¹¹⁾ Т. Тихоновъ. Металлографія. Стр. 27.

¹⁾ А. Л. Бабошинъ. Записки И. Р. О. 1807. Выпукъ IX—X.

| | |
|------------------------|--------------|
| 3) Т = 1220° | t = 1029° С. |
| 4) " 1200° | " 1000° " |
| 5) " 1164° | " 964° " |
| 6) " 1283° | " 1055° " |
| 7) " 1308° | " 1035° " |

Изъ этой таблицы видно, что температура окончанія прокатки для наблюдаемыхъ рельсовъ колебалась отъ 738° до 1055°. Только одинъ рельсъ былъ оконченъ прокаткою при 738°, но по свидѣтельству г. Ефронъ заканчивать прокатку твердаго рельса при столь низкой температурѣ для завода крайне затруднительно. За нормальную температуру окончанія прокатки слѣдуетъ считать 850—900° С. Указанная температура начала и окончанія прокатки такова, что измѣненіе зеренъ желѣза при ней вполнѣ возможно, но послѣднему мѣшаетъ механическая обработка металла. Для иллюстраціи послѣдняго положенія обратимся къ разбору черт. 6 таб. XXIII. На этомъ чертежѣ графически изображенъ ранѣе разсмотрѣн. нами общій законъ зависимости величины зерна отъ температуры нагрѣва, при чемъ по оси абсциссъ отложены величины зеренъ, а по оси ординатъ соотвѣтствующія имъ температуры. Предположимъ, что мы, начавъ прокатку при 1400° С механическою обработкою, довели величину зерна до ОН, соотвѣтствующей температурѣ В. Если послѣ этого наблюдаемое желѣзо начнетъ спокойно охлаждаться, то величина зерна согласно ранѣе формулированныхъ положеній дойдетъ до нормальной величины ОЕ по кривой охлажденія ВСН. Но въ дѣйствительности мы не даемъ металлу спокойно охладиться до температуры НЕ, а продолжаемъ прокатку металла дальше, отъ нѣкоторой средней температуры С, при этомъ подъ вліяніемъ механическихъ усилій прокатки величина зеренъ металла снова уменьшается до нѣкотораго предѣла, равнаго абсциссѣ точки Д. Затѣмъ въ промежуткѣ времени прокатки между двумя слѣдующими ручьями величина зеренъ наблюдаемаго металла при условіи медленнаго остыванія вырастаетъ до абсциссы точки К. Послѣ этого снова начнется продолженіе прокатки, и, наконецъ, прокатка будетъ закончена при нѣкоторой температурѣ Г. Послѣ этой температуры металль начнетъ медленно остывать, при чемъ зерна его начнутъ расти до предѣла нормальныхъ по ГТ до величины зеренъ равной ОР. Такимъ образомъ при условіи существованія механической прокатки ранѣе разсмотрѣнныій законъ измѣненія величины зеренъ отъ температуры для рассматриваемаго случая выразится ломанной линіей ВСДКМОРqrSGT. Если наблюдаемый образецъ послѣ послѣдняго ручья будетъ немедленно быстро охлажденъ отъ температуры Г, то величина зерна его останется равной ОН и не достигнетъ величины ОР. Если же по выходѣ изъ послѣдняго ручья величина зеренъ данного желѣза будетъ больше нормальной, соотвѣтствующей температурѣ этого ручья, то при дальнѣйшемъ спокойномъ охлажденіи, вели-

чина зеренъ не уменьшится до нормальной, а сохранить свою величину. Идеальнымъ случаемъ прокатки будетъ тотъ, когда величина зеренъ металла въ моментъ окончанія прокатки будетъ равна нормальной, соответствующей температурѣ окончанія прокатки (точкѣ G), но въ действительности при прокаткѣ: эту величину зерна можно получить только послѣ отжига до температуры G, а при обычныхъ условіяхъ прокатки конечная величина зерна для указанной температуры окончанія прокатки будетъ равной ОР.

На практикѣ встрѣчаются случаи, когда сталь послѣ прокатки имѣеть величину зеренъ больше нормальной. Такъ, Howe²⁾ приводитъ примеръ, когда сталь (0,5% С), нагрѣтая до 1394°, затѣмъ медленно охлажденная до 963° и прокатанная при этой температурѣ, имѣеть болѣе крупное зерно по сравненію съ той же сталью, нагрѣтой до 1339° и отожженной при 966° С; при этомъ послѣдующія за прокаткой и отжигомъ условія охлажденія были одинаковы.

Для большинства случаевъ горячей обработки желѣза вполнѣ примѣнно извѣстное положеніе Д. К. Чернова и Sauveur'a, что „размѣръ зерна не зависитъ отъ степени механической обработки“. Это положеніе безспорно въ томъ случаѣ, если степень механической обработки такова, что зерна желѣза по окончаніи механической обработки меньше нормальныхъ, то при этомъ условіи зерна, согласно ранѣе указанныхъ зависимостей, достигнутъ до нормальныхъ размѣровъ. Но если зерно, по окончаніи обработки, будетъ больше нормального, то оно останется таковымъ у металла въ холодномъ состояніи и тѣмъ ухудшить его механическія свойства.

Для болѣе детальнаго освѣщенія вопроса объ измѣненіи въ строеніи желѣза при прокаткѣ нами при весьма любезному содѣйствіи администраціи Александровскаго завода Брянскаго О—ва въ Екатеринославѣ было взято по нѣсколько образцовъ прокатки проволоки по ручьямъ и различныхъ сортовъ полосового желѣза; образцы брались отъ одного и того же куска послѣдовательно при прохожденіи его черезъ ручьи. Детальное изученіе измѣненій структуры при послѣдовательномъ переходѣ прокатки по ручьямъ привело къ выводу, что картина подобныхъ измѣненій структуры различныхъ образцовъ почти тождественна для всѣхъ наблюдаемыхъ случаевъ, а посему для иллюстраціи этого вопроса мы разсмотримъ картину измѣненій структуры мягкаго желѣза при послѣдовательной прокаткѣ проволоки черезъ 17 ручьевъ. Послѣдовательное измѣненіе профиля рассматриваемой прокатки проволоки схематически изображено на черт. 7 таб. XXV. Изъ образца каждого калибра было сдѣлано по два шлифа, одинъ поперекъ, а другой—вдоль прокатки. Снимки съ изготовленныхъ образцовъ послѣдовательно изо-

²⁾ Iron Steel and other Alloys. Стр. 255 и 265.

А. Л. Бабошинъ. З. И. Р. Т. О. 1907. Вып. IX—X.

брожены при увеличении въ 100, на фиг. 36 таб. VIII по 69, таб. XIII включительно, при чём четные номера изображаютъ снимки со шлифовъ поперекъ прокатки, а нечетные—вдоль прокатки.

Послѣдовательное разсмотрѣніе шлифовъ приводить насъ къ слѣдующимъ заключеніямъ: въ первыхъ четырехъ ручьяхъ (фиг. 36 по 43) металлъ находится въ состояніи особой тягучести, и очертаніе зеренъ, вслѣдствіе высокой температуры прокатки, на шлифахъ не всегда четко. Въ послѣдующихъ ручьяхъ до 17 включительно желѣзо имѣетъ явно зернистое строеніе, валыцы прокатныхъ становъ сильно дѣйствуютъ на эти зерна, вытягиваютъ ихъ въ правильные ряды по направлению прокатки. Особенно характерными шлифами для опредѣленія исправленія прокатки являются фиг. 47, 61, 59 и 65.

Въ первыхъ четырехъ ручьяхъ при прокаткѣ наблюдалась нами проволоки весьма слабо деформировались зерна самого металла, а сжимались сначала пустоты и шлаки среди зеренъ металла. Слабой деформацией зеренъ металла можно объяснить ту общую беспорядочность зеренъ, которую мы наблюдаемъ на шлифахъ первыхъ четырехъ ручьевъ, и вмѣстѣ съ тѣмъ это вполнѣ подтверждаетъ слова Д. К. Чернова, что обработка желѣза при сварочномъ каленіи не вліяетъ на структурное строеніе его. На основаніи полученныхъ шлифовъ и снимковъ съ нихъ былъ сдѣланъ подсчетъ числа зеренъ на поперечныхъ сѣченіяхъ шлифовъ по ручьямъ, и результатирующая діаграмма такого подсчета изображена на черт. 8 таб. XXIV.

Изъ разсмотрѣнія этой діаграммы видно весьма рѣзкое измѣненіе въ площади зерна при переходѣ отъ 9 до 10 ручья. Надо полагать, что при температурѣ этихъ ручьевъ былъ законченъ интервалъ критическихъ температуръ для данного металла, вслѣдствіе чего подъ вліяніемъ механической обработки зерна металла начали усиленно уменьшать свою площадь.

При переходѣ отъ 3 до 9 ручья площадь зеренъ измѣняется весьма слабо, и тѣмъ самымъ косвенно подтверждается ранее высказанное положеніе Д. К. Чернова относительно весьма слабаго измѣненія зеренъ при высокихъ температурахъ. Наоборотъ, при низкихъ температурахъ, при прокаткѣ въ послѣднихъ ручьяхъ, наблюдается сильное измѣненіе зеренъ съ сильнымъ разслоеніемъ послѣднихъ.

При разсмотрѣніи шлифовъ продольныхъ и поперечныхъ сѣченій была обнаружена значительная неравномѣрность зерна. Почти везде площадь зерна у края шлифа для первыхъ ручьевъ меныше таковой же нежели у средины и для послѣдующихъ ручьевъ обратно,—площадь зерна у края шлифа больше нежели у средины. Причину такого явленія для первыхъ ручьевъ можно объяснить вліяніемъ быстрого охлажденія желѣза валками. Съ начала прокатки подъ вліяніемъ быстрого охлажденія на поверхности прокатываемой проволоки образуются зерна съ тою величиною зерна, которая получилась у нихъ послѣ механической обработки, не успѣвъ дорости до нормальной величины вслѣдствіе быстрого

ты охлажденія. Между тѣмъ зерна средины прокатываемаго ручья подъ вліяніемъ высокой температуры въ промежуткахъ времени между ручьями прокатки успѣваютъ увеличить свою величину, слѣдя ранѣе высказанному закону о нормальной величинѣ зерна для каждой температуры. Въ послѣднихъ же ручьяхъ прокатки, гдѣ температура прокатки будетъ низкой, наблюдается обратное явленіе,—величина зеренъ на поверхности съченія (у краевъ) нѣсколько больше таковой у средины съченія. Послѣднее можно объяснить тѣмъ, что въ послѣднихъ ручьяхъ вслѣдствіе низкой температуры послѣдствія механической обработки оказываются наиболѣе рельефно на срединѣ ручья, а именно: зерна на поверхности металла вслѣдствіе охлажденія ихъ валками образовались ранѣе, затѣмъ въ послѣдующемъ ручье они воспринимаютъ механическую обработку такого характера, которая увеличиваетъ ихъ способность сопротивляться механическимъ усилиямъ (равносильно холодной обработкѣ), вслѣдствіе чего они и сохраняютъ ранѣе полученную ими величину. Въ то же время зерна средняго съченія ручья подъ вліяніемъ механической вытяжки валковъ сильно дробятся и уменьшаютъ свою величину. Для болѣе детальнаго освѣщенія вопроса стноси-тельно неравнomoжности зерна по площади ручья и по ручьямъ были изготовлены образцы шлифовъ отъ другихъ пробъ по прокаткѣ проволоки того же діаметра. Образцы шлифовъ брались поперекъ и вдоль прокатки, а фотографическіе снимки дѣлались съ средины и края каждого шлифа. Такимъ образомъ было изготовлено 68 снимковъ при общемъ увеличеніи равномъ 100. Для опредѣленія величины подсчитывалось количество зеренъ на площади въ 300 мм.^2 . На основаніи такого подсчета была построена диаграмма черт. 9 табл. XXVII на которой ломаная линія Ae относится къ срединѣ наблюдавшихъ шлифовъ, а Ak —къ краю поперечныхъ съченій ручьевъ; ломанная Ae^x —относится къ срединѣ, а Ak^x —къ краю продольныхъ съченій тѣхъ же ручьевъ.

Разматривая ломанныя линіи Ae и Ak мы замѣчаемъ, что за исключениемъ первого ручья, линія Ak для всѣхъ остальныхъ ручьевъ лежитъ выше Ae , т. е. зерна по краямъ шлифовъ поперечныхъ съченій крупнѣе зеренъ средины. По характеру линій Ae^x и Ak^x для продольныхъ съченій мы замѣчаемъ, что въ первомъ ручье величина зеренъ въ срединѣ нѣсколько больше, чѣмъ на краяхъ шлифа; во второмъ ручье это неравенство сглаживается, а затѣмъ до 7-го ручья величина зеренъ средины меныше края. Въ седьмомъ ручье величина зеренъ средины увеличивается по сравненію съ таковой для края, въ девятомъ обѣ величины почти совпадаютъ; затѣмъ до 16-го ручья величина зеренъ у краевъ болѣе нежели у средины, а въ 17-мъ ручье обратно. Вліяніе высокихъ температуръ и быстрыхъ охлажденій на структуру желѣза въ разматриваемомъ случаѣ прокатки проволоки за малымъ исключениемъ довольно рельефно подтверждается характеромъ разсмотрѣнныхъ линій, относящихся къ прокаткѣ въ первыхъ ручьяхъ; вліяніе механической

вытяжки на структуру проволоки рельефно подтверждается въ послѣднихъ ручьяхъ (начиная съ 10). Отклоненіе послѣдняго 17-го ручья въ томъ смыслѣ, что величина зеренъ въ срединѣ оказалась больше та-ко-вой у краевъ, нужно объяснить значительнымъ дробленіемъ зерна въ послѣднемъ ручье въ срединѣ съ образованіемъ пустотъ между зерна-ми, которые при подсчетѣ только увеличиваютъ площасть наблюдавшихъ зеренъ.

На слѣдующей діаграммѣ (черт. 10 таб. XXVII) въ видѣ линій, ана-логичныхъ съ предыдущей діаграммой, изображены среднія значенія величины зеренъ для поперечныхъ сѣченій съ средины и края ручья (сплошная линія), и для продольныхъ—также съ средины и края каж-даго ручья (линія изъ черточекъ), а затѣмъ на основаніи двухъ преды-дущихъ линій построена суммарная линія (линія изъ черточекъ съ точ-кою), выражающая общий характеръ измѣненій величины зеренъ при прокаткѣ проволоки въ зависимости отъ послѣдовательности чередую-щихся ручьевъ. На основаніи послѣдней линіи разматриваемой діа-грамммы, мы приходимъ къ заключенію, что измѣненіе зеренъ при про-каткѣ въ смыслѣ уменьшенія ихъ величины слабо замѣтно въ первыхъ ручьяхъ благодаря значительной температурѣ прокатки. Далѣе: въ дан-номъ случаѣ, начиная съ 7-го ручья и до конца прокатки, наблюдается общее уменьшеніе зеренъ металла при переходѣ изъ одного ручья къ послѣдующему, при чёмъ въ послѣднихъ ручьяхъ, вслѣдствіе сильна-го вліянія самой механической обработки на величину зеренъ обрабаты-ваемаго металла, способствующей сохраненію величины поверхнос-ти зеренъ и, наоборотъ, сильно уменьшающей величину зеренъ у средины сѣченія,—не замѣтно сильныхъ уменьшеній величины зеренъ. Нельзя не отмѣтить также того факта, что величина зеренъ на про-дольныхъ сѣченіяхъ по ручьямъ прокатки не увеличивается; слѣдова-тельно, необходимо предположить, что зерна въ началѣ прокатки слабо увеличиваются въ длину, затѣмъ подъ вліяніемъ механическихъ усилий и сильного бокового давленія происходитъ дѣленіе ихъ на части, съ предварительнымъ переходнымъ образованіемъ шеекъ (перехватовъ) у зеренъ, о которыхъ говоритъ проф. Неуп³⁾). У наблюдавшихъ шли-фовъ отъ прокатки полосового желѣза характеръ измѣненія структуры зеренъ былъ вполнѣ аналогиченъ съ предыдущимъ, при чёмъ харак-теръ линій, выражающихъ эту зависимость, былъ близокъ къ послѣд-нимъ ручьямъ прокатки проволоки. Въ тонкихъ сѣченіяхъ полосового желѣза ($\frac{1}{8}'' \times 1\frac{1}{2}''$) были сильно замѣтны продольныя щели по на-правлению прокатки. Послѣднее можно объяснить не одинаковой величи-ной вытяжки верхней и нижней части сѣченія разматриваемаго про-филя, вслѣдствіе неправильной работы валковъ.

³⁾ Zeitschrift d. Vereins d. Ingenieure. 1900. № 14.

Изъ предыдущаго мы замѣтили, что величина зеренъ желѣза не остается одинаковой даже для всего сѣченія одного и того же ручья, а въ зависимости отъ температуры и механическихъ условій прокатки сильно измѣняетъ свою величину. Очевидно, эта разница въ величинѣ зеренъ будетъ тѣмъ рельефнѣе, чѣмъ сложнѣе будетъ профиль изготавляемаго образца. Общая картина измѣненій въ величинѣ зеренъ металла по ручью останется и у готоваго образца, если только послѣдній не будетъ подвергнутъ отжигу послѣ прокатки. Такая разница въ величинѣ зеренъ въ зависимости отъ температуры и условій прокатки по площеади сѣченія образца существуетъ у всѣхъ сортовъ желѣза, вышедшихъ изъ прокатки безъ отжига, и для иллюстраціи послѣдняго положенія въ Металлографической Лабораторіи Томскаго Технологического Института были изслѣдованы профилья обычныхъ рельсъ, для чего съ испытуемаго рельса изготавлялась сначала общая макроструктура для сужденія обѣй структурѣ рельса, а затѣмъ рельсъ разбивался на пояса, пояса дѣлились на части, изъ которыхъ готовились шлифы поперекъ прокатки. Шлифы фотографировались при увеличеніи 120, и на кружкѣ такихъ фотографій съ діаметр. 7,2 ст. опредѣлялось число зеренъ. Подобное дѣленіе на части одного изъ такихъ сѣченій рельса изображено на черт. 11 табл. XXVIII, а результаты общаго подсчета числа зеренъ по сѣченіямъ рельса изображены ломанными линіями 1 по VI-ую включительно на табл. XXIX. Изъ разсмотрѣнія первой ломанной линіи (число зеренъ указано на ординатахъ, а цифры на абсциссѣ обозначаютъ номера шлифовъ по сѣченію рельса) отчетливо видно, что величина зеренъ стали въ срединѣ головки рельса значительно больше (почти въ два раза) таковой же у краевъ рельса. При переходѣ головки рельса къ шейкѣ, вслѣдствіе значительного уменьшенія сѣченія рельса и сопряженнаго съ этимъ быстраго охлажденія металла, разница въ величинѣ зеренъ средины и краевъ сглаживается. На сѣченіи шейки замѣтио увеличеніе зеренъ въ одну (правую) сторону, что цѣликомъ объясняется неравномѣрностью охлажденія рельса послѣ прокатки. Послѣднее положеніе вполнѣ подтверждается сдѣланными контрольными шлифами образцовъ взятыхъ съ лѣвой и правой стороны изъ крайнихъ точекъ, число зеренъ на фотографіяхъ которыхъ изображено цифрами на фиг. 11 таб. XXVIII.

Изъ сопоставленія послѣднихъ циyrъ зеренъ на шлифахъ отчетливо видно, что правая сторона рельса послѣ прокатки охладилась быстрѣе лѣвой, вслѣдствіе чего и величина зеренъ у кромки меныше, нежели у лѣвой стороны. Диаграммы IV и V ясно иллюстрируютъ то положеніе, что величина зеренъ желѣза въ большихъ сѣченіяхъ наблюдаемаго образца у краевъ мельче, нежели въ срединѣ. Затѣмъ діаграмма VI показываетъ общее уменьшеніе величины зерна отъ головки къ подошвѣ рельса, что вполнѣ естественно было ожидать, такъ какъ процессъ остыванія металла и дѣйствіе механическихъ усилий при прокаткѣ наиболѣе сильно сказывается на величинѣ зерна въ менышихъ сѣченіяхъ рельса у

его подошвы. Таким образомъ, кратко формулируя только что изложенное изслѣдованіе строенія рельса по сѣченію, приходимъ къ слѣдующимъ заключеніямъ: головка рельса обладаетъ довольно крупной кристаллизацией, при чмъ по срединѣ ея она довольно однородна. Шейка рельса имѣеть болѣе мелкое строеніе по сравненію съ головкой, но замѣтно уменьшеніе зерна въ правую сторону разрѣза, что вполнѣ подтверждается изслѣдованіемъ крайнихъ боковыхъ точекъ и подтверждаетъ наше предположеніе относительно неравномѣрности охлажденія рельса послѣ прокатки на стелюгахъ. Подошва рельса имѣеть болѣе мелкое строеніе по сравненію съ головкой, что объясняется вліяніемъ быстроты охлажденія и большимъ вліяніемъ механической обработки при прокаткѣ. Механическая обработка при прокаткѣ наиболѣе рѣзко отразилась на крайнихъ точкахъ рельса, вызвавъ медкое дробленіе зерна.

Въ предыдущемъ мы довольно долго остановились на разсмотрѣніи вопроса объ измѣненіи зеренъ желѣза при прокаткѣ, взявъ для детальнаго освѣщенія этого вопроса образцы отъ одного куска прокатной проволоки. Теперь разсмотримъ дальше, какъ измѣняется строеніе проволоки при дальнѣйшей обработкѣ—волоченіи. Образецъ при волоченіи былъ взятъ отъ одного мотка проволоки по мѣрѣ прохода ея при волоченіи черезъ глазокъ, но былъ пропущенъ вслѣдствіе практическихъ неудобствъ только одинъ отжигъ проволоки въ срединѣ волоченія. Химическій составъ послѣдней проволоки приблизительно одинаковъ съ химическимъ составомъ той проволоки, что была разсмотрѣна нами при прокаткѣ⁴⁾. Фотографіи съ изслѣдованныхъ образцовъ изображены при увеличеніи 150 на фиг. 70 табл. XIII по 103 табл. XIX включитель но, при чмъ нечетные номера относятся къ продольнымъ сѣченіямъ изслѣдуемыхъ образцовъ, а четные—къ поперечнымъ.

Чтобы лучше уяснить себѣ картину, даваемую микроскопомъ, мы должны разсмотреть приемы механической обработки, которой подверглись нами образцы.

Матеріаль для волоченія, строеніе котораго видимъ на шлифахъ фиг. 70 и 71, поставляется заводу и является продуктомъ прокатки, что и замѣтно по оставшимся пустотамъ вдоль оси. На заводѣ передъ пускомъ въ волочильную доску матеріаль отжигается. Волочильныя доски представляютъ металлическія пластинки, снаженные отверстіями различной величины. Въ эти отверстія заправляются кусокъ проволоки, затѣмъ захватываются по другую сторону доски особыми клещами, которыми и тянутъ проволоку. Но такъ какъ поперечное сѣченіе отверстія въ волочильной доскѣ менѣе сѣченія обрабатываемой проволоки, то постепенно сжимается и утончается, принимая сѣченіе по формѣ и величинѣ

⁴⁾ Образцы проволоки разсмотрѣнной при прокаткѣ принадлежать Александровскому завду Брянского О—ва, а образцы по волоченію проволоки соѣдненному заводу О—ва Гантке, который беретъ проволоку на первомъ заволѣ.

приблизительно сходное съ отверстіемъ волочильной доски. Мы говоримъ „приблизительно“, такъ какъ по выходѣ изъ глазка волочильной доски, вслѣдствіе прекращенія сжимающаго усилия съ одной стороны и упругости материала съ другой, проволока нѣсколько утолщается. Это доказывается тѣмъ, что если только что протянутую проволоку просунуть снова въ тотъ же глазокъ и снова начать тянуть, то усилие будетъ больше, чѣмъ требовалось бы на треніе о стѣнки глазка. Опытомъ найдено, что для желѣза требуется для вторичнаго протягиванія $10/_{22}$ первоначальнаго усилия. При волоченіи большую роль играетъ форма самаго глазка и состояніе его поверхности. Самой простой формой глазка является цилиндрическое отверстіе, но вмѣстѣ съ тѣмъ и самой невыгодной, такъ какъ вся работа, сдавливанія и уплотненія проволоки, выносится только съченіемъ глазка въ плоскости волочильной доски. Такое мгновенное измѣненіе поперечнаго съченія входящей проволоки можетъ служить причиной срѣзанія и перекусыванія. Благодаря какъ-бы соскабливанію материала наружной кромкой такого глазка и отсутствію участія въ волоченіи остального съченія получается выкрашиваніе этой кромки и полная негодность волочильной доски. Самой совершенней формой является глазокъ, состоящій изъ 2-хъ усъченныхъ конусовъ (фиг. 12а табл. XXVIII), сложенныхъ малыми основаніями, при чемъ средняя кромка закруглена. Здѣсь отсутствуетъ рѣзкое измѣненіе поперечнаго съченія и соскабливаніе материала. Изготовленіе такого глазка и необходимая тщательная его полировка представляютъ болѣшія затрудненія, почему его и употребляютъ только для такихъ сортовъ проволоки изъ драгоценныхъ металловъ. Обыкновенной формой глазка является форма цилиндро-коническая съ закругленіемъ средняго ребра (фиг. 12б табл. XXVIII). Итакъ, часть проволоки между клемцами и волочильной доской растягивается, часть же, проходящая черезъ волочильное отверстіе, сжимается, при чемъ материалъ на поверхности приводится въ пластичное состояніе и испытываетъ напряженіе, соотвѣтствующее давленію истеченія. Обозначимъ черезъ d и d_1 диаметръ проволоки до и послѣ волоченія, черезъ K_z —напряженіе растянутой части, а черезъ δ —давленіе на поверхности конуса волочильного отверстія; черезъ f —коэф. тренія между проволокой и волочильной доской (см. черт. 13 табл. XXVIII). Изъ условія равновѣсія можемъ написать слѣдующее равенство:

$$\frac{\pi d_1^2}{4} K_z = Z d F \cdot \delta \cdot \sin \alpha + Z d F \cdot \delta \cdot f \cdot \cos \alpha;$$

но $Z d F$ есть боковая поверхность усъченаго конуса, слѣдовательно:

$$Z d F = \frac{d + d_1}{2} \pi \cdot a \cdot b = \frac{d + d_1}{4} \pi \cdot \frac{d - d_1}{2 \sin \alpha} = \frac{\pi}{4} \cdot \frac{d^2 - d_1^2}{\sin \alpha}$$

(гдѣ a и b образующая конуса).

Подставивъ это значеніе получаемъ:

$$\frac{\pi d_1^2}{4} K_z = \frac{\pi}{4} (d^2 - d_1^2) \delta \cdot (1 + f \cdot \operatorname{ctg} \alpha), \text{ откуда}$$

$$K_z = \left[\left(\frac{d}{d_1} \right)^2 - 1 \right] \cdot \delta \cdot (1 + f \cdot \operatorname{ctg} \alpha);$$

напряженіе δ можетъ быть взято 40 klgr. m/m; уголъ $\alpha = 15^\circ$, коэф. тренія $f = 0,1$.

Для уменьшенія тренія металла о стѣнки волочильного отверстія проволока смазывается саломъ, масломъ, или мыльною водою.

Измѣненіе діаметровъ изслѣдуемой проволоки слѣдующее:

| | | |
|--------------|--------------|---------------|
| 2) 7,12 m/m. | 7) 2,62 m/m. | 12) 1,33 m/m. |
| 3) 6,06 | 8) 2,15 | 13) 1,14 |
| 4) 5,02 | 9) 1,98 | 14) 1,00 |
| 5) 4,08 | 10) 1,76 | 15) 0,82 |
| 6) 3,26 | 11) 1,58 | 16) 0,75 |

Измѣненіе отношенія діаметровъ между 2 и 3 глазкомъ:

| | | |
|----------------|----------------|----------------|
| 2 и 3 = 1,18 | 6 и 7 = 1,27 | 10 и 11 = 1,11 |
| 3 и 4 = 1,2 | 7 и 8 = 1,22 | 11 и 12 = 1,18 |
| 4 и 5 = 1,23 | 8 и 9 = 1,08 | 12 и 13 = 1,17 |
| 5 и 6 = 1,23 | 9 и 10 = 1,13 | 13 и 14 = 1,14 |
| 14 и 15 = 1,22 | 15 и 16 = 1,09 | |

Напряженіе растяженія, испытываемое материаломъ проволоки при переходѣ отъ d до d_1 , получаемъ приблизительно:

| | |
|---|--|
| 2 и 3 $K_z = (1,18^2 - 1) \cdot 40 \cdot (1 + 0,37) = (1,18^2 - 1) \cdot 54,8 = 21,4$ klgr. | 9 и 10 $K_z = (1,13^2 - 1) \cdot 54,8 = 15$ |
| 3 и 4 " $(1,2^2 - 1) \cdot 54,8 = 24,1$ | 10 и 11 " $(1,11^2 - 1) \cdot 54,8 = 12,6$ |
| 4 и 5 " $(1,23^2 - 1) \cdot 54,8 = 28$ | 11 и 12 " $(1,18^2 - 1) \cdot 54,8 = 21,4$ |
| 5 и 6 " $(1,25^2 - 1) \cdot 54,8 = 30,4$ | 12 и 13 " $(1,17^2 - 1) \cdot 54,8 = 20,2$ |
| 6 и 7 " $(1,24^2 - 1) \cdot 54,8 = 28,4$ | 13 и 14 " $(1,14^2 - 1) \cdot 54,8 = 16,4$ |
| 7 и 8 " $(1,22^2 - 1) \cdot 54,8 = 26,8$ | 14 и 15 " $(1,22^2 - 1) \cdot 54,8 = 26,3$ |
| 8 и 9 " $(1,08^2 - 1) \cdot 54,8 = 8,8$ | 15 и 16 $K_z = (1,09^2 - 1) \cdot 54,8 = 10,1$ klgr. |

Подобный приблизительный подсчетъ показываетъ, что напряженіе, испытываемое материаломъ проволоки, выходитъ въ большинствѣ случаевъ за предѣлы упругости. Обратимся къ опытамъ, произведеннымъ проф. Hein'омъ (Z. d. V. J. 1900 г. №14). Для опыта имъ была взята прокатная проволока изъ мягкаго литого желѣза, состоявшаго исключительно

но изъ зеренъ феррита, величина которыхъ была одинакова, какъ въ продольномъ, такъ и въ поперечномъ сѣченіи. Образецъ былъ разорванъ на разрывной машинѣ. Оказалось, что близъ мѣста разрушенія зерна вытянулись, при чмъ поперечное сѣченіе зеренъ уменьшилось, а длина зеренъ увеличилась сравнительно съ первоначальными размѣрами. Въ результатахъ объемъ зеренъ уменьшился. Проволока, протянутая черезъ волочильную доску до 3,7 мм. въ диаметрѣ, имѣла зерна вытянутыя, при чмъ поперечное сѣченіе уменьшилось, длина же осталась безъ измѣненія (немного уменьшилась). Желая дать представление о размѣрахъ зеренъ по различнымъ направленіямъ, проф. Неін изображаетъ зерна въ видѣ призмы съ квадратнымъ основаніемъ, площадь котораго равна площинѣ поперечнаго сѣченія зерна, а длина призмы взята такая, чтобы объемъ призмы былъ равенъ объему зерна. Величины зеренъ, измѣренныхъ въ тысячныхъ доляхъ миллиметра, получились такія:

| | Страна квадрата основанія въ Н | Длина призмы. | Объемъ въ Н ³ . |
|----|-----------------------------------|------------------|----------------------------|
| 1) | 41,5 | 41,5 | 68890 |
| 2) | 14,4 | 77,1 | 16191 |
| 3) | 19,0 | 34,5 | 12178 |

Зерна въ томъ и другомъ случаѣ уменьшились по своимъ размѣрамъ. Произошло ихъ дѣленіе, но по различнымъ причинамъ. При разрывѣ зерна вытягивались, когда переходили извѣстный предѣлъ, то разрывались на части. Длина зеренъ увеличилась почти вдвое. При волоченіи зерна подвергались главнымъ образомъ поперечному сжатію. Дѣленіе зеренъ произошло отъ того, что матеріалъ, сжимаясь неодинаково въ различныхъ мѣстахъ, образовывалъ сначала шейки, а затѣмъ окончательно отдѣлялась одна часть зерна отъ другой. Обращаясь къ шлифамъ, изготовленнымъ нами, мы наблюдаемъ слѣдующую картину. Шлифъ фиг. 70 и 71 таб. XIII. Проволока, полученная съ завода, но протянутая черезъ глазокъ для приданія круглой формы сѣченія; предварительно отожжена. Форма зеренъ феррита почти одинаковая, какъ въ продольномъ, такъ и поперечномъ сѣченіи. Увеличеніе размѣровъ зеренъ феррита по сравненію съ шлифомъ фиг. 72 и 73 таб. XIV показываетъ довольно высокую температуру отжига. (Послѣдніе шлифы относятся къ проволокѣ, полученной съ завода). Пустоты, оставшіяся послѣ прокатки вдоль продольной оси, сдѣлались нѣсколько менѣшими по величинѣ. Произошло нѣкоторое уплотненіе матеріала. Шлифъ фиг. 74 и 75 таб. XIV. Удлиненіе зеренъ феррита, имѣющихъ уже менѣшую величину по сравненію со шлифомъ фиг. 71, еще не такъ рѣзко выражено. Присутствіе пустотъ становится менѣе замѣтнымъ. Шлифъ фиг. 76 и 77 таб. XIV. Здѣсь уже рѣзко выступаетъ на сцену удлиненіе зеренъ и уменьшеніе ихъ величины въ поперечномъ сѣченіи, форма котораго сильно отступаетъ отъ контура зеренъ шлифа фиг. 74. Зерна феррита

уже не могутъ сохранить болѣе или менѣе правильную форму, вслѣдствіе испытываемаго сильнаго бокового давленія при прохожденіи чрезъ глазокъ волочильной доски. Такое сильное измѣненіе формы зеренъ феррита объясняется довольно значительнымъ напряженіемъ растяженія проволоки при прохожденіи черезъ это отверстіе. По Осмонду, желѣзо можетъ находиться въ 3-хъ аллотропическихъ состояніяхъ γ , β и α . Видоизмѣненія желѣза γ и β магнитныхъ свойствъ не имѣютъ, видоизмѣненіе же желѣза α —магнитно. Переходъ желѣза γ въ β совершается около 900° . Видоизмѣненіе β , содержащее большее количество углерода, болѣе твердое и хрупкое по сравненію съ α . Различие зеренъ феррита по твердости становится замѣтнымъ, начиная со шлифа фиг. 78 и 79 т. XV. Въ то время, какъ зерна феррита α являются болѣе вытянутыми и бол. тонкими, зерна β стремятся сохранить свою величину. Длина зеренъ β меньше, и они гораздо толще, и довольно рѣзко выдѣляются на общемъ фонѣ благодаря шероховатости своей поверхности. Травленіе производилось реактивомъ Курбатова (4% раствора азотной кислоты въ амиль-алкоголь). Азотная кислота дѣйствуетъ тѣмъ сильнѣе, чѣмъ тверже и менѣе чистъ металлъ. Поэтому зерна β и получились болѣе шероховатыми. Если обратиться къ поперечному сѣченію, то мы увидимъ извилистую форму сѣченія зеренъ, и здѣсь довольно замѣтна разница зеренъ α и β . Сильное поперечное сдавливаніе материала оказываетъ свое влияніе, и отдѣлить одно зерно отъ другого становится труднѣе. Еще рѣзче наблюдается разница между α и β на послѣдующихъ шлифахъ фиг. 80 и 81 таб. XV и далѣе. Величина зеренъ убываетъ въ поперечномъ сѣченіи, и сильно увеличивается ихъ длина, но зерна β имѣютъ большую величину поперечного сѣченія по отношенію къ длине, чѣмъ α . Зерна β , сохранившись при растяженіи и сжатіи, начинаютъ страдать благодаря своей хрупкости при скольженіи. При протягиваніи проволоки чрезъ глазокъ возбуждается сильное треніе между боковой поверхностью проволоки и глазка. Сила тренія вызываетъ скольженіе материала, лежащаго ближе къ поверхности относительно средней части. Если обратить вниманіе на конецъ протянутой проволоки, то всегда увидимъ вытянутую поверхность, что ясно показываетъ смыщеніе материала въ центральной части относительно поверхности. Разматривая поперечныя сѣченія, мы наталкиваемся на слѣдующее обстоятельство. Величина зеренъ замѣтно измѣняется отъ периферіи къ центру. Для большей ясности въ разницѣ по величинѣ зеренъ, лежащ. около периферіи и центра, сделаны снимки шлифовъ съ увеличеніемъ $800 : 1$ См. фиг. 88 и 89 таб. XVII. Одинъ снимокъ показываетъ размѣры зеренъ около поверхности, другой въ средней части. Постараемся нѣсколько выяснить себѣ причину подобнаго явленія. Разъ зерна получились менѣе въ срединѣ, значитъ металлъ въ средней части болѣе вытянулся по сравненію съ наружной частью и, испытывая боковое давленіе, онъ оказался болѣе сжатымъ. Какъ мы уже сказали, проволока при прохожде-

ній черезъ волочильное отверстіе испытываетъ сильное треніе. Работа силы тренія уходитъ на нагрѣваніе. Это явленіе сильно замѣтно; рабочіе принуждены бываютъ даже пользоваться руками. Подсчитаемъ приблизительно то количество тепла, которое выдѣлится благодаря силѣ тренія. При этомъ мы сдѣлаемъ предположеніе, что все выдѣлившееся тепло пойдетъ на нагрѣваніе проволоки. Уголь α глазка $\approx 15^{\circ}$. Давленіе сжатія 40 klg./mm^2 . Коэффиціентъ тренія, принимая во вниманіе смазку проволоки передъ волочильнымъ отверстіемъ, возьмемъ 0,1. Скорость прохожденія проволоки примемъ, согласно даннымъ Кнаббе „Производство проволоки“. Боковая поверхность =

$$= \frac{\pi}{4} \cdot \frac{d^2 - d_1^2}{\sin \alpha}; \sin \alpha = 0,259; \frac{\pi}{4} \sin \alpha = 3,04;$$

| | Діам. проволоки въ м/m. | Боковая поверхность въ м/m ² | Сила тренія въ klg. | Скорость въ mtr. въ 1" | Работа въ klg. мет. |
|-----|-------------------------------|--|------------------------|------------------------------|---------------------------|
| 2) | 7,12 | (50,7 - 36,7) . 3,04 = 426 | 170,4 | 0,255 | 43,5 |
| 3) | 6,06 | (36,7 - 25,2) . 3,04 = 38 | 152 | 0,3 | 45,6 |
| 4) | 5,02 | (25,2 - 16,7) . 3,04 = 25,8 | 123,2 | 0,3 | 36,9 |
| 5) | 4,08 | (16,7 - 10,6) . 3,04 = 18,5 | 74 | 0,45 | 33,3 |
| 6) | 3,26 | (10,6 - 6,9) . 3,04 = 11,3 | 45,2 | 0,6 | 27,1 |
| 7) | 2,62 | (6,9 - 4,6) . 3,04 = 7,0 | 28 | 0,65 | 16,8 |
| 8) | 2,15 | (4,6 - 3,9) . 3,04 = 2,1 | 8,4 | 0,7 | 5,8 |
| 9) | 1,98 | (3,9 - 3,1) . 3,04 = 2,4 | 9,6 | 0,75 | 6,7 |
| 10) | 1,76 | (3,1 - 2,4) . 3,04 = 2,1 | 8,4 | 0,8 | 6,7 |
| 11) | 1,58 | (2,4 - 1,76) . 3,04 = 1,94 | 7,7 | 0,9 | 6,9 |
| 12) | 1,33 | (1,76 - 1,3) . 3,04 = 1,4 | 5,6 | 1,05 | 5,6 |
| 13) | 1,14 | (1,3 - 1) . 3,04 = 0,9 | 3,6 | 1,2 | 4,3 |
| 14) | 1 | (1 - 0,67) . 3,04 = 1,01 | 4 | 1,3 | 5,2 |
| 15) | 0,82 | (0,67 - 0,56) . 3,04 = 0,33 | 1,3 | 1,4 | 1,8 |

Если сдѣлать предположеніе, что все тепло идетъ на равномѣрное по поперечному сѣченію нагрѣваніе проволоки, то мы получимъ приблизительно слѣдующее повышеніе температуры r для каждого случая:

| Объемъ проволоки въ ст. ³ | Вѣсъ въ klg. | Колич. тепла. | Повышеніе температуры. |
|---|-----------------|------------------|----------------------------------|
| 3) 0,288 . 25 = 7,2 | 0,0554 | 0,1 | 0,0554. 11.r = 0,1 ; r = 16,5 |
| 4) 0,198 . 30 = 4,94 | 0,038 | 0,106 | 0,038 . 0,11.r = 0,106; r = 25,3 |
| 5) 0,13 . 30 = 3,9 | 0,03 | 0,086 | 0,03 . 0,11.r = 0,086; r = 26 |
| 6) 0,0835 . 45 = 3,76 | 0,0289 | 0,078 | 0,0289. 0,11.r = 0,078; r = 24,8 |
| 7) 0,0539 . 60 = 3,23 | 0,0279 | 0,063 | 0,0279. 0,11.r = 0,063; r = 23 |
| 8) 0,0363 . 60 = 2,36 | 0,0182 | 0,039 | 0,0182. 0,11.r = 0,039; r = 19,5 |
| 9) 0,0307 . 70 = 2,15 | 0,0166 | 0,013 | 0,0166 0,11.r = 0,013; r = 7,1 |

| Объемъ проволоки въ ст. ³ | Вѣсъ въ klgr. | Колич. тепла. | Повышеніе температуры. |
|---|------------------|------------------|-----------------------------|
| 10) 0,0243. 75=1,84 | 0,0142 | 0,015 | 0,0142.0,11.r=0,015;r= 9,6 |
| 11) 0,0196. 80=1,56 | 0, 012 | 0,015 | 0, 012.0,11.r=0,015;r= 11,3 |
| 12) 0,0139. 90=1,25 | 0,0096 | 0,016 | 0,0096.0,11.r=0,016;r=15 |
| 13) 0,0102.105=1,07 | 0,0082 | 0,013 | 0,0082.0,11.r=0,013;r=12,7 |
| 14) 0,0078.120=0,94 | 0,0074 | 0,010 | 0,0074.0,11.r=0,010;r=12,3 |
| 15) 0,0052.130=0,68 | 0,0052 | 0,012 | 0,0052.0,11.r=0,012;r=21 |
| 16) 0,0044.140=0,62 | 0,0048 | 0,005 | 0,0048.0,11.r=0,005;r= 25 |

Подобный приблизительный подсчетъ повышенія температуры произведенъ въ предположеніи равномѣрнаго нагреванія проволоки, сльдовательно, при мгновенномъ распространеніи тепла. Подобное предположеніе въ действительности не можетъ быть при такой довольно значительной скорости протягиванія проволоки. Если даже предположить, что тепло при прохожденіи черезъ волочильное отверстіе будетъ распространяться по закону прямой линіи съ maximum'омъ на периферіи и Около центра, то наибольшее повышеніе температуры около поверхности получимъ изъ слѣдующаго соотношенія:

$$\frac{2}{3} R \cdot \frac{\pi D^2}{4} = r \frac{\pi D^2}{4}; \text{ откуда } R = \frac{3}{2} r$$

или согласно подсчету maximum'а повышенія $26 \cdot \frac{3}{2} = 39^{\circ}$. Посмотримъ теперь, какъ измѣняются свойства желяза относительно сопротивленія растягивающимъ усилиямъ при нагревѣ. Для этого воспользуемся даграммой, данной Бахомъ, влиянія температуры на сопротивленіе желяза растяженію. См. фиг. 14 таб. XXVIII. Наиболѣе наглядно для даннаго случая является кривая уменьшенія поперечнаго сжатія ψ и кривая растяженія φ .

Кривая ψ измѣненія поперечнаго сжатія при растяженіи показываетъ, что вязкость желяза съ повышеніемъ температуры сильно падаетъ. Maximum измѣненія поперечнаго сжатія соответствуетъ $\approx 300^{\circ}$, что даетъ температуру синяго нагрева, при которой желязо становится хрупкимъ. Minimum φ соответствуетъ температурѣ 160° . Кривые соответствуютъ опытамъ, произведеннымъ надъ брусками изъ литого желяза, которое имѣло эти свойства при комнатной температурѣ.

| Сопротивленіе растяженію. | Удлиненіе на 100 mm | Поперечное сжатіе. |
|---------------------------|---------------------|-------------------------------|
| Въ первонач. видѣ, | Въ отожжен. | Въ первонач. видѣ. |
| 4100 klgr. | 3840 | 26,9% / 30,4% / 48,3% / 58,6% |

Если принять начальную температуру проволоки 20° и повышеніе у поверхностнаго слоя на 40° , то получимъ уменьшеніе растяженія

для наружныхъ волоконъ по сравнению съ средней частью на 25,7% и уменьшение вязкости на 6,5%. Можно предположить, что изменение сопротивления желѣза въ зависимости отъ нагреванія и служить причиной неодинакового измѣненія величины зеренъ. Разъ материаля въ средней части болѣе вязокъ и способенъ сильно растягиваться, безусловно среднія волокна проволоки при прохожденіи черезъ волочильное отверстіе деформируются болѣе наружныхъ, которые задерживаются силой тренія. Образующееся вслѣдствіе этого скольжение и вліяетъ на зерна β такъ, что является разслаиваніе материала. Если мы обратимъ внимание на снимки, то легко замѣтимъ, что наблюдаемое разслаиваніе материала всегда находится около зеренъ β . Вначалѣ наблюдалася слабая разслойка на продолженіи продольной оси зерна. При дальнѣйшемъ волоченіи становится замѣтнымъ и разрушеніе самого зерна. Слабое растрескиваніе зерна β переходитъ въ большую продольную разслойку. Поперечный размѣръ этой разслойки нѣсколько уменьшается въ дальнѣйшихъ ручьяхъ вслѣдствіе значительного поперечнаго сжатія материала при прохожденіи черезъ глазокъ. Итакъ, картины нашихъ шлифовъ даютъ намъ право сдѣлать слѣдующія заключенія относительно измѣненія структуры желѣза при волоченіи.

1) При прохожденіи черезъ волочильное отверстіе величина поперечнаго сѣченія зерна уменьшается. Присутствіе высокаго напряженія при растяженіи вліяетъ на удлиненіе зеренъ. Сильное поперечное сжатіе материала вызываетъ раздѣленіе зеренъ по ихъ длине, образуя сначала шейки.

2) Размѣры зеренъ по величинѣ не одинаковы для всего поперечнаго сѣченія. Величина ихъ возрастаетъ отъ средней части къ периферіи, вслѣдствіе различія въ сопротивляемости.

3) Различная сопротивляемость зеренъ и сила тренія вызываетъ скольжение внутреннихъ волоконъ относительно наружныхъ, служа причиной разслаиванія материала. Послѣ нѣсколькихъ протяжекъ при производствѣ проволоки, которая становится жесткой и начинаетъ рваться, ее отжигаютъ, чтобы измѣнить волокнистое строеніе на зернистое и тѣмъ улучшить качество материала. Чтобы показать, какъ измѣняется строеніе материала при отжигѣ, нами приведены образцы отожженной и протравленной для уничтоженія окалины проволоки. Фиг. 104, 105 таб. XX; причемъ первая—отожжена. Величина зеренъ зависитъ отъ температуры отжига. Въ началѣ происходитъ дѣленіе зеренъ по длине, а затѣмъ ужъ только при болѣе высокой температурѣ около 900° можетъ быть образование болѣе крупныхъ зеренъ. При этомъ слѣдуетъ замѣтить, если температура отжига была не достаточно высока, то разница въ величинѣ зеренъ центральныхъ и близкихъ къ периферіи наблюдается и послѣ отжига, какъ, напримѣръ, особенно рѣзко замѣтно это на торцѣ проволоки, шлифъ фиг. 104. Прослѣдить вліяніе протравы на образование зеренъ намъ не удалось.

Стремленіе къ удешевленію при массовомъ производствѣ и необходимость имѣть одинаковые размѣры изготавляемыхъ предметовъ привело къ штампованию. Штампованіемъ можно назвать приданіе материала необходимаго вида при помощи формы путемъ давленія. Отсюда предполагается, что материалъ долженъ обладать пластичностью при сдавливаніи, но довольно часто для уменьшенія давленія работу производить при высокой температурѣ нагрѣва.

Относительно того, какъ измѣняется сопротивленіе желѣза сдавливанію, можно указать на опыты Daelen'a. Для погруженія бойка въ болванку на одну и ту же опредѣленную глубину требовалось давленіе.

| | | |
|------------------------------------|-------|--------------------------|
| При желтомъ каленіи | 5,14 | kggr на 1 m/m. болванки. |
| „ оранжевомъ „ | 5,99 | „ „ „ |
| „ красномъ „ | 6,31 | „ „ „ |
| „ темно-красномъ каленіи | 14,90 | „ „ „ |
| „ буромъ „ | 16,40 | „ „ „ |
| „ черномъ „ | 20,80 | „ „ „ |

Штампованіе нагрѣтаго материала аналогично ковкѣ, только соотвѣтствующая форма достигается при помощи углубленія въ штампѣ, которое заполняется материаломъ благодаря ударной нагрузкѣ или плавному давленію. При штампованіи ударомъ утилизируется живая сила ударяющаго приспособленія и является возможнымъ пользоваться для приведеніе въ дѣйствіе ударника паромъ, воздухомъ или простымъ приводомъ, которымъ довольно часто пользуются въ небольшихъ производствахъ, ставя приводные молота или даже рычажные. Такъ въ большомъ количествѣ вырабатываются мелкие предметы, напримѣръ, болты, костыли, заклепки и проч. На величину и видъ зеренъ феррита сильно влияетъ температура, при которой окончена обработка. Если ковка оканчивается ниже точки A_{Γ_1} , или близко къ ней, то во все время своего образования зерна феррита подвергаются обработкѣ, и благодаря ударамъ и сотрясеніямъ строеніе получается мелкозернистое. Этимъ объясняется, почему кузнецы продолжаютъ наносить удары по отковываемому предмету, пока онъ не охладится ниже точки A_{Γ_1} . Если работа закончена при довольно высокой температурѣ, то зерна феррита могутъ получить свою нормальную форму вполнѣ самостоятельно. Мы сравниваемъ штампованіе въ горячемъ видѣ съ ковкой, только число ударовъ здѣсь сведено до minimum'a, напримѣръ, до одного, рѣдко до двухъ. Сюда мы, конечно, не относимъ штампованіе въ горячемъ или холодномъ видѣ плавнымъ давленiemъ, какъ, напр., штампованіе котельныхъ днищъ, чеканка, вытяжка, гидравлическая штамповка. Въ нашемъ распоряженіи были только образцы штамповки въ горячемъ состояніи—головки заклепокъ, и холодномъ—гвозди. Для иллюстраціи по этому вопросу возьмемъ заклепки $\frac{1}{4}''$ и $\frac{5}{8}''$ и гвозди $\frac{1}{16}''$ и $\frac{1}{8}''$.

Снимки частей головокъ заклепокъ по продольному съченію (см. фиг. 106 и 108 таб. XX) сдѣланы по линіи, служащей продолженiemъ крайней образующей цилиндрической части тѣла. Приблизительно въ этомъ же мѣстѣ сняты образцы поперечныхъ съченій (см. фиг. 107 и 109 таб. XX). Какимъ образомъ деформировался материалъ при изгото-леніи головокъ заклепокъ, можно замѣтить по формѣ прослоекъ, остав-шихся въ тѣлѣ заклепокъ. Продольные волокна, оставаясь параллель-ными въ стволѣ, измѣнили направление въ головкѣ. Они сильно разда-лись въ стороны по серединѣ головки, сохранивъ немного свое направле-ніе только въ самомъ верху головки. Величина зеренъ сильно мѣняется въ различныхъ мѣстахъ головки. Въ мѣстѣ окончанія ствола еще остается нетронутой часть шаровидная, зерна которой по сравненію со стволомъ почти не измѣнились. Отъ этой выпуклости наблюдается волокнистый переходъ къ боковымъ частямъ головки. Наружная, поверхностная часть головки, какъ верхняя часть, соприкасавшаяся со штампомъ, такъ и опорная плоскость снизу имѣютъ болѣе мелкозернистое строеніе. Часть между шаровой выпуклостью и поверхности слоемъ является какъ-бы сплюснутой. Такимъ образомъ находимъ, что при штампованиіи полу-чается раздробленіе и измельченіе материала въ частяхъ, лежащихъ бли-же къ поверхности, соприкасающейся со штампомъ, и сжатіе въ сред-ней части. Наружная часть издѣлія, имѣющая мелкозернистое строеніе, являемся болѣе плотной, этимъ и объясняется появление какъ бы корки на штампованныхъ предметахъ. При штампованиіи въ холодномъ состоя-ніи головокъ машинныхъ гвоздей, которыя образуются ударомъ осо-баго бойка, картина немного измѣняется. Здѣсь также замѣтно разграниче-ніе между нетронутой и деформированной частью по сферической поверхности. Строеніе ствола волокнистое, какъ результатъ волоченія, въ особенности въ тонкихъ гвоздяхъ. На фотографіяхъ фиг. 110 и 111 таб. XXI изображены продольный и поперечный разрѣзы гвоздя въ $\frac{1}{8}$ " въ диаметрѣ вблизи головки; подобные разрѣзы гвоздя въ $\frac{1}{16}$ " изобра-жены на фиг. 112 (продольный) и 113 (поперечный) таблицы XXI. Во-локна замѣтны въ началѣ перехода къ боковой части головки и затѣмъ раздробляются. Переходъ этотъ рѣзко замѣтенъ на шлифѣ гвоздя $\frac{1}{16}$ ". На снимкѣ поперечного разрѣза головки этого гвоздя зерна не оди-наковы. Съ одной стороны мы видимъ зерна продолговатыя, съ другой мелкія раздробленныя. Такую же картину мы видимъ и на шлифѣ гвоздя $\frac{1}{8}$ ". Между зернами видна масса пустотъ. Полная головка съ наружной стороны не имѣть плотнаго строенія внутри.

Для болѣе детального выясненія вопроса объ измѣненіи структуры желѣза при штампованиіи разсмотримъ еще картину подобныхъ дефор-маций при гидравлической и ручной клепкѣ. Съ означенной цѣлью были изгото-лены образцы ручной и гидравлической клепки опытными рабо-чими на одномъ изъ большихъ заводовъ юга Россіи (Александровскомъ, Брянскаго О—ва); фиг. 114 таб. XXI относится къ заклепкѣ 22 мм.

въ діам., при толщинѣ склеиваемыхъ листовъ м mm. Заполненіе шва весьма плотное, характеръ деформацій весьма мелкій со слабымъ образованіемъ небольшихъ щелей по срединѣ стержня заклепки. Фиг. 115 таб. XXI относится къ ручной клепкѣ при діаметрѣ заклепки 18m/m и той-же толщинѣ склеиваемыхъ листовъ. Въ послѣднемъ случаѣ деформація заклепки происходитъ подъ ударомъ молота, и клепка оканчивается при болѣе низкой температурѣ по сравненію съ предыдущей, вслѣдствіе чего тѣло заклепки внутри получило значительныя пустоты (щели). Послѣднія двѣ фотографіи весьма детально иллюстрируютъ общую картину деформацій при горячемъ и холодномъ штампованіи. Характеръ деформацій у головки заклепки, костыля, гвоздя и пр. остается предыдущій безъ существенныхъ измѣненій, но измѣняется только величина пустотъ (щелей), которая при горячей обработкѣ мельче, при холодной значительно шире и глубже. Стержень предмета штампованія обычно сохраняетъ ту структуру, которую онъ получилъ при предшествующей обработкѣ (прокаткѣ или волоченіи).

При обычныхъ кузнечныхъ поковкахъ овальная форма зерна мягкаго желѣза подъ вліяніемъ ударовъ молота постепенно измѣняетъ свою форму въ клинообразную иногда съ сильнымъ дѣленіемъ самого зерна. Значительной разницы въ деформаціи зерна желѣза при кузнечныхъ поковкахъ не наблюдалось, паоборотъ, характеръ этихъ деформацій былъ весьма однообразенъ и довольно ярко выраженъ на фиг. 116 таб. XXII. Ранѣе указанная клинообразная форма зерна и дробленіе самаго зерна подъ вліяніемъ ковки отчетливо замѣтны на послѣднемъ шлифѣ.

Наконецъ, съ цѣлью изслѣдовать вопросъ объ измѣненіи структуры желѣза при рѣзаніи и продавливаніи дыръ въ Механическихъ мастерскихъ Томскаго Технологического Института было сдѣлано значительное количество наблюденій надъ рѣзаніемъ желѣза толщиною 1,5m/m, 8,5 m/m, 10 m/m, 15 m/m и 19 m/m и продавливаніемъ въ немъ дыръ пуансономъ діаметромъ $\frac{7}{16}$ ", $\frac{5}{8}$ ", $\frac{3}{4}$ " и $\frac{7}{8}$ ". При рѣзаніи листовъ желѣза на обычныхъ рамныхъ ножницахъ происходитъ сильное уплотненіе металла у поверхности раздѣла. Наиболѣе сильно деформированіе металла обнаруживается у мѣста входа верхняго подвижнаго ножа ножницъ и постепенно деформированіе металла сходитъ до нуля по мѣрѣ приближенія къ нижней поверхности раздѣляемаго листа. Наибольшая величина указанныхъ деформацій при рѣзаніи листовъ на рамныхъ ножницахъ въ среднемъ равна 1 m/m.

Для детальнаго освѣщенія вопроса о деформаціяхъ при пробивкѣ дыръ были сдѣланы разрѣзы пробитыхъ листовъ, снимались фотографіи съ общей картины обнаруженныхъ деформацій, а затѣмъ въ большомъ увеличеніи снимался характеръ деформацій при входѣ пуансона, среднемъ положеніи и выходѣ его. Изучая по полученнымъ снимкамъ измѣненіе структуры материала, мы наблюдаемъ слѣдующую картину: при входѣ пуансона въ листъ материалъ послѣдняго сначала сжимается, за-

тѣмъ происходитъ срѣзъ металла по кромкѣ пуансона. Матеріалъ, расположенный впереди пуансона, тоже сильно сжимается, раздаваясь въ стороны. При дальнѣйшемъ ходѣ пуансона матеріалъ листа какъ бы течетъ. Съ противоположной стороны пробиваеваго листа кромка матрицы оказываетъ на листъ такое же давленіе, какъ и пуансонъ, вслѣдствіе че-
го скальваемый кусокъ перемѣщается. Поверхность разъединенія не рас-
полагается точно по направленію движенія пуансона, а нѣсколько из-
клонно къ этому направленію, что, очевидно, происходитъ вслѣдствіе бо-
кового перемѣщенія сжатыхъ частицъ. По мѣрѣ движенія пуансона, по-
верхность внутренняго сцѣпленія частицъ уменьшается, и матеріалъ, не
будучи въ состояніи сопротивляться дѣйствующему усилию, отрывается.
Общий характеръ деформацій зеренъ желѣза при продавливаніи изобра-
женъ фотографіями фиг. 117, 118, 119 и 120 таб. XXII, при чемъ первая
даетъ общий видъ такихъ деформацій, а три послѣдующія (при увеличе-
ніи 100) характеръ такихъ деформацій при входѣ, срединѣ и выходѣ пу-
ансона. Величина подобныхъ деформацій, какъ это видно изъ разсмотрѣ-
нія только что приведенныхъ шлифовъ, сильно увеличивается къ вы-
ходу пуансона, а затѣмъ было замѣчено, что величина деформацій уве-
личивается съ толщиною листа. Среднія значенія наблюденыхъ дефор-
маций въ зависимости отъ толщины листа приведены въ нижеслѣдующей
таблицѣ:

| Толщина желѣза въ м/m. | Діаметръ пуан- сона въ дюймахъ. | Величина де- формації въ м/m. |
|---------------------------|------------------------------------|----------------------------------|
| 1,5 m/m. | 7/16" | 0,25 m/m. |
| 1,5 m/m. | 5/8" | 0,25 m/m, |
| 8,5 m/m. | 7 1/16" | 0,9 m/m. |
| 8,5 m/m. | 3/4" | 0,9 m/m. |
| 10 m/m. | 5/8". | 1 m/m |
| 15 m/m. | 3/4" | 1,4 m/m. |
| 15 m/m. | 7/8" | 1,4 m/m. |
| 19 m/m | 7/8" | 2 m/m. |

Изъ приведенной таблицы видно, что величина деформацій растетъ съ толщиной листа и въ среднемъ колеблется около $1/10$ толщины по-
слѣдняго. Несомнѣнно также, что на величину деформацій оказываетъ вліяніе и величина зазора между пуансономъ и діаметромъ матрицы.
Для изслѣдованія послѣдняго вопроса былъ продѣланъ рядъ опытовъ съ желѣзомъ толщиной 9 mm., въ которомъ пуансономъ $3/4"$ въ діаметрѣ пробивались послѣдовательно дыры при зазорѣ въ матрицѣ $1/2$, 1 , $1\frac{1}{2}$ и 2 mm., для чего діаметръ пуансона оставался постояннымъ, а увеличи-
вался послѣдовательно діаметръ матрицы. Изъ опытовъ выяснилось, что величина деформацій съ зазоромъ растетъ: такъ при величинѣ зазора

между пуансономъ и діаметромъ матрицы $\frac{1}{2}$ и 1 m/m величина деформацій въ среднемъ равна $0,9\text{ m/m}$, при зазорѣ въ $1\frac{1}{2}\text{ m/m}$ величина деформацій— $1,1\text{ m/m}$, при 2 m/m — $1,5\text{ m/m}$. При зазорѣ въ $\frac{1}{2}$ и 1 m/m кромки пробиваемыхъ листовъ гладкія, а при дальнѣйшемъ уве-личеніи зазора нижняя кромка пробиваемаго отверстія имѣеть болыпія рванины (фиг. 120 табл. XXII). Очевидно, что наивыгоднѣйшій зазоръ между діаметрами матрицы и пулансона находится въ предѣлахъ $\frac{1}{2}$ и 1 m/m . Для уничтоженія полученныхъ деформацій обычно дыры раз-сверливаются на толщину деформацій, или листы до клепки подвергают-ся отжигу. Отжигъ, какъ показали наши наблюденія, возстанавливаетъ зерна нарушенной структуры, а главное онъ, повидимому, способству-етъ отдѣленію деформированной части отъ здоровой. Такъ фиг. 120 табл. XXII довольно ясно иллюстрируетъ подобное дѣленіе деформиро-ванной части отъ здоровой послѣ отжига. На величину деформацій ме-талла при продавливаніи отверстій оказываетъ большое вліяніе и форма самого пулансона. Для изслѣдованія этого вопроса были изготовлены пулансоны діаметромъ въ $\frac{1}{2}''$ (фиг. 121 таб. XXII), при чемъ у пулансона предварительно не дѣлался средній направляющій конусъ, и уголъ у рѣ-жущей кромки пулансона былъ 75° . Такой пулансонъ при продавливаніи давалъ рваныя дыры, проходилъ отверстіе съ большимъ трудомъ и отъслипкомъ большого осевого давленія лопнулъ діаметрально (см. фиг. 121). Дальше было изготовленъ пулансонъ съ среднимъ направляющимъ конусомъ, съ небольшой рѣжущей кромкой кольцомъ по окружности пулансона (при чемъ уголъ заостренія у этой кольцевой кромки былъ $75'$, а ширина кольцевой кромки у основанія его $2,5\text{ m/m}$), но средняя часть пулансона, на которой находился направляющій конусъ, была плоской (см. фиг. 121). Означенный пулансонъ работалъ немного лучше преды-дущаго, рванины кромокъ отверстія были меныше, но рѣжущая кольце-вая кромка, вслѣдствіе сильного распора, быстро обломалась. Третій пу-лансонъ былъ изготовленъ съ угломъ заостренія у рѣжущихъ кромокъ 65° и съ значительной коничностью къ направляющему центру, и этотъ пулансонъ оказался въ работѣ плохимъ, давалъ рваныя отверстія и на-конецъ, вслѣдствіе сильного центральнаго давленія, самъ разрушился (см. фиг. 121). Лучшій результатъ во всѣхъ отношеніяхъ получился для пулансона того же діаметра съ среднимъ направляющимъ конусомъ, но съ угломъ у рѣжущихъ кромокъ равнымъ 87° . Такимъ образомъ, на основаніи послѣднихъ опытныхъ наблюденій можно заключить, что при-сутствіе направляющаго конуса у пулансона для уменьшенія деформацій пробиваемаго металла и для сохраненія самого пулансона необходимо; такой направляющій конусъ у пулансона способствуетъ болѣе равномѣр-ному распределенію давленія металла на стержень пулансона, ибо ме-талль во время своего истеченія въ періодъ продавливанія, подъ влія-ніемъ направляющаго конуса и общей коничности торцевой поверхно-сти послѣдняго, наиболѣе сильно перемѣщается сначала отъ центра

пуансона къ периферіи подъ дѣйствіемъ направляющаго конуса, а затѣмъ подъ вліяніемъ коничности рѣжущихъ кромокъ пуансона отъ периферіи къ центру, въ результатѣ чего наибольшее уплотненіе выдавливаемаго кружка металла происходитъ по нѣкоторой средней кольцевой поверхности, вслѣдствіе чего рѣжущія кромки пуансона находятся въ болѣе благопріятныхъ условіяхъ работы, и деформаціи продавливаемаго металла у кромокъ отверстія имѣютъ наименьшую величину. Зазоръ между пуансономъ и матрицей при послѣднихъ опытныхъ наблюденіяхъ былъ около $\frac{1}{2}$ mm.

Въ предыдущемъ мы рассматривали вопросъ объ измѣненіи структуры желѣза при различныхъ процессахъ механической обработки. Теперь постараемся освѣтить ту связь, которая въ дѣйствительности существуетъ между строеніемъ даннаго металла и его механическими свойствами. На тѣсную связь между механическими свойствами и структурой металла еще въ 1868 году указывалъ Д. К. Черновъ, который говорилъ, что „при производствѣ стальныхъ издѣлій всегда стремится получить зерно возможно мельче, въ особенности, если изготавляемые предметы должны имѣть большую вязкость и большое сопротивленіе, такъ какъ многочисленные опыты доказали, чѣмъ кристалличнѣе строеніе образца, чѣмъ кристаллы крупнѣе и правильнѣе, тѣмъ меньше оказывается сталь сопротивленіе разрыву, и тѣмъ меньше ея вязкость“.

Такъ какъ крупно кристаллическое строеніе различныхъ сортовъ желѣза наблюдается при нагрѣвѣ въ предѣлахъ критическихъ точекъ и выше ихъ, при условіи медленного и спокойнаго охлажденія послѣ такого нагрѣва, то на основаніи предыдущаго слѣдуетъ, что желѣзо послѣ подобной термической обработки не можетъ имѣть хорошихъ механическихъ свойствъ. Если же желѣзо со значительнымъ содержаніемъ углерода нагрѣто до интервала критическихъ точекъ и затѣмъ быстро охлаждено, то оно явно измѣняетъ свои механическія свойства, и это измѣненіе механическихъ свойствъ будетъ тѣмъ интенсивнѣе, чѣмъ выше температура нагрѣва, и чѣмъ большее содержаніе углерода въ немъ. Такой процессъ термической обработки углеродистаго желѣза извѣстенъ въ техникѣ подъ названіемъ закалки. Интенсивность степени закала зависитъ не только отъ химического состава данной стали, но и отъ условій производства самого процесса закалки. Такъ, на интенсивность закалки сильно вліяетъ температура нагрѣва испытуемаго тѣла, температура ванны, соотношеніе объемовъ занимаемыхъ образца и ванны, свойства закаливающей жидкости и цѣлый рядъ мелкихъ причинъ, иногда весьма трудно поддающихся учету. При закалкѣ сталь претерпѣваетъ внутреннее структурное измѣненіе, и вмѣстѣ съ тѣмъ сильно измѣняются и механическія свойства стали. При полной закалкѣ въ средѣ, быстро отнимающей тепло у стали, въ послѣдней задерживается высшая структурная форма ея аллотропическаго измѣненія аустенитъ (если содержаніе углерода больше 1,1 %) или мартенситъ; но если закаливаю-

щая среда слабо воспринимает тепло (масло) или сама значительно подогрѣта (расплавленный свинец), то въ испытуемомъ образцѣ фиксируется промежуточная структура: тростить или сорбитъ. Первый случай отвѣчаетъ закалкѣ въ водѣ или ртути и носитъ название полной закалки, а второй случай (въ маслѣ или свинцѣ),—называется иногда отрицательной закалкой. Процессъ закалки стали вообще сопровождается всегда появленіемъ внутреннихъ напряженій между частицами данного образца. Причину такихъ внутреннихъ напряженій можно объяснить слѣдующимъ образомъ: образецъ при закалкѣ охлаждается неравномерно. Внутренняя часть его еще сохраняетъ тепло, когда верхняя оболочка уже охлаждена. Поэтому внутренняя часть бываетъ сжата наружною, которая стремится расшириться. Подобную картину легко провѣрить на опытѣ: для этого достаточно длинный и закаленный прутъ разрѣзать по длини его пополамъ, и сейчасъ же будетъ наблюдаться замѣтное искривленіе половинокъ его, какъ слѣдствіе указанныхъ выше внутреннихъ напряженій. Подобные опыты были произведены Howe⁵⁾ и Barba⁶⁾. Внутреннее напряженіе иногда при закалкѣ достигаетъ столь значительныхъ размѣровъ, что образецъ послѣ закалки лопается или легко ломается. Величину внутреннихъ напряженій можно значительно уменьшить, подвергнувъ образецъ послѣ закалки медленному нагрѣву (отжигу) при температурахъ между 200—600°, при чёмъ хрупкость и твердость стали, подъ влияниемъ такого отжига, уменьшаются, но вмѣстѣ съ тѣмъ увеличивается и вязкость. Подобный отжигъ, надо полагать, возстановливаетъ нарушенное равновѣсіе между частицами металла и тѣмъ ослабляетъ величину внутреннихъ напряженій между частицами данного образца.

Твердость закаленной стали увеличивается съ содержаниемъ главнымъ образомъ углерода и растетъ съ температурою нагрѣва. Такъ, если для опыта взять длинный стальной прутъ и нагрѣвъ его для закалки производить съ одного конца, то наибольшую твердостью будетъ обладать данный образецъ послѣ закала въ мѣстѣ наивысшаго нагрѣва; при чёмъ и изломъ даннаго образца послѣдовательно измѣняетъ свою структуру отъ крупнокристаллическаго до мелко-зернистаго, находящагося въ мѣстѣ наивысшей температуры.

По вопросу объ измѣненіи механическихъ свойствъ различныхъ сортовъ углеродистаго желѣза при различныхъ процессахъ термической обработки, въ томъ числѣ и закалкѣ, были произведены весьма обстоятельный опытныя изслѣдованія Бринеллемъ⁷⁾, предпринятые имъ на заводѣ Фогорста и представленные этимъ заводомъ на Парижской выставкѣ 1900 г.

⁵⁾ Howe. The Metallurgy of Steel. S. 51.

⁶⁾ Тагбевъ. Однородность рельсъ. Стр. 101.

⁷⁾ Тагбевъ. Однородность рельсъ. Стр. 188.

Всѣ испытанные образцы, числомъ 403, подраздѣляются на 4 группы. Въ каждую группу входятъ по нѣсколько серій образцовъ различнаго содержанія углерода.

| | |
|--------------------|------------|
| Группа I | C = 0,84% |
| " II | C = 0,39% |
| " III | C = 0,20% |
| " IV | C = 0,09%. |

Образцы діам. 18 мм. были выточены изъ круглого жельза 32 мм., прокатанного съ одного нагрѣва изъ брусковъ $5\frac{1}{2}'' \times 5\frac{1}{2}''$, прокатанныхъ, въ свою очередь, изъ болванокъ $8'' \times 8''$ и $10'' \times 10''$.

Затѣмъ каждый сортъ стали, въ числѣ 13 образцовъ, подвергался 13 различнымъ способамъ обработки:

I. Безъ дальнѣйшей обработки (прокатка въ горячемъ состояніи).

II. Отжигъ при температурѣ: 350° , 750° , 850° , 1000° , 1100° и 1200° .

III. Закалка въ водѣ $+ 20^\circ$,

| | |
|------------------------------|-------------|
| температура закала | 750° |
| а) безъ отпуска | |
| б) съ отпускомъ до | 350° |
| в) съ отпускомъ до | 550° |
| г) съ отпускомъ | 650° |

Тоже закалка въ водѣ $+ 20^\circ$.

| | |
|------------------------------|-------------|
| температура закала | 850° |
|------------------------------|-------------|

Тоже закалка въ водѣ $+ 20^\circ$

| | |
|------------------------------|--------------|
| температура закала | 1000° |
|------------------------------|--------------|

Закалка въ маслѣ $+ 80^\circ$

температура закалки 850° и 1000° , а) безъ отпуска и съ отпускомъ до темп., б) 350° и в) 550° .

IV. Закалка въ свинцѣ $+ 550^\circ$

температура закалки 750° , 850° и 1000° . (См. таб. XXX).

Прежде всего обратимъ вниманіе на то обстоятельство, что закалка оказываетъ дѣйствительный эффектъ только съ 850° , температура 750° является еще недостаточна.

Въ этомъ случаѣ наибольшій эффектъ получилъ образецъ 0,09% С. Сопротивленіе его значительно увеличилось: на 60%, а удлиненіе уменьшилось на 40%.

Сопротивленіе же прочихъ группъ едва измѣнилось, нѣсколько увеличиваясь. Удлиненіе же:

Группы III уменьшились на 33%

II 14%

I увеличилось на 15%.

Если бы эти изменения зависели от превращения углерода и железа, то они шли бы в обратном порядке,—будучи наиболеем заменены для самой твердой стали, т. е. группы I, и наименее для образца $C=0,09\%$. Изменения для группы I скорее аналогичны эффекту уменьшения отжига, так как дают наибольшее увеличение и сопротивление, и удлинение. Все это указывает на то, что при 750° закалка—не действует, а получившаяся изменение следует приписать чисто физическим причинам,—возникающим при закалке внутренними напряжениями, действие которых к тому же совершенно уничтожается при повторном нагреве до 350° .

Полного действия закалка достигает при температурах 850° и 1000° , в одних случаях при первой, в других—при второй.

Сопротивление разрыву во всех случаях закалки повышается. Отпуск, как действие противоположное закалке, восстанавливает до некоторой степени свойства отожженной стали и выделяет в структуре из мартенсита железо α . Повышенное закалкой сопротивление обычно понижается, и кривые зависимости имеют вид нисходящих ветвей abc (фиг. 14а таб. XXVIII). Эти кривые имеют на первый взгляд аномальные ветви ad.

Присутствие ветвей ad не может быть объяснено влиянием элементов, от которых зависит эффект закалки, выражаемый ветвью abc, т. е. превращением углерода и железа и соответственно структуры. Под влиянием этих превращений, кривая abc должна быть продолжена далее по направлению ad', а кривые b₁, c₁ и b₂, c₂—по направлению к d₀ и d₁. Повидимому, некоторая неизвестная причина, проявляющаяся при закалке в воде, препятствует естественному ходу кривых abc и понижает сопротивление в很深ь большей степени, чем тверже сталь. Для образцов группы I это сопротивление падает до 0, для группы II до величины d, для группы III до d^{III}.

Образцы группы I из твердой стали при закалке в воде при 850° и 1000° получились настолько хрупкими, что не выдержали правки для исправления коробления, полученного при закалке, и лопнули. Только для самого мягкого сорта $C=0,09\%$ ветвь abc днем поднимается вверх. Таким образом, та же причина, которая в твердой стали понижает сопротивление по сравнению с сопротивлением просто отожженной стали (группа I), а в стали мягкой (группа III) и полутвердой (группа II) препятствует повышению—в самом мягком образце $C=0,09\%$ —повышает сопротивление.

Это явление может быть объяснено появлением, вследствие быстрого охлаждения, внутренних напряжений, в некоторых случаях уменьшающих сопротивление, а в некоторых случаях могущих повысить его.

Для более детального выяснения результатов опытных исследований Бриннеля инженер Тагбев дает ряд диаграмм, приведен-

ныхъ на таб. XXX, иллюстрирующихъ наглядно результатъ опытныхъ изслѣдований, но въ общемъ на основаніи только что приведенныхъ изслѣдований и данныхъ Howe⁸⁾ можно прійти къ заключенію, что закалка вообще повышаетъ сопротивленіе разрыву. Но въ томъ случаѣ, когда содержаніе углерода и быстрота охлажденія достигаютъ высшихъ предѣловъ, сопротивленіе разрыву при закалкѣ быстро падаетъ⁹⁾. Такъ по даннымъ Howe сталь съ содержаніемъ С=0,50% при закалкѣ въ водѣ увеличиваетъ сопротивленіе на 47%. Сталь съ содержаніемъ 0,75% С послѣ закалки отъ всякой температуры всегда даетъ понижение сопротивленія разрыву, которое послѣ весьма быстрой и сильной закалки можетъ быть даже сведено до нуля, т. е. образецъ разрушится самъ во время самого процесса погруженія въ закаливающую среду. Большое вліяніе оказываетъ на измѣненіе механическихъ свойствъ стали при закалкѣ та среда, въ которой производится процессъ закалки. Такъ, наибольшей интенсивности закалка достигается употребленіемъ для закаливающей ванны ртути, затѣмъ слѣдуетъ вода, масло, сало, дерево и, наконецъ, расплавленные металлы, какъ, напримѣръ, свинецъ.

Закалка въ маслѣ при всякомъ содержаніи углерода всегда даетъ повышеніе сопротивленія разрыву и увеличиваетъ предѣль упругости. При чемъ относительно измѣненія предѣла упругости стали при закалкѣ необходимо замѣтить слѣдующее, что предѣль упругости находится въ тѣсной связи съ сопротивленіемъ разрыву и при закалкѣ стали претерпѣваетъ тѣ же измѣненія, какъ и сопротивленіе на разрывъ.

Процентное удлиненіе стали при закалкѣ всегда уменьшается. Такъ изъ 81 примѣра данныхъ Howe удлиненіе при закалкѣ въ водѣ уменьшилось на 63%, въ маслѣ на 45%.

Дѣйствіе отжига на углеродистое желѣзо вообще обратно дѣйствію закалки. Опытныя изслѣдованія Бриннеля доказываютъ, что вліяніе отжига начинается сказываться даже при температурѣ 350°, при которой уже замѣтно увеличеніе сопротивленія разрыву, удлиненія въ предѣлѣ упругости. При нагрѣвѣ отжига до 750°—замѣтно паденіе первоначального предѣла упругости и удлиненія, которые остаются все же выше первоначальныхъ свойственныхъ закаленной стали. Подобное паденіе механическихъ свойствъ стали при отжигѣ до 750° надо объяснить появлениемъ аллотропического измѣненія въ строеніи стали. Отжигъ до 1000° повышаетъ еще болѣе механическія свойства металла и особенно предѣль упругости. Дальнѣйшій отжигъ, вызывая крупную кристаллизацию металла, способствуетъ уменьшенію предѣла упругости и удлиненія, но сопротивленіе разрыву уменьшается весьма слабо; при чемъ общія величины этихъ механическихъ коэффициентовъ будутъ больше первоначальныхъ, свойственныхъ неотожженной стали. Такъ, изъ опыта

⁸⁾ Howe. The Metallurgy of Steel. S. 33.

⁹⁾ Howe. The Metallurgy of Steel. S. 33.

ныхъ изслѣдований Бриннеля слѣдуетъ, что равномѣрный отжигъ до 1000° слѣдуетъ образомъ улучшаетъ въ % качество стали¹⁰⁾:

| | Пределъ упругости. | Начало замѣтнаго растяженія. | Сопротивленіе разрыва. | Удлиненіе. |
|--------------------|--------------------|------------------------------|------------------------|------------|
| Группа I | 44 | 19 | 8 | 11 |
| " II | 44 | 20 | 2 | 12 |
| " III | 40 | 28 | 3 | 15 |
| " IV | 48 | 26 | 2 | 39 |

Изъ разсмотрѣнія различныхъ случаевъ закалки и отжига стали ясно замѣтна тѣсная связь между структурою испытываемаго металла и его механическими свойствами. Но съ другой стороны и обратно по кривой разрыва даннаго бруска при извѣстномъ навыкѣ можно получить представление о структурѣ испытываемаго бруска.

Несомнѣнно, что сопротивленіе разрыва зависитъ отъ силы сцѣплѣнія между зернами металла, или отъ сцѣплѣнія массъ самихъ зеренъ, если изломъ произойдетъ внутри послѣднихъ. Сила сцѣплѣнія пропорциональна величинѣ поверхности излома, которая будетъ тѣмъ болыше, чѣмъ мельче зерна. Такимъ образомъ, чѣмъ мельче зерно, тѣмъ выше предѣлъ упругости и тѣмъ большее разрывное усилие.

Разрывающее усилие въ началѣ испытанія, надо полагать, равномѣрно распредѣляется между всѣми элементами структуры испытуемаго образца, и всѣ элементы этой структуры въ относительно равной степени участвуютъ въ воспринятіи удлиненія и даютъ въ суммѣ общее удлиненіе бруска. До нѣкотораго предѣла нагрузки испытуемаго бруска наблюдается пропорциональность между удлиненіемъ и нагрузкoю бруска; слѣдовательно, въ этомъ предѣлѣ упругихъ измѣненій удлиненія основныхъ зеренъ даннаго металла и связующихъ ихъ веществъ между собою рваны. Въ мягкихъ сортахъ желѣза и стали основная масса структуры состоитъ изъ зеренъ феррита, и цементирующими слоемъ является перлитъ. При испытаніи брусковъ на разрывъ изъ мягкихъ сортовъ углеродистаго желѣза полное равенство получаемыхъ удлиненій между основными зернами структуры и ихъ цементирующими веществомъ наблюдается только до извѣстнаго предѣла, а затѣмъ зерна феррита начинаютъ получать замѣтно быстрое удлиненіе, безъ измѣненія нагрузкoи бруска по сравненію съ удлиненіемъ цементирующаго слоя, и на дiаграммѣ разрыва даннаго бруска получается характерный горизонтальный уступъ (см. фиг. 15 А. таб. XXV). Съ увеличенiemъ содержанія углерода въ испытуемомъ брускѣ, т. е. съ уменьшенiemъ

¹⁰⁾ Тагбевъ. Однородность рельсъ. Стр. 112.

самостоятельно существующаго структурнаго элемента феррита, постепенно пропадаетъ горизонтальный уступъ на діаграммахъ разрыва. По опытнымъ изслѣдованіямъ Charpy, этотъ горизонтальный уступъ въ діаграммѣ разрыва бруска совершенно исчезаетъ у стали съ содержаниемъ углерода 0,09 %, и кривая разрыва испытуемаго бруска становится болѣе крутой (см. черт. 15 В. таб. XXV). Чѣмъ больше будетъ содержать углерода испытуемый образецъ, тѣмъ больше у него будетъ самостоятельнаго выдѣлившагося перлита, и тѣмъ круче будетъ кривая разрыва бруска. Закалка стали способствуетъ уничтоженію зеренъ феррита и перлита съ образованіемъ мартенсита, при чёмъ и кривая разрыва для такой стали весьма близка къ прямой съ изломомъ. (См. фиг. 15 С. таб. XXV). Отжигъ подобной стали способствуетъ появленію или переходныхъ элементовъ, тростита и сорбита, или первоначальной структуры съ преобладаніемъ перлита. Въ результатѣ діаграмма разрывныхъ усилий для отожженного бруска стали не будетъ имѣть излома, а будетъ имѣть крутой поворотъ (изображено пунктиромъ) (фиг. 15 С. таб. XXV).

Такимъ образомъ, по характеру діаграммы разрывныхъ усилий испытуемаго образца можно съ большой долей вѣроятности опредѣлить его главные структурные элементы,—ферритъ, перлитъ и мартенситъ.

Раньше мы рассматривали вопросъ объ измѣненіи структуры желѣза при прокаткѣ, ковкѣ и волоченіи и замѣтили, сильное измѣненіе структуры металла при подобной механической обработкѣ, но такъ какъ тѣсная связь между структурою металла и его механическими свойствами несомнѣнно существуетъ, то естественно предполагать и сильное вліяніе механической обработки указаннаго типа на механическія свойства металла. Для опредѣленія этой зависимости производились неоднократно опытныя изслѣдованія. Такъ, Фернбернъ¹¹⁾ приводитъ испытанія, произведенныя Клейемъ на желѣзодѣлательномъ заводѣ „Mersey Steel Works“, которые состояли въ томъ, что одно и т о же желѣзо проваривалось и прокатывалось послѣдовательно нѣсколько разъ. Нѣсколько милбарсовъ № 1 сваривались вмѣстѣ и прокатывались, изъ полученнаго милбарса № 2 составлялся пакетъ, сваривался и снова прокатывался и т. д.

По испытаніи каждого изъ прокатанныхъ №№ получились слѣдующіе коэффиціенты крѣпости:

| Милбарсъ № 1 — 30,8 | Милбарсъ № 5 — 40,3 | Милбарсъ № 9 — 40,3 |
|---------------------|---------------------|---------------------|
| ” 2 — 37,1 | ” 6 — 43,4 max. | ” 10 — 38,0 |
| ” 3 — 41,8 | ” 7 — 41,8 | ” 11 — 36,5 |
| ” 4 — 41,8 | ” 8 — 40,3 | ” 12 — 30,8 |

¹¹⁾ Фербертъ. Желѣзо, стр. 251.

А. Гаврилэнко. Механическая технологія. Стр. 80.

Наибольшій коэффиціентъ крѣпости получился при 6-ой прокаткѣ, затѣмъ началъ уменьшаться.

Такимъ образомъ, послѣдовательныя проварки и прокатки желѣза увеличиваютъ коэффиціентъ крѣпости до известнаго предѣла, а потомъ онъ начинаетъ уменьшаться..

Такое же вліяніе на крѣпость желѣза оказываетъ и ковка. Она уплотняетъ металлъ и повышаетъ его живое сопротивленіе. Вслѣдствіе этого, мелкія детали, которыя могутъ быть прокованы лучше, имѣютъ большую прочность, чѣмъ крупныя. Въ крупныхъ же деталяхъ на поверхности металлъ лучше прокованъ, и потому онъ здѣсь всегда прочнѣе, чѣмъ внутри. Такъ, напр., на американскомъ пароходѣ *Dolphin* сломался на пробномъ плаваніи валъ. Образцы, вырѣзанные изъ вала, при испытаніи, дали слѣдующіе результаты:

| | Предѣлъ упр. крѣп. на \square мм. | Коэффиціентъ крѣпости на \square мм. | Удлиненіе %. |
|-------------------------------|-------------------------------------|--|--------------|
| Изъ центра вала | 23,9 | 37,9 | 2 |
| Съ поверхности вала | 22,5 | 56,2 | 18 |

У стали при ковкѣ коэффиціентъ крѣпости измѣняется не такъ сильно. По опытаамъ Беклена на заводѣ Baldwin Locomotive Works, въ Филадельфіи, надъ литой сталью получились слѣдующіе результаты:

| | Коэффиціентъ крѣпости кгр. на \square мм. | Удлиненіе %. | Изломъ. |
|--|---|--------------|-------------------------|
| Болванка съ кв. сѣчен. 125 мм. въ стороны. | 35,7 | 13 | Кристаллическій. |
| Болванка прокованная до толщины 180 мм. | 35,6 | 16 | Частью кристаллическій. |
| То же до 145 мм.. | 34,7 | 18 | |
| " " 125 " | 35,0 | 20 | Шелковистый. |
| " " 100 " | 35,1 | 22 | |

Изъ таблицы видно, что коэффиціентъ крѣпости измѣняется мало, но вязкость металла, а слѣдовательно, и живое сопротивленіе сильно возрастаетъ.

По опредѣленію измѣненія механическихъ свойствъ металла при холодной обработкѣ тоже неоднократно производились опытныя изслѣдованія. Такъ, Консiderе¹²⁾ приводить слѣдующія данныя, характеризующія, до нѣкоторой степени, вліяніе холодной обработки:

¹²⁾ M. Considerés. L'emploi du fer et de l'acier. Стр. 118.

| | Предѣль упруг. кгр. на \square мм. | Коэффи- циентъ крѣ- пости кгр. на \square мм. | Удлиненіе. |
|--|--|--|------------|
| Очень мягкая сталь | 25,3 | 42,5 | 26,5 |
| То же, пресс. гидр. пресс. 6 тоннъ на \square сант. | 35,7 | 44,6 | 17,0 |
| Сталь для судостроенія. | 29,6 | 52,5 | 18,0 |
| То же, прокатанная въ холодномъ состояніи отъ 16 до 9 45 мм.. . . | 42,3 | 54,5 | 11,5 |
| Желѣзный листъ. | 22,8 | 37,4 | 15,0 |
| То же, прокатанный въ холодномъ состояніи отъ 8 до 7,1 мм. . . . | 41,6 | 46,9 | 7,0 |

Какъ видно изъ этой таблицы, коэффиціентъ крѣпости измѣняется не очень значительно, предѣль же упругости повышается очень сильно, но вмѣстѣ съ этимъ уменьшается вязкость.

Холодная прокатка примѣняется въ большихъ размѣрахъ въ Соединенныхъ Штатахъ Сѣверной Америки для выработки приводныхъ валовъ. Главнымъ образомъ подобной обработкѣ подвергается самое чистое, мягкое, пудлинговое желѣзо.

Многочисленныя изслѣдованія проф. Торстона¹³⁾ надъ обработаннымъ такимъ образомъ желѣзомъ привели его къ слѣдующимъ заключеніямъ.

Крѣпость при растяженіи увеличивается отъ 25% до 40%, крѣпость при изгибѣ на 50—80%.

Предѣль упругости повышается на 80—125%.

Живое упругое сопротивленіе значительно увеличивается.

Полное живое сопротивленіе, однако, уменьшается до 50%, такъ что увеличеніе упругости и крѣпости получается за счетъ вязкости; поэтому прокатанное въ холодномъ состояніи желѣзо примѣнимо только въ тѣхъ случаяхъ, когда напряженія материала не могутъ выйти изъ предѣла упругости.

Кромѣ указанныхъ измѣненій, холодная прокатка сообщаетъ желѣзу гладкую, блестящую поверхность, совершенно свободную отъ окалины. Желѣзо можетъ быть прокатано съ болышой точностью въ размѣрахъ (на заводѣ Johnes and Laughlins Pittsburgh), валы прокатываются съ точностью до 1/1000", не требуя дальнѣйшей обработки.

Изъ разсмотрѣнія вышеизведенныхъ таблицъ ярко замѣтно влияніе на механическія свойства желѣза общихъ условій механической обработки, но съ другой стороны механическія свойства желѣза весьма сильно измѣняются съ измѣненіемъ его химического состава, а посему

¹³⁾ Thorston. Report on cold-rolled iron and steel. Pittsburgh 1878.

Юптнеръ для выраженія коэффиціента разрыва даетъ такую формулу:

$$R = A + \frac{2}{3} C. + \frac{2}{7} L + \frac{1}{7} M_r,$$

гдѣ А—величина, зависящая отъ обработки,—коэффиціентъ обработки. Необходимо замѣтить, что эта формула даетъ только приблизительные результаты, ибо въ ней не принято во вниманіе % содержаніе другихъ элементовъ, какъ-то: фосфора, сѣры, хрома и др.,—замѣтно измѣняющихъ механическія свойства желѣза ¹⁴⁾.

Хотя формула Юптнера и имѣеть приблизительный характеръ, но при примѣненіи ея на практикѣ, она вполнѣ подтверждаетъ многія наблюденія техники. Такъ, по опредѣленію инженера А. Бабошина, изъ значительного количества разсмотрѣнныхъ имъ рельсъ, проработавшихъ на пути, оказывается, что лучшими качествами отличались тѣ рельсы, у которыхъ коэффиціентъ механической обработки былъ наибольшій. А. Бабошинъ ¹⁵⁾) разсмотрѣнные имъ рельсы дѣлить на три группы:

I группа—рельсы, снятые съ пути, безъ всякихъ поврежденій послѣ долголѣтней службы.

II группа—рельсы со смятыми головками и износившіеся.

III группа—рельсы лопнувшіе въ пути и съ трещинами.

Результаты наблюденій инженера Бабошина сведены въ слѣдующую таблицу:

| № рельсовъ. | Сопротивленіе разрыва и предѣлъ упругости. | | Отношеніе предѣла упругого тензора къ сопротивленію разрыва въ %. | | Коэффиціентъ обработки А. | | |
|----------------|--|-------------------|---|-------------------|---------------------------|-------------------|-------------|
| | Верхъ головки. | Середина головки. | Верхъ головки. | Середина головки. | Верхъ головки. | Середина головки. | |
| 14—2 | 83—31 | 83—33 | 37 | 40 | 24 | 24 | |
| 15—3 | 70—34 | 70—32 | 49 | 46 | 22 | 22 | |
| 28—1 | 70—29 | 56—33 | 42 | 59 | 25 | 30 | Изъ I гр. |
| 36—3 | 80—27 | 82—36 | 33 | 44 | 28 | 11 | |
| Среднія | 76—30 | 73—34 | 40 | 47 | 25 | 22 | |
| 10—2 | 73—26 | 74—28 | 36 | 38 | 13 | 18 | |
| 20—2 | 74—27 | 74—34 | 37 | 46 | 18 | 18 | |
| 22—4 | 70—29 | 69—31 | 42 | 44 | 17 | 17 | Изъ II гр. |
| 25—5 | 70—23 | 73—19 | 33 | 26 | 16 | 18 | |
| Среднія | 72—26 | 73—28 | 37 | 38 | 17 | 18 | |
| 20—1 | 81—36 | 82—38 | 44 | 47 | 22 | 22 | |
| 21—2 | 74—29 | 71—32 | 39 | 45 | 28 | 27 | |
| 21—4 | 66—38 | 68—34 | 58 | 50 | 12 | 13 | |
| 26—4 | 72—33 | 50—45 | 46 | 89 | 11 | (—11) | Изъ III гр. |
| 29—1 | 83—31 | 69—35 | 37 | 50 | 28 | 14 | |
| Среднія | 75—35 | 68—37 | 45 | 56 | 20 | ? | |

¹⁴⁾ См. Металлические сплавы. Т. Тихоновъ. 2-е изд. 1910 г.

¹⁵⁾ Изслѣдованіе рельсовой стали. Извѣст. Инотит. Путей Сообщ. 1906 г. Ст. 3.

Такимъ образомъ, лучшими качествами отличались тѣ рельсы, у которыхъ коэффиціентъ механической обработки достигалъ наибольшей величины, въ среднемъ для первой группы рельсъ—25.

Въ рельсахъ II группы (смятыхъ) коэффиціентъ обработки значительно понижается, въ среднемъ до 17.

Всѣ рельсы, испытанія которыхъ приведены въ таблицѣ, довольно близки по химическому составу (С около 0,5 и Mn около 1%) и имѣютъ одинаковое крупное зерно перлита въ структурѣ. Среднее отношеніе предѣла упругости къ сопротивленію разрыва для средины головки у рельсъ II-й группы (сминаемыхъ)—38%, а то же отношеніе для хордъ рельсъ первой группы равно 47%, и подобная зависимость предѣла упругости съ коэффиціентомъ разрыва находится въ тѣсной связи съ ранѣе приведенными значеніями коэффиціента механической обработки. Только у рельсъ III-й группы, хрупкихъ, ломавшихся раньше срока мы не видимъ такой зависимости коэффиціента механической обработки, предѣла упругости и коэффиціента разрыва, при чёмъ для нѣкоторыхъ изъ нихъ отношеніе предѣла упругости къ сопротивленію разрыва превышаетъ таковое же для 1-й группы, а отсюда необходимо предположить, что основная причина недоброкачественности рельсъ III-й группы кроется въ случайныхъ причинахъ побочного характера, сопровождавшихъ или производство рельсъ (мѣстная закалка, нѣправильное охлажденіе на стелюгахъ, неоднородность нагрѣва и проч.) или же въ причинахъ, проявившихся во время службы рельса въ пути и ненормально измѣнившихъ временное сопротивленіе разрыва въ срединѣ головки рельса.

Весьма интересны по результатамъ изслѣдованія рельсовой комиссіи Министерства Путей Сообщенія¹⁶⁾ по вопросу о связи между структурой рельсовъ и ихъ службой въ пути. Общія заключенія по этому вопросу означенной комиссіи таковы:

а) Рельсы, хорошо служившіе въ пути (пропускавшіе много грузовъ и снятые безъ всякихъ поврежденій) подъ микроскопомъ имѣютъ мелкозернистое строеніе.

б) Рельсы плохіе, снятые въ пути всѣдствіе смятія, обладаютъ крупнозернистымъ строеніемъ.

с) Рельсы хрупкіе, лопнувшіе въ пути послѣ прохода небольшого количества грузовъ, также очень часто обладаютъ крупнозернистымъ строеніемъ.

По вычисленіямъ инженера Бабошина средняя величина зерна для доброкачественныхъ, прослужившихъ долго и снятыхъ съ пути безъ замѣтныхъ поврежденій, въ среднемъ была равна $0,0019 \text{ mm}^2$; средняя же величина плохихъ, крупнозернистыхъ рельсовъ равнялась $0,0195 \text{ mm}^2$ ¹⁷⁾.

¹⁶ и ¹⁷⁾ Изслѣдованіе рельсовой стали. Извѣстія Механической Лабораторіи Института Инженеровъ Путей Сообщенія. 1906 Стр. 239—246

Такое заключение рельсовой комиссии не является новымъ въ технике, ибо аналогичные выводы были неоднократно сдѣланы и раньше¹⁸⁾) и явно вытекаютъ изъ ранѣе цитированного нами общаго положенія Д. К. Чернова относительно зависимости качествъ обработанной стали отъ структуры послѣдней.

Въ свою очередь та же комиссия замѣтила, что крупная кристаллизация стали наиболѣе свойственна сминаемымъ рельсамъ съ низкимъ предѣломъ упругости, а такое совмѣстное соединеніе этихъ двухъ факторовъ есть явный признакъ плохой механической обработки.

На основаніи ранѣе разсмотрѣнной общей картины измѣненія структуры желѣза при прокаткѣ мы невольно приходимъ къ заключенію, что для полученія мелкаго зерна у обрабатываемаго металла необходимо прокатку его окончить возможно ниже по температурѣ, но въ извѣстныхъ предѣлахъ послѣдней, когда не наступило еще замѣтное разслоеніе между зернами металла, но съ другой стороны температура окончанія прокатки не должна быть выше или близкой къ той критической (точка „b“ Чернова), при которой прерывается прямая пропорциональность величины зерна отъ температуры нагрѣва. Но такъ какъ положеніе критическихъ точекъ, при которыхъ наблюдается ярко замѣтный ростъ величины зерна отъ температуры нагрѣва, весьма сильно зависитъ отъ химического состава желѣза, а именно положеніе критическихъ точекъ тѣмъ выше, чѣмъ чище желѣзо, то отсюда слѣдуетъ, какъ важно въ каждомъ частномъ случаѣ знать положеніе критическихъ точекъ и сообразно съ этимъ выбирать температуру окончанія прокатки. Такъ раньше было указано, что марганецъ сильно понижаетъ положеніе критическихъ точекъ и совмѣстно съ углеродомъ суживаетъ интервалъ критическихъ точекъ, то отсюда явно слѣдуетъ, что марганцовистые рельсы, для полученія мелкой кристаллизации, необходимо прокатывать значительно низшей температурѣ, чѣмъ рельсы, содержащіе мало марганца.

Не вдаваясь особенно подробно въ опредѣленіе положенія предѣльныхъ точекъ окончанія прокатки для полученія мелкозернистаго продукта, весьма хорошаго по своимъ механическимъ свойствамъ,—я позволю себѣ привести двѣ выдержки изъ писемъ въ выше названную Рельсовую Комиссию весьма извѣстныхъ инженеровъ практиковъ г. Артура Юза и г. Ясюковича, Директора Распорядителя Южно-Русскаго Металлургическаго О-ва¹⁹⁾.

Въ письмѣ г. Юзъ указываетъ на то, что высокое качество стальныхъ рельсовъ болѣе ранней выдѣлки объясняется низкой температурой, при которой оканчивалась тогда прокатка; это обстоятельство было слу-

¹⁸⁾ R. Sob. „Steel rails: relations between structure and durability“ The Metallographist. 1902. № 3.

¹⁹⁾ Изслѣдованіе рельсовой стати. Извѣстія Механической Лабораторіи Института Инженеровъ Путей Сообщенія. 1906. Стр. 304 и 308.

чайнымъ слѣдствіемъ того, что при переходѣ отъ желѣзныхъ рельсовъ къ прокаткѣ стальныхъ рельсовъ заводы вынуждены были пользоваться прежними слабыми машинами. Въ виду сего прокатка шла медленно, а температура, при которой рельсъ оставлялъ валки, была значительно ниже той, которая наблюдается при прокаткѣ на современныхъ сильныхъ машинахъ. Прокатка при низкой температурѣ сопровождается образованіемъ мелкаго зерна. Прокатка при высокой температурѣ— вызываетъ образованіе крупнаго зерна; величина же зеренъ существенно вліяетъ на сопротивленіе рельса изнашиванію.

Далѣе указывается, что процессъ Кеппа, практикуемый въ Америкѣ для перекатки рельсовъ тяжелыхъ типовъ, изъятыхъ изъ службы вслѣдствіе износа, въ болѣе легкій типъ,—вполнѣ подтверждаетъ этотъ взглядъ; при перекаткѣ при низкой температурѣ зерно получается всегда мельче. Съ тою же цѣлью практикуется въ Америкѣ приемъ Кенне ди-Моррисона, состоящій въ томъ, что передъ проходомъ послѣднихъ валковъ, рельсы задерживаются на особо устроенныхъ траверсахъ, пока не достигаютъ низкой температуры.

Г. Ясюковичъ въ своемъ письмѣ высказываетъ слѣдующіе взгляды: Какъ изъ результатовъ изслѣдованій, произведенныхъ комиссіей такъ и изъ раб. гъ инженера Миллера на баварскихъ дорогахъ, выяснилось съ очевидностью, что между продолжительностью службы рельсовъ въ пути, ихъ химическимъ составомъ и механическимъ испытаніемъ рельсовъ и ихъ образцовъ—ясной и непосредственной связи не имѣется. Не смотря на постоянныя измѣненія техническихъ условій приемки рельсовъ, какъ у насъ, такъ и за-границей, оказалось невозможнымъ предупредить приемку и укладку рельсовъ неудовлетворительныхъ въ путевой службѣ. Признавая безусловно, что долженъ существовать механическій контроль для того, чтобы не могли попадать на службу завѣдомо негодные рельсы, инженеръ Ясюковичъ полагаетъ, что благодаря постоянству употребляемыхъ въ передѣлку матеріаловъ—химическій составъ рельсовой стали не долженъ быть предоставленъ контролю. Но такъ какъ съ другой стороны опытами дознано, что мелкозернистая сталь съ высокимъ предѣломъ упругости при возможно меньшемъ отношеніи сопротивленія разрыву къ предѣлу упругости лучше сопротивляется износу и вообще обладаетъ лучшими и болѣе надежными механическими качествами, чѣмъ крупнозернистая сталь съ низкимъ предѣломъ упругости и съ высокимъ отношеніемъ сопротивленія разрыву къ предѣлу упругости, то все вниманіе и контроль должны быть обращены на эти обстоятельства. Эта цѣль достигается путемъ надлежащей механической и главнымъ образомъ термической обработки возможно плотныхъ (безъ пузырей и усадочныхъ раковинъ) стальныхъ болванокъ. Полученіе плотныхъ болванокъ, по мнѣнію инженера Ясюкова, не представляется трудной задачей. Равнымъ образомъ, чѣмъ полно механическая обработка касается различныхъ частей болванокъ—тѣмъ одно-

образнѣе и совершеннѣе будетъ строеніе металла. Но для получения мелкозернистой стали необходима еще соответствующая термическая обработка. Оказывается, что нагрѣтая сталь обладаетъ тремя критическими точками, при переходѣ черезъ которыхъ путемъ охлажденія или нагреванія—сложеніе стали подвергается перестройкѣ съ выдѣленіемъ или поглощеніемъ теплоты. Для мягкой стали съ содержаніемъ углерода менѣе 0,2%—эти критическія точки 860°, 740°, 650° по Цельзію, для рельсовой стали, содержащей 0,45—0,55% углерода, три критическія точки сливаются въ одну и лежатъ около 700—725° Ц. Слѣдовательно, если окончить прокатку выше критической температуры, то рельсъ, охлаждаясь до температуры воздуха, долженъ пройти черезъ свою критическую точку и здѣсь подвергнуться перестройкѣ сложенія. Эта перестройка сопровождается увеличеніемъ зернистости стали. Поэтому необходимо окончить прокатку ниже извѣстной температуры; въ такомъ случаѣ строеніе стали при охлажденіи уже не измѣняется, и зерно останется такимъ, какимъ оно получено при имѣющейся въ нашемъ распоряженіи переработкѣ металла. Такимъ образомъ, рѣшающее значеніе получаетъ заканчиваніе прокатки при температурѣ около 700° Ц.

Далѣе г. Ясюковичъ выясняетъ—какимъ образомъ слѣдуетъ организовать производство, чтобы рельсы выходили изъ вальцовъ при низкой температурѣ, и какъ обставить контроль, чтобы рельсы выходили изъ вальцовъ при надлежащей температурѣ.

Что касается первого вопроса, то въ настоящее время существуетъ два метода, которыми достигается выходъ рельса изъ послѣднихъ ручьевъ достаточно охлажденнымъ. Первый способъ, американский, Кенне-ди—Маррисона, состоитъ въ задержкѣ рельсовой полосы передъ послѣднимъ ручьемъ для того, чтобы она остывала до надлежащей температуры. Этотъ способъ, примѣнявшійся еще въ 1887 г. на Путиловскомъ заводѣ, не требуетъ никакихъ особыхъ устройствъ и можетъ быть примѣненъ на любомъ заводѣ при условіи, чтобы надлежащая температура рельса до пропуска черезъ послѣдній ручей контролировалась какимъ-либо широметромъ.

Однако, г. Ясюковичъ находитъ, что методъ этотъ не настолько цѣлесообразенъ, чтобы его можно было рекомендовать нашимъ заводамъ, и по слѣдующимъ соображеніямъ.

Измѣненіе строенія находится въ тѣсной зависимости отъ степени механической обработки. Въ послѣднемъ ручье металлъ обжимается очень слабо, не болѣе чѣмъ на 5%; такого слабаго обжима недостаточно, чтобы повлиять на измѣненіе на значительную глубину строенія стали, которое получалось во время охлажденія отъ температуры выше критической; обжимъ въ послѣднихъ ручьяхъ влияетъ на измѣненіе строенія головки на глубину не болѣе 3—6 мм. Всего лучше это подтверждаютъ опыты St. Martin'a въ Англіи. Въ одномъ случаѣ рельсъ былъдержанъ на $1\frac{3}{4}$ минуты передъ проходомъ послѣднаго ручья, а во вто-

ромъ случаѣ онъ былъ задержанъ на двѣ минуты до впуска въ первый ручей и съ пропускомъ затѣмъ безостановочно черезъ всѣ ручьи. Въ первомъ случаѣ микрофотографіи строенія стали, взятой изъ середины головки и въ разстояніи 3 мм. отъ поверхности, показали, что центръ головки имѣетъ крупнозернистое строеніе, а вблизи поверхности головки—мелкозернистое. Во второмъ-же случаѣ—мелкозернистое строеніе было обнаружено, какъ въ срединѣ головки, такъ и около поверхности. Такимъ образомъ, американскій пріемъ Кеннеди-Моррисона не обезпечиваетъ необходимаго мелкозернистаго строенія головки. Поэтому надлежитъ рельсовую болванку пускать въ прокатку при такой температурѣ, чтобы она выходила изъ послѣдняго ручья въ видѣ рельса съ температурой ниже критической, и, слѣдовательно, контроль надъ рациональной термической обработкой долженъ быть перенесенъ съ конца на начало прокатки. Температура болванокъ, поступающихъ въ прокатку, должна измѣряться какимъ-либо пирометромъ, и наиболѣе практическими оказываются для сего свѣтовые (оптическіе) пирометры Wan-ne'a, Hase, Mesuré и Nowl-Lejeune и проч.

Перегрѣва болванокъ можно избѣжать, отказавшись отъ подогрѣва ихъ, что достигается пропускомъ болванокъ черезъ колодцы Gjers'a.

Что же касается сорбитнаго способа обработки матеріаловъ, заключающагося въ мѣстномъ охлажденіи (закалкѣ) рельсовыхъ головокъ, то его, по словамъ г. Ясюковича, не слѣдуетъ рекомендовать заводамъ, такъ какъ Stead, предложившій этотъ пріемъ заявилъ, что хорошие результаты получались только при обработкѣ малыхъ образцовъ; при обработкѣ же длинныхъ образцовъ удовлетворительные результаты не достигались.

Въ концѣ своего письма г. Ясюковичъ вскорь критикуетъ сорбитный способъ изготошенія рельсъ, который состоитъ въ томъ, что рельсъ, вышедши изъ прокатки, погружается головкою въ воду, вслѣдствіе чего сперва происходитъ закалка, а затѣмъ отпускъ стали отъ имѣющейся въ головкѣ теплоты, вслѣдствіе чего головка рельса получаетъ сорбитную структуру. Подобный способъ полученія рельсъ съ весьма твердой, но и вязкой головкой былъ предложенъ S. Stead и W. Richards²⁰) и по своимъ результатамъ полученія закалки головки стали вполнѣ напоминаетъ закалку стали въ маслѣ, но въ виду чисто практическихъ затрудненій, а именно, невозможности полученія равномѣрной закалки головки рельса, широкаго распространенія это изготошеніе рельсовъ не получило. Но нельзя отрицать полезности сорбитнаго способа въ примененіи къ предметамъ кованымъ, обработку которыхъ Stead для означенной цѣли предлагаетъ вести слѣдующимъ образомъ: нагрѣвъ предметъ до температуры нѣсколько выше A_3 , до возможно полнаго превращенія углерода, необходимо предметъ охладить на воздухѣ или при-

²⁰⁾ Journal of Iron and Steel Inst. 1903. p. II. стр. 66.

мо закалить, а затѣмъ отжечь до температуры ниже Ar_3 и охладить на воздухѣ²¹⁾.

Механическія преимущества сорбитной структуры видны изъ слѣдующаго сопоставленія двухъ образцовъ:

| | Пределъ упругости kkg | Сопротивле- ніе разрыву kkg. | Удлиненіе % |
|---|--------------------------|------------------------------------|----------------|
| Нагрѣвъ въ 1150° и охлажденіе въ печи (перлитовая структура) . . . | 39,901 | 81,162 | 17 |
| Нагрѣвъ до 1150° и охлажденіе на воздухѣ (сорбитовая структура) . . . | 53,260 | 99,979 | 12 |

Таково измѣненіе механическихъ свойствъ средней по твердости стали при обработкѣ ея сорбитнымъ способомъ.

Такимъ образомъ наши предыдущія разсужденія объ измѣненіи структуры металла при прокаткѣ и о зависимости механическихъ свойствъ металла отъ структуры послѣдняго приводятъ насъ къ общему заключенію, что для сообщенія хорошихъ механическихъ свойствъ данному металлу необходимо прокатку и горячую обработку его оканчивать при опредѣленной температурѣ. Благотворное вліяніе этой температуры на механическія качества желѣза доказано рядомъ лабораторныхъ изслѣдованій и признано извѣстными лицами, стоящими во главѣ большихъ промышленныхъ предприятій. На заводахъ, изготавлиющихъ отвѣтственные предметы прокаткой (рельсы) организуется тщательный контроль за нагрѣвомъ прокатываемыхъ болванокъ, при чёмъ въ большинствѣ случаевъ нагрѣвъ болванки для прокатки производится за одинъ приемъ, и прокатка рельса производится за одинъ нагрѣвъ. Строго наблюдается температура не только окончанія прокатки, но и начальный нагрѣвъ болванки, такъ какъ сильно перегрѣтая болванка, вслѣдствіе своей крупной кристаллизациі, не можетъ дать хорошаго рельса и во время самой прокатки не успѣеть достаточно охладиться. Для полученія равномѣрнаго нагрѣва болванокъ нагрѣвъ ихъ производятъ въ томильныхъ колодцахъ, чаше всего съ дополнительнымъ отопленіемъ.

Температура окончанія прокатки должна находиться въ критическомъ интервалѣ и ни въ коемъ случаѣ не должна быть близкой къ температурѣ, названной Д. К. Черновымъ точкой „b“, когда желѣзо замѣтно легко принимаетъ крупно-кристаллическое строеніе съ прекращеніемъ прямой пропорціональности между температурою нагрѣва и величиною зерна.

²¹⁾ The Iron and Steel Metal. 1904. № 2.

Въ данное время нерѣдко при получении весьма отвѣтственныхъ за-казовъ заводоуправлениѣ получаетъ довольно широкія указанія относи-тельно химического состава (въ смыслѣ отклоненія отъ одной опредѣленной нормы химического состава), но съ другой стороны строгія, опредѣленные условія механическихъ испытаній, которыхъ сводятся главнымъ образомъ къ опредѣленію предѣла упругости, какъ основно-го показателя результатовъ механической обработки желѣза.

Для контроля за температурою прокатки рельсовъ, кроме обычныхъ термоэлементовъ и свѣтовыхъ пирометровъ, въ послѣднее время начинаютъ употреблять особый магнитный приборъ, основанный на томъ свой-ствѣ, что сталь выше критической точки не магнитна и приобрѣтаетъ это свойство только ниже этой критической точки. Такой приборъ да-етъ возможность автоматически сортировать рельсы на прокатанные вы-ше критической точки и ниже ея, т. е. на рельсы съ крупно и мелко-зернистымъ строеніемъ. Этотъ способъ можетъ со временемъ оказаться весьма полезнымъ при производствѣ рельсовъ, но съ конструктивной стороны онъ пока еще мало разработанъ. Такимъ образомъ, не отри-цая большого вліянія химического состава желѣза на его механическія свойства ²²⁾, надо признать, что условія механической обработки имѣ-ютъ громадное вліяніе на измѣненіе механическихъ свойствъ желѣза.

Подъ вліяніемъ механической обработки элементы одного и того же профиля получаютъ различную структуру и различные механическія свойства. Такимъ образомъ желѣзо послѣ прокатки выходитъ изъ ручья валковъ структурно не однороднымъ по сѣченію, и для иллюстраціи по-добной картины раньше нами было разсмотрѣно сѣченіе рельса. Неодно-родность структуры находится въ прямой зависимости отъ сложности прокатываемаго профиля, но съ другой стороны, надо полагать, что неод-нородность металла сильно зависитъ и отъ промежуточныхъ профилей калибровъ, на что необходимо обратить усиленное вниманіе при калиб-ровкѣ валковъ.

Итакъ, въ зависимости отъ сложности изготавляемаго профиля же-лѣзо послѣ прокатки по одному и тому же сѣченію является структур-но не однороднымъ, но кроме этого оно и поступаетъ въ профиля ка-либровочныхъ валковъ и проходитъ ихъ химически неоднороднымъ, подъ вліяніемъ ликваціи металла въ болванкахъ, на что ясно указываетъ хи-мический анализъ рельсовъ, сдѣланный инженеромъ Бабошинымъ ²³⁾ и приведенный въ слѣдующей таблицѣ:

²²⁾ Болѣе цѣлробно о вліяніи химическихъ элементовъ на механическія каче-ства желѣза разобрано во II главѣ „Металлическіе Справки“ Т. Тихоновъ. 1910 г.

²³⁾ Издѣлованіе рельсовой стали. Извѣстія Механической Лабораторіи Инсти-тута Инженеровъ Путей Сообщенія. Стр. 6.

| № № рельсовъ. | Углеродъ общій С об. | | Углеродъ крбидный Ск' | | Углеродъ закала С зак. | | Фосфоръ Р. | | Кремній Si. | |
|---------------|------------------------|-------------------------|------------------------|-------------------------|------------------------|-------------------------|------------------------|-------------------------|------------------------|-------------------------|
| | На поверх. головки. | Въ серединѣ головки. |
| 14—2 | 0,605 | 0,736 | 0,264 | 0,236 | 0,341 | 0,500 | — | — | — | — |
| 22—6 | 0,604 | 0,718 | 0,295 | 0,310 | 0,309 | 0,408 | — | — | — | — |
| 13—1 | 0,400 | 0,418 | 0,086 | 0,082 | 0,314 | 0,336 | 0,094 | 0,112 | — | — |
| 9—4 | 0,304 | 0,386 | 0,209 | 0,327 | 0,095 | 0,059 | 0,107 | 0,144 | — | — |
| 9—3 | 0,373 | 0,582 | 0,195 | 0,373 | 0,178 | 0,209 | 0,101 | 0,209 | — | — |
| 14—7 | 0,210 | 0,310 | — | — | — | — | — | — | — | — |
| 22—1 | 0,255 | 0,268 | — | — | — | — | 0,247 | 0,230 | — | — |
| 22—7 | — | 0,290 | — | — | — | — | 0,185 | 0,165 | 0,224 | 0,201 |
| 19—4 | — | 0,160 | — | — | — | — | — | — | 0,485 | 0,489 |
| 22—5 | 0,350 | 0,410 | — | — | — | — | — | — | — | — |
| 14—5 | 0,355 | 0,370 | — | — | — | — | — | — | — | — |
| 20—4 | 0,273 | 0,360 | — | — | — | — | — | — | — | — |
| 37—1 | 0,250 | 0,380 | — | — | — | — | — | — | — | — |

Изъ нея можно усмотрѣть, что количество общаго углерода всегда меньше на поверхности головки, чѣмъ въ серединѣ ея, при чемъ разница иногда весьма значительная.

Для уничтоженія замѣтныхъ вліяній ликваціи желѣза принимается рядъ предосторожностей при изготавленіи металла и самихъ болванокъ изъ него, а у готовыхъ болванокъ нерѣдко отрѣзаются верхнюю треть, не употребляя ея для изготавленія отвѣтственныхъ профилей. Химическій составъ желѣза несомнѣнно вліяетъ на структуру его элементовъ, слѣдовательно, основная цѣль современаго инженера практика дать химически неоднородному желѣзу, поступающему въ прокатку, путемъ измѣненія условій механической обработки одинаковое структурное строеніе (мелкозернистое) по сѣченію профиля (иногда весьма сложной формы) является весьма трудной задачей, и для достижениѳ этой цѣли необходимо принять не только цѣлый рядъ указанныхъ выше мѣръ предосторожности въ смыслѣ точнаго опредѣленія температуры начала и конца прокатки, но необходимо и въ дальнѣйшемъ по окончаніи прокатки металла поставить его въ такія условія, чтобы металлъ не имѣлъ бы возможности менять свою структуру. Металлъ покидаетъ послѣдній ручей калибровочныхъ валковъ съ значительно высокой температурой нагрѣва, вслѣдствіе чего способенъ принимать мѣстный закалъ, если только мѣстныя условія благопріятствуютъ этому, а посему необходимо дать возможность горячимъ готовымъ профилямъ (полосамъ) медленно и равномерно охладиться, защищая ихъ для этого отъ случайныхъ сквозняковъ и мѣстныхъ охлажденій. Устройство особыхъ

помѣщеній, предназначенныхъ для равномѣрнаго охлажденія горячихъ полосъ послѣ прокатки, особенно необходимо рекомендовать для мѣстностей съ рѣзкими колебаніями температуры.

Горячій готовый профиль (полоса) послѣ прокатки при остываніи даже въ весьма благопріятныхъ условіяхъ въ смыслѣ равномѣрности охлажденія его, вслѣдствіе неравномѣрности распределенія массы металла по сѣченію и неравномѣрности охлажденія частей профиля въ калибровочныхъ валкахъ,—всегда по охлажденіи въ холодномъ состояніи является покоробленнымъ по длине. Для уничтоженія подобныхъ коробленій приходится сообщать профилю (полосѣ) остающіяся деформаціи въ холодномъ состояніи путемъ ударовъ кувалдами или путемъ особыхъ нажимныхъ механизмовъ. Производство такихъ остающихся деформаций всегда сопровождается нарушеніемъ ранѣе полученной структуры металла и вызываетъ появление дополнительныхъ внутреннихъ напряженій, порой весьма вредно вліяющихъ на механическія качества металла. Для уничтоженія только что указанныхъ вредныхъ вліяній холодной правки готовыхъ полосъ, необходимо подобное исправленіе вести въ горячемъ состояніи, когда частицы металла еще довольно эластичны; затѣмъ для уничтоженія величины коробленія полосы необходимо послѣдней въ горячемъ состояніи сейчасъ же послѣ окончанія прокатки при помощи особыхъ приспособленій (опытнымъ путемъ изготавленныхъ шаблоновъ или подвижныхъ механизмовъ) давать кризину обратную той, которую получаетъ холодная полоса, вслѣдствіе вышеуказанныхъ причинъ; въ послѣднемъ случаѣ размѣръ холодной правки и ея вредныя послѣдствія могутъ быть сведены до *minimum*.

Заканчивая обзоръ измѣненія структуры желѣза при горячей обработкѣ необходимо отмѣтить еще одинъ интересный фактъ, замѣченный Charpy²⁴⁾ и провѣренный Le Châtelier²⁵⁾ и заключающійся въ томъ, что сталь при наклепкѣ при температурѣ 600—700° С обнаруживаетъ склонность къ крупной кристаллизации, вслѣдствіе чего она, будучи отожжена при этой температурѣ, дѣлается очень хрупкой. Склонность наклепанного металла къ крупной кристаллизации Le Châtelier иллюстрируетъ на образцахъ штампованный аллюминіевой посуды, которая начала подвергаться перерожденію. Въ послѣднихъ образцахъ авторъ замѣтилъ зернистое строеніе, особенно ярко замѣтное по сосѣдству съ мѣстомъ начавшагося перерожденія. Наблюденій подобнаго же характера, иллюстрирующихъ то явленіе, что наклепанные металлы вообще, а въ томъ числѣ и желѣзо находятся въ структурно неустойчивомъ равновѣсіи, поэтому достаточно незначительного толчка (температуры или химического воздействиія), чтобы вызвать переходъ въ устойчивое состояніе съ появленіемъ явной кристаллизации,—въ послѣднее время сдѣ-

²⁴⁾ R. de M  tall. 1910. 655.

²⁵⁾ R. de M  tall. 1911. № 4. 364.

лано достаточно²⁶⁾), но считать затронутый вопросъ вполнѣ исчерпанымъ еще невозможнo.

Объ измѣненіи структуры желѣза при холодной обработкѣ можно составить вполнѣ опредѣленное представлениe по ранѣе разсмотрѣнной картинѣ измѣненія структуры желѣза при волоченіи, ибо общій характеръ этой картины не мѣняется для большинства случаевъ холодной обработки; измѣненіе механическихъ свойствъ желѣза при холодной обработкѣ иллюстрируется ранѣе приведенными таблицами опытныхъ наблюденій; но для полноты общей картины измѣненія структуры желѣза въ холодномъ состояніи необходимо сказать нѣсколько словъ объ измѣненіи структуры желѣза подъ вліяніемъ повторныхъ нагрузокъ. Надъ послѣднимъ вопросомъ работало много экспериментаторовъ, такъ въ 1858 г. Велерь по порученію прусскаго правительства предпринялъ рядъ опытовъ надъ дѣйствиемъ повторительныхъ нагрузокъ, а въ 1871 г. опубликовалъ результаты своихъ наблюденій. По даннымъ Велера слѣдуетъ, что число повторительныхъ нагрузокъ, которыя можетъ выдержать испытываемый образецъ, увеличивается по мѣрѣ того, какъ величина нагрузокъ уменьшается, но кромѣ этого число нагрузокъ зависитъ не отъ одной только ихъ абсолютной величины, но также и отъ предѣловъ, между которыми измѣняются эти нагрузки.

Подъ дѣйствиемъ повторительныхъ нагрузокъ желѣзо и сталь могутъ быть разрушены, даже въ томъ случаѣ, если каждая изъ отдѣльныхъ нагрузокъ не въ состояніи разорвать металла. Но съ другой стороны всегда существуетъ известная величина напряженія, повтореніе которой металлъ можетъ выдержать произвольно большое число разъ.

Дальнѣйшиe опыты, произведенныe Бекеромъ и Баушингеромъ, вполнѣ подтвердили общія заключенія изъ изслѣдованій Велера. Интересенъ тотъ фактъ, что металлъ подъ дѣйствиемъ повторительныхъ нагрузокъ не теряетъ своей крѣпости и вязкости, такъ, разрушенные повторительными нагрузками образцы при испытаніяхъ на разрывныхъ машинахъ обнаруживаютъ свою прежнюю крѣпость и вязкость. Нужно допустить, что разрушающее дѣйствіе повторительныхъ нагрузокъ распространяется на весьма тонкій, наиболѣе слабый слой поперечнаго сѣченія, по которому металлъ разрывается съ явнымъ развитіемъ кристаллизациіи. Такое соображеніе вполнѣ подтверждается тѣмъ фактомъ, что при повторительныхъ нагрузкахъ желѣзо и сталь рвутся безъ всякихъ удлиненій, совершенно какъ хрупкіе металлы.

Такая же картина излома нерѣдко наблюдается при поломкѣ вагонныхъ осей, бандажей и т. п. предметовъ, и причина такихъ изломовъ, въ большинствѣ случаевъ, надо полагать, кроется въ вліяніи на металлъ повторительныхъ нагрузокъ.

²⁶⁾ Журналъ Русскаго Металл. О—ва. 1910. Ст. 979.

Причину такого разрушения металла подъ дѣйствiемъ повторительныхъ нагрузокъ можно объяснить слѣдующимъ образомъ: желѣзо, какъ мы видѣли раньше, подъ вліяніемъ механической обработки всегда имѣть несколько повышенный предѣлъ упругости, величина которого и опредѣляется на разрывныхъ машинахъ для расчета различныхъ деталей машинъ. Дѣйствiе повторительныхъ нагрузокъ, какъ показали опытныя изслѣдованія Баушингера²⁷⁾, стремится понизить этотъ искусственно приподнятый предѣлъ упругости и привести его къ естественной величинѣ, при которой дѣйствующая нагрузка даетъ въ наиболѣе слабыхъ мѣстахъ по сѣченію работающей машинной детали толчекъ къ образованіи явной кристаллизации, слѣдствiемъ чего является мѣстное ослабленіе силы сцѣпленія зеренъ металла (ибо величина ихъ возросла) и поломка самой детали. Цѣлымъ рядомъ опытовъ Баушингеръ старался опредѣлить естественную величину предѣла упругости и получилъ ее для желѣза равной 12,6 klg. на кв. мм., а для мягкой стали 14,9 klg. на кв. мм., величины весьма близкія къ тѣмъ, которые были даны ранѣе Велеромъ, какъ безопаснѣя напряженія для производства большого числа повторительныхъ нагрузокъ.

Итакъ, резюмируя основныя положенія изъ всего вышесказанного, мы приходимъ къ слѣдующимъ заключеніямъ:

1) Углеродистое желѣзо при условiи весьма медленнаго охлажденія послѣ плавленія способно принимать явно-кристаллическую форму. Наиболѣе часто углеродистое желѣзо кристаллизуется въ формѣ октаэдра и значительно рѣже въ формѣ куба. При наличiи всѣхъ вышеприведенныхъ условiй наиболѣе ярко выраженные формы кристаллизации у углеродистаго желѣза наблюдаются при содержаніи углерода около 2%. Углеродистое желѣзо способно въ нѣкоторыхъ случаяхъ воспринимать кристаллическое строеніе даже при весьма быстромъ охлажденіи отъ высокихъ температуръ и при существованіи виныхъ условiй, стѣсняющихъ образованіе кристалловъ.

2) При отсутствiи весьма медленнаго охлажденія и подъ вліяніемъ усилiй механической обработки частицы углеродистаго желѣза не могутъ выдѣлиться въ видѣ ярко выраженныхъ кристаллическихъ формъ, а пріобрѣтаютъ овальныя, но въ большинствѣ случаевъ отчетливо выраженные контуры.

3) При постепенномъ нагрѣваніи растетъ величина отдѣльныхъ зеренъ у углеродистаго желѣза. Первое замѣтное измѣненіе величины зеренъ у углеродистаго желѣза появляется около 300°. Мягкое желѣзо, нагрѣтое до послѣдней температуры и обработанное при ней, имѣть не только болѣе крупную кристаллизацию по сравненiю съ сырымъ, но нагрѣтымъ металломъ, но обладаетъ и болѣею хрупкостью съ значи-

²⁷⁾ Ueber die Veränderung der Elasticittsgrenze. Mittheilungen aus dem Mechanisch. Laboratorium in Mnchen Heft. XIII. 1886.

тельнымъ уменьшениемъ вязкости. Послѣднее свойство мягкаго желѣза,—измѣнить свою структуру и механическія свойства самого металла, известно въ техникѣ подъ названіемъ: „синяго нагрѣва“. Температура синяго нагрѣва мягкаго желѣза близка къ 300° С, но измѣненіе механическихъ свойствъ металла зависитъ не только отъ температуры синяго нагрѣва, но отъ механической обработки металла при этой температурѣ, подъ влияніемъ которой и происходитъ характерное измѣненіе механическихъ свойствъ самого металла. Измѣненіе роста зеренъ мягкаго желѣза при синемъ нагрѣвѣ не сопровождается замѣтнымъ выдѣленіемъ или поглощеніемъ тепла, вслѣдствіе чего не удается зарегистрировать эту характерную точку, пользуясь услугами пиromетра.

4) При дальнѣйшемъ плавномъ нагрѣваніи при температурѣ выше 600° углеродистое желѣзо замѣтно измѣняетъ свое внутреннее строеніе, при чмъ такое измѣненіе структуры желѣза сопровождается замѣтнымъ измѣненіемъ тепла и легко регистрируется пирометромъ подъ названіемъ критическихъ точекъ Ar_1 , Ar_2 и Ar_3 . Первая изъ критическихъ точекъ Ar_1 соответствуетъ началу (при нагрѣвѣ) аллотропическихъ измѣненій частицъ желѣза, а именно переходу частицъ $Fe\alpha$ въ $Fe\beta$; вторая Ar_2 —переходу частицъ $Fe\beta$ въ $Fe\gamma$ и третья точка Ar_3 —соответствуетъ концу аллотропическихъ измѣненій указанного характера. Положеніе вышеназванныхъ критическихъ точекъ у углеродистаго желѣза сильно зависитъ отъ содержанія углерода въ послѣднемъ, а именно: Ar_1 для болѣе мягкихъ сортовъ желѣза почти совсѣмъ не замѣтно, для болѣе же твердыхъ достигаетъ значительной величины. Помѣрѣ увеличенія содержанія углерода въ желѣзѣ положеніе критическихъ точекъ Ar_1 и Ar_2 приближается къ положенію точки Ar_3 , и въ твердыхъ сортахъ стали нерѣдко всѣ три точки совпадаютъ. Чѣмъ больше содержитъ желѣзо углерода, тѣмъ ниже по температурѣ положеніе критическихъ точекъ. Однаково съ углеродомъ на положеніе критическихъ точекъ дѣйствуетъ и марганецъ. Положеніе критическихъ точекъ для одного и того же сорта желѣза при нагрѣваніи будетъ всегда нѣсколько выше, чѣмъ при охлажденіи, и эта разница будетъ тѣмъ замѣтнѣе, чѣмъ выше первоначальный нагрѣвъ желѣза, отъ которого происходитъ наблюдалосье охлажденіе.

5) Величина отдѣльныхъ зеренъ углеродистаго желѣза при нагрѣвѣ постепенно растетъ, но наиболѣе интенсивный ростъ зеренъ желѣза начинается съ началомъ появленія критической точки Ar_1 . Величина отдѣльныхъ зеренъ углеродистаго желѣза находится въ прямой зависимости отъ температуры нагрѣва, и, по мнѣнію Howe, каждой данной температурѣ соответствуетъ опредѣленная величина зерна; если существуетъ зерно болѣе нормального для данной температуры, то оно не возвращается вновь къ нормальной величинѣ. Прямая пропорціональность между величиной зерна желѣза и соотвѣтствующей температурой нагрѣва существуетъ только до извѣстнаго предѣла нагрѣва; въ предѣ-

лахъ до 1000° С для мягкихъ и среднихъ сортовъ желѣза по твердости (по содержанию углерода); при дальнѣйшемъ нагрѣвѣ зерно желѣза растетъ быстрѣе соотвѣтствующаго прироста температуры нагрѣва, вслѣдствіе чего желѣзо быстро переходитъ въ стадію крупной кристаллизации, съ появлениемъ плохихъ механическихъ свойствъ у металла.

6) Причина роста зеренъ желѣза при нагрѣваніи кроется въ диффузіи веществъ между соседними зернами (кристаллами) черезъ пленку связующей ихъ эвтектики. Сама же диффузія послѣдняго характера появляется вслѣдствіе неодинаковой ориентировки осей кристалловъ (зеренъ), благодаря чему частицы двухъ смежныхъ кристалловъ неодинаково растворяются въ связующей ихъ эвтектике, въ результатѣ чего появляется одностороннее давленіе и поступательное перемѣщеніе частицъ одного кристалла (зерна) въ сторону другого, при чмъ послѣдній начинаетъ расти за счетъ первого.

7) При продолжительномъ нагрѣваніи при температурѣ около $640—670^{\circ}$ С въ структурѣ углеродистаго желѣза замѣчается явленіе коалесценціи, т. е. взаимное перемѣщеніе и притяженіе частицъ себѣ подобныхъ. Подъ вліяніемъ коалесценціи при продолжительномъ нагрѣваніи и охлажденіи эвтектической стали въ критическомъ интервалѣ происходитъ полное обосбленіе структурныхъ элементовъ, и наблюдается, по выражению Osmond'a, картина структурного равновѣсія.

8) При высокомъ сварочномъ нагрѣвѣ механическія усилія прокатки весьма слабо измѣняютъ величину зеренъ желѣза, которая, главнымъ образомъ, зависитъ отъ температуры нагрѣва. При дальнѣйшемъ пониженіи температуры нагрѣва и подъ вліяніемъ механическихъ усилій прокатки, замѣтно сильное измѣненіе формы и величины зерна желѣза; сначала зерна вытягиваются по направлению прокатки, и затѣмъ происходитъ ихъ дѣленіе на части вдоль прокатки подъ дѣйствіемъ боковыхъ давленій, какъ результата дѣйствія прокатныхъ валковъ. Величина зеренъ прокатываемаго желѣза не остается одинаковой по площади сѣченія ручьевъ прокатки, а именно: для первыхъ ручьевъ прокатки при болѣе высокой температурѣ нагрѣва площадь зерна у поверхности ручья меныше таковой у центра сѣченія ручья. Въ послѣдніхъ ручьяхъ прокатки наблюдается обратная картина,—зерна желѣза у поверхности ручья крупнѣе, нежели у середины послѣдняго. Причина первого явленія заключается въ томъ, что подъ вліяніемъ быстраго охлажденія валкомъ горячаго металла съ поверхности зерна металла сохраняютъ ту величину, которую они получили послѣ механической обработки, не успѣвъ драсті до нормальной величины (по температурѣ) вслѣдствіе быстраго охлажденія. Между тѣмъ зерна средины прокатываемыхъ первыхъ ручьевъ подъ вліяніемъ высокой температуры нагрѣва успѣваютъ увеличить свою величину, слѣдя ранѣе указанному закону о нормальной величинѣ зерна для каждой температуры. Въ послѣдніхъ же ручьяхъ прокатываемаго желѣза при болѣе низкихъ температурахъ

нагрѣва зерна съ поверхности ручья, вслѣдствіе охлажденія валками и механическихъ усилій послѣднихъ, становятся болѣе устойчивыми и сохраняютъ свою ранѣе полученную форму; между тѣмъ какъ зерна съ средины послѣднихъ ручьевъ, имѣя большую температуру нагрѣва по сравненію съ поверхностными, подъ вліяніемъ механической вытяжки валковъ сильно дробятся и измѣняютъ свою величину.

9) Величина зеренъ желѣза не является постоянной для всѣхъ точекъ съченія готоваго профиля, а весьма сильно мѣняется съ характеромъ измѣненія рельефа самаго профиля. Въ мѣстахъ наибольшаго съченія разматриваемаго профиля величина зеренъ также имѣеть большую величину, и, наоборотъ, въ тонкихъ съченіяхъ профиля зерна имѣютъ менышую величину, и на формѣ ихъ весьма сильно замѣтно вліяніе механическихъ усилій прокатки. Быстрое и неравномѣрное охлажденіе металла послѣ прокатки только увеличиваетъ неравномѣрность величины зерна по профилю, и обратно—спокойное и равномѣрное охлажденіе металла послѣ прокатки способствуетъ возстановленію равномѣрности величины зерна.

10) При волоченіи величина зеренъ обрабатываемаго желѣза въ поперечномъ съченіи профиля уменьшается. Присутствіе высокаго напряженія при растяженіи вліяетъ на удлиненіе зеренъ. Сильное поперечное сжатіе матеріала вызываетъ раздѣленіе зеренъ по ихъ длине, образуя сначала шейки. Размѣры зеренъ по величинѣ неодинаковы для всего поперечнаго съченія. Величина ихъ возрастаетъ отъ средней части къ периферіи, вслѣдствіе различія въ сопротивляемости. Различная сопротивляемость зеренъ и сила тренія о глазокъ вызываетъ скольженіе внутренніхъ волоконъ относительно наружныхъ, служа причиной разслаиванія матеріала.

11) При штампованиі сильное измѣненіе формы и расположенія зеренъ желѣза наблюдается въ обрабатываемомъ концѣ предмета, при чёмъ стержень послѣдняго обычно сохраняетъ ту структуру, которую онъ имѣетъ при предшествующей обработкѣ (прокаткѣ или волоченіи). Продольное расположение волоконъ, свойственное стержню обрабатываемаго предмета въ срединѣ головки, мѣняется на извилистое съ расщепленіемъ зеренъ и съ замѣтнымъ образованіемъ трещинъ. Величина зеренъ сильно мѣняется въ различныхъ мѣстахъ головки, при чёмъ въ мѣстѣ окончанія ствола остается нетронутой шаровидная часть, зерна которой по сравненію со стволовъ стержня почти не измѣнились, но отсюда уже наблюдается волокнистый переходъ къ боковымъ частямъ головки. Наружная поверхностная часть головки, какъ верхняя часть, соприкасавшаяся со штампомъ, такъ и опорная плоскость снизу имѣютъ болѣе мелкозернистое строеніе. Часть же между шаровой выпуклостью и поверхностнымъ слоемъ является какъ-бы сплюснутой. На величину зеренъ и на общій характеръ ихъ деформацій имѣеть громадное вліяніе температура обработки и характеръ самой обработки. Чѣмъ

температура обработки выше, и чѣмъ плавнѣе производится самое деформированіе обрабатываемаго тѣла, тѣмъ однороднѣе структура обработаннаго конца, и меньше трещинъ между отдѣльными зернами въ головкѣ.

12) При кузнечныхъ горячихъ поковкахъ овальныя зерна обрабатываемаго куска желѣза приобрѣтаютъ клинообразную форму съ направленіемъ продольной оси зерна согласно дѣйствія вѣтвей ударныхъ усилій, при чѣмъ наблюдается и дѣленіе отдѣльныхъ зеренъ на болѣе мелкія части.

13) При рѣзаніи и пробиваніи отверстій наблюдается характерное деформированіе раздѣляемыхъ кромокъ металла, при чѣмъ при рѣзаніи величина этихъ деформацій бываетъ толщиною около 1 m/m , а при пробивкѣ отверстій около $\frac{1}{10}$ толщины обрабатываемаго предмета. На величину деформацій при пробиваніи отверстій оказываетъ замѣтное вліяніе форма пуансона и величина зазора между послѣднимъ и матрицей, а именно: при величинѣ указаннаго зазора въ предѣлахъ отъ $\frac{1}{2}$ до 1 m/m деформаціи обрабатываемаго металла имѣютъ наименьшую величину, но пуансонъ при соблюденіи величины послѣдняго зазора долженъ имѣть средній направляющій конусъ и рѣжущія кромки, съ угломъ близкимъ къ 87° . Дополнительный отжигъ рѣзанныхъ кромокъ или пробитыхъ отверстій способствуетъ возстановленію зеренъ нарушенной структуры, а главное онъ, повидимому, способствуетъ отдѣленію деформированной части металла отъ здоровой.

14) Механическія свойства испытуемаго металла (желѣза) находятся въ тѣсной связи съ химическимъ составомъ и съ его структурой, которые въ свою очередь находятся въ тѣсной связи съ предшествующей термической и механической обработкой металла. По характеру кривой разрыва испытуемаго бруска съ большой долей вѣроятности можно судить о структурномъ строеніи бруска.

15) Послѣдовательная проварка и прокатка желѣза увеличиваютъ коэффиціентъ крѣпости послѣдняго до извѣстнаго предѣла, а потомъ онъ начинаетъ уменьшаться. Подобное же вліяніе оказываетъ на крѣпость желѣза и ковка, при чѣмъ для стали коэффиціентъ крѣпости при ковкѣ измѣняется слабѣе, нежели для желѣза. При холодной обработкѣ коэффиціентъ крѣпости измѣняется не очень значительно, предѣль же упругости повышается очень сильно, но вмѣстѣ съ тѣмъ уменьшается вязкость металла.

16) Наибольшою долговѣчностью службы отличаются тѣ издѣлія изъ углеродистаго желѣза, для которыхъ коэффиціентъ механической обработки имѣетъ наибольшую величину (по формулѣ Юптера).

17) Для полученія мелкозернистаго строенія, а, слѣдовательно, и для полученія углеродистаго желѣза съ хорошими механическими свойствами, необходимо горячую прокатку желѣза оканчивать при темпе-

ратурахъ ниже критического интервала (около 700° С) и во всякомъ случаѣ ниже той температуры, при которой происходит прекращеніе прямой пропорціональности между величиною зерна и соотвѣтствующей температурой нагрѣва. Для уничтоженія недочетовъ прокатки необходима правку профилей (полосъ) вести въ горячемъ состояніи.

Краткое описание атласа фототипий.

Таблица I.

Фиг. 1. Магнитный желѣзнякъ съ горы Благодать на Уралѣ. Явно кристаллическія формы магнитнаго желѣзняка найдены въ пустотахъ послѣдняго.

Фиг. 2. Часть наружной корки весьма медленно охлажденнаго сплава углеродистаго желѣза ($C=2,27\%$). Направление осей кристаллизации рельефно замѣтно у средины куска, причемъ къ периферии послѣдняго оси кристаллизации постепенно пропадаютъ.

Фиг. 3. Концы осей кристаллизации на наружной верхней коркѣ углеродистаго сплава желѣза № 1 ($C=1,8\%$, $Si=0,30\%$, $Mn=0,15\%$, $Ph=0,026$, $S=0,022\%$. См. стр. 6).

Фиг. 4. Шлифъ съ сѣченія кристалла Д. К. Чернова, причемъ направление сѣченія шлифа перпендикулярно главной оси кристалла. Содержаніе углерода въ желѣзѣ указаннаго кристалла равно 0,78%.

Таблица II.

Фиг. 5. Кристаллы углеродистаго желѣза, полученный Д. К. Черновымъ въ усадочной пустотѣ 100 t болванки мягкой стали. Отливка этой болванки была произведена въ металлическую изложницу, на которой находилась земляная форма для прибыльной части. Вслѣдствіе незначительной теплопроводности земляныхъ стѣнокъ прибыли металлъ застыть въ ней весьма медленно; въ усадочной пустотѣ прибыли этой болванки были найдены Д. К. Черновымъ отчетливые кристаллы углеродистаго желѣза, и наиболыший изъ нихъ изображенъ на фиг. 5. Кристаллы двойной, причемъ длина большого кристалла достигаетъ 39 ст., вѣсъ же— $8\frac{1}{2}$ ф.

Таблица III.

Фиг. 6. Шлифъ изображаетъ сѣченіе одного изъ кристалловъ Д. К. Чернова по направлению перпендикулярному длиной оси кристалла. На полѣ шлифа отчетливо замѣтно выдѣленіе феррита (бѣлыхъ полосы), окруженного перлитомъ. Выдѣленія феррита содержать довольно значительное количество шлаковъ, механически въ нихъ замѣшанныхъ (черныя пятна на бѣлыхъ полосахъ феррита).

Фиг. 7. Шлифъ изображаетъ съченіе сплава № 5, приготовленнаго Н. Бѣляевымъ на Путиловскомъ заводѣ. Направленіе съченія шлифа перпендикулярно наружной коркѣ. На шлифѣ зерна феррита (бѣлые полосы) окружены зернами перлита. Химическій составъ указанного сплава былъ таковъ: 0,62% C; 0,51% Si; 0,14% Mn; 0,024% Ph и 0,019% S. Сплавъ былъ приготовленъ въ щамотномъ тиглѣ и послѣ плавленія охлаждался весьма медленно (приблизительно около 60 час.).

Фиг. 8. Шлифъ изображаетъ съченіе сплава № 8, приготовленнаго на Ижевскомъ заводѣ при условіи весьма медленнаго охлажденія (углерода въ сплавѣ 0,55%). Бѣлые полосы на шлифѣ—ферритъ, а темные—перлитъ.

Приимѣчаніе. Фототипіи фиг. 2, 3, 4, 5, 6, 7 и 8 заимствованы изъ атласа книги Н. Т. Бѣляева „Кристаллизация, структура и свойства стали при медленномъ охлажденіи“.

Фиг. 9 и 10. Видманштетовая структура метеоритовъ. Параллелограммы, прямоугольники и треугольники названной структуры отчетливо видны на приведенныхъ шлифахъ.

Фиг. 11. Шлифъ изображаетъ внутреннее строеніе одного изъ кристалловъ магнитнаго желѣзняка отъ куска, изображенаго на фиг. 1.

Таблица IV.

Фиг. 12. Чугунъ съ содержаніемъ 3,35% C; 0,28% Si и 0,41% Mn при среднемъ по быстротѣ охлажденіи. Цементитъ (бѣлые полосы на шлифѣ) выдѣлился въ плоскостяхъ спайности кристалловъ.

Фиг. 13. Шлифъ изображаетъ строеніе аустенита, причемъ бѣлые поля на шлифѣ—аустенитъ, а темные полосы на нихъ—мартенситъ,—продуктъ начавшагося распаденія аустенита.

Фиг. 14. Изображаетъ строеніе мартенсита при большомъ увеличеніи. Признаки строенія Видманштетовой структуры на фиг. 11, 12, 13 и 14 отчетливо замѣтны.

Фиг. 15. Изображаетъ строеніе мягкаго ковкаго желѣза. Зерна феррита на шлифѣ имѣютъ овальную форму и цементированы между собою перлитомъ, а черныя полосы представляютъ остатки шлаковъ.

Фиг. 16. Шлифъ изображаетъ строеніе мягкой литой стали, причемъ зерна имѣютъ предыдущую овальную форму, но связующій ихъ элементъ (перлитъ—черная масса на шлифѣ), вслѣдствіе большаго содержанія углерода по сравненію съ предыдущимъ мягкимъ желѣзомъ, занимаетъ на шлифѣ большую площадь.

Фиг. 17. Инструментальная сталь средней твердости. Перлитовая масса шлифа (темные поля на шлифѣ) равномерно пронизана сѣткою (бѣлою) изъ феррита. Сталь безъ термической обработки, содержитъ углерода около 0,46%.

Таблица V

Фиг. 18. Шлифъ изображаетъ строеніе богатой по содержанію углерода стали томлянки. Зерна перлита имѣютъ явно волокнистое строеніе, и въ качествѣ связующаго ихъ элемента выдѣлился цементитъ, твердая зеркальная (блѣлая) поверхность котораго отчетливо выражена на фототипії.

Фиг. 19. изображаетъ строеніе томасовскаго чугуна послѣ отжига въ теченіе 108 часовъ въ древесномъ углѣ. Строеніе цементита (блѣлыя поля на шлифѣ) отчетливо выдѣляется среди волокнистыхъ зеренъ перлита. Темныя вкрапленія на шлифѣ принадлежать углероду отжига. Шлифы фиг. 18 и 19 имѣютъ рельефную полировку.

Фиг. 20 и 21. Оба шлифа представляютъ строеніе котельного жалѣза, причемъ второй шлифъ изображаетъ строеніе этого жалѣза послѣ обработки при „синемъ нагрѣвѣ“, а первый—безъ обработки. На второмъ шлифѣ—рельефно замѣтно увеличеніе зеренъ феррита послѣ обработки котельного жалѣза при „синемъ нагрѣвѣ“ по сравненію съ строеніемъ того же жалѣза въ необработанномъ видѣ.

Фиг. 22 и 23 изображаютъ измѣненіе въ строеніи мягкаго, ковка- го жалѣза послѣ продолжительного нагрѣва его въ кузничномъ горнѣ въ теченіе 4 и 5 дней, причемъ ежедневно горнъ работалъ около 8 часовъ. По мѣрѣ увеличенія продолжительности указаннаго нагрѣва овальныя зерна феррита растутъ по величинѣ, на поверхности ихъ и между ними (темныя пятна на шлифѣ) появляются скопленія окисловъ жалѣза.

Таблица VI.

Фиг. 24. Шлифъ изображаетъ с. речѣ предыдущаго мягкаго, ковка- го жалѣза послѣ нагрѣва его въ кузничномъ горнѣ въ продолженіе 7 дней по 8 часовъ ежедневно. Зерна феррита (блѣлыя овальныя пятна на шлифѣ) замѣтно выросли по величинѣ. Окисленіе металла по сравненію съ предыдущимъ сильно увеличилось, и окислы жалѣза располагаются въ видѣ мощнѣхъ (черныхъ) сплошныхъ полосъ. Прямолиней- ное расположение окисловъ жалѣза можно объяснить тѣмъ, что окисле- ніе металла наиболѣе интенсивно распространялось по наиболѣе слабымъ мѣстамъ его,—по слѣдамъ сѣма мелкихъ остатковъ отъ шла- ковъ, выдавленныхъ изъ металла и каткѣ по направлению послѣд- ней.

Фиг. 25, 26, 27 и 28 изображаютъ строеніе инструментальной стали средней твердости (углерода 0,95 %) при послѣдовательной термиче- ской обработкѣ. У сырой стали (фиг. 25) зерна перлита (темныя пятна на шлифѣ) тѣсно связаны цементитомъ (блѣлая сѣтка на шлифѣ). При нагрѣвѣ до 700° С цементитовая сѣтка начинаетъ постепенно про- падать (фиг. 26), и зерна перлита нѣсколько измѣняютъ свое строеніе;

при дальнѣйшемъ нагрѣвѣ въ концѣ критического интервала зерна перлита и цементита совмѣстно образуютъ новую аллотропическую форму—мартенситъ, иглы котораго отчетливо видны на фиг. 27. Наконецъ, фиг. 28 изображаетъ строеніе той же стали при пережогѣ, причемъ сталь явно приобрѣтаетъ Видманштетову структуру.

Фиг. 29. изображаетъ строеніе мягкаго литейнаго чугуна при обычномъ охлажденіи. Ферритовая эвтектика чугуна (бѣлая масса на шлифѣ) изобилуетъ выдѣленіемъ графита (черныя щели на шлифѣ).

Таблица VII

Фиг. 30. Фототипія даетъ ясную картину измѣненія въ строеніи мягкаго литейнаго чугуна предыдущаго химическаго состава подъ вліяніемъ продолжительнаго отжига. Выдѣленія графита занимаютъ большую площадь на шлифѣ по сравненію съ фиг. 29.

Фиг. 31 относится къ шлифу ковкаго чугуна, у котораго ферритовая эвтектика (бѣлая поля на шлифѣ) раздѣлилась на самостоятельныя зерна (овальной формы) феррита, а углеродъ въ формѣ углерода отжига является скученнымъ (черныя пятна и кружки на шлифѣ).

Фиг. 32. Фототипія изображаетъ строеніе литейнаго чугуна при процессѣ отбѣливанія его. Направленіе лучей закала отчетливо замѣтно на шлифѣ (прямая бѣлая полосы) съ зеркальными выдѣленіями на нихъ цементита, причемъ эти лучи закала постепенно пропадаютъ въ оставшейся неотбѣленной массѣ мягкаго литейнаго чугуна (темное пятно на шлифѣ). Указанный чугунъ содержитъ 4,03% С; 1,13% Si и 0,60% Mn.

Фиг. 33 изображаетъ строеніе перлита при большомъ увеличеніи. Бѣлые нити состоять изъ цементита, а промежутки между ними заполнены ферритомъ. Сталь содержитъ 0,45% С, была нагрѣта до 800° С и медленно охлаждена до 700° С. Рельефная полировка.

Фиг. 34. Зернистый перлитъ при большомъ увеличеніи; овальные возвышающіяся зерна состоятъ изъ цементита, а заполняющая промежутки между ними масса изъ феррита. Сталь содержитъ 1,24% С. Рельефная полировка.

Фиг. 35. Троститъ при большомъ увеличеніи. Сплошная масса тростита (бѣлая поля на шлифѣ) на своей поверхности имѣеть зачатки гранулей (игль) мартенсита, въ который при дальнѣйшемъ нагрѣваніи троститъ и переходитъ. Сталь содержитъ 0,45% С, была нагрѣта до 825° С и медленно охлаждена до 690° С, а затѣмъ закалена въ водѣ комнатной температуры.

Таблица VIII.

Фиг. 36—41 изображаютъ послѣдовательное измѣненіе структуръ весьма мягкаго желѣза при прокаткѣ проволоки въ первыхъ трехъ руч-

яхъ, причемъ четные номера фигуръ относятся къ поперечнымъ сѣченіямъ образцовъ, а нечетные—къ сѣченіямъ вдоль прокатки. Зерна феррита наблюдаемыхъ образцовъ имѣютъ типичную овальную форму, и замѣтнаго измѣненія этой формы подъ вліяніемъ прокатки не наблюдается, такъ какъ температура прокатки еще значительно высока.

Таблица IX.

Фиг. 42—47 изображаютъ измѣненіе въ строеніи мягкаго желѣза въ 4, 5 и 6 ручьяхъ прокатки. Характеръ измѣненія зеренъ феррита въ 4 и 5 ручьяхъ прокатки остается предыдущій, но въ 6-мъ ручье, вслѣдствіе замѣтнаго охлажденія металла, овальные зерна феррита начинаютъ вытягиваться вдоль прокатки, что довольно отчетливо замѣтно на шлифѣ фиг. 47.

Таблица X.

Фиг. 48—53 изображаютъ дальнѣйшее измѣненіе въ строеніи мягкаго желѣза при прокаткѣ проволоки въ 7, 8 и 9 ручьяхъ. Зерна феррита продолжаютъ вытягиваться по направленію прокатки; направленіе такого удлиненія зеренъ феррита весьма отчетливо видно на шлифахъ, взятыхъ вдоль прокатки. По мѣрѣ вытягиванія зеренъ феррита происходитъ ихъ дробленіе на части съ предварительнымъ образованіемъ перехватовъ (См. фиг. 51).

Таблица XI.

Фиг. 54—59 представляютъ измѣненіе строенія того же мягкаго желѣза при дальнѣйшей прокаткѣ проволоки въ 10, 11 и 12 ручьяхъ. Общій характеръ измѣненія формы зеренъ феррита вполнѣ напоминаетъ предыдущую картину такого измѣненія въ 8 и 9 ручьяхъ, но только подъ вліяніемъ продольныхъ усилий прокатки волокна не успѣваютъ достаточно вытягиваться и начинаютъ замѣтно рваться съ образованіемъ пустотъ внутри металла. (См. черныя пятна на шлифахъ фиг. 55, 56, 57, 58 и 59).

Таблица XII.

Фиг. 60—65 относятся къ 13, 14 и 15 ручьямъ прокатки желѣза въ вышеназванную проволоку. Характеръ измѣненія формы зеренъ феррита подъ вліяніемъ прокатки вполнѣ аналогиченъ съ общей картиной предыдущей таблицы, но отличается только тѣмъ, что зерна феррита замѣтно сильнѣе рвутся вдоль прокатки, вслѣдствіе чего пустотъ внутри металла наблюдается больше по сравненію съ предыдущимъ.

Таблица XIII.

Фиг. 66—69 изображаютъ измѣненіе структуры мягкаго желѣза при прокаткѣ проволоки въ двухъ послѣднихъ ручьяхъ, въ 16 и 17-мъ. Температура окончанія прокатки весьма близка къ началу критического интервала, вслѣдствіе чего зерна феррита подъ вліяніемъ механическихъ усилій прокатки весьма сильно дробятся и разрушаются по плоскостямъ спайности другъ съ другомъ, что довольно отчетливо замѣтно на фиг. 67. Затѣмъ въ послѣднемъ поперечномъ сѣченіи проволоки (фиг. 68), вслѣдствіе разрыва волоконъ (зеренъ) феррита, замѣтны большия пустоты внутри металла (черныя пятна на шлифѣ).

Фиг. 70 и 71 изображаютъ строеніе проволоки, полученной съ завода послѣ прокатки до волоченія. Проволока предварительно отожжена и затѣмъ протянута черезъ глазокъ для приданія ей круглой формы сѣченія. Форма зеренъ феррита почти одинаковая, какъ въ продольномъ (фиг. 71), такъ и поперечномъ (фиг. 70) сѣченіи.

Таблица XIV.

Фиг. 72 и 73 изображаютъ строеніе проволоки, полученной съ завода послѣ прокатки, но безъ отжига и безъ протягиванія черезъ глазокъ. Зерна феррита, какъ въ поперечномъ сѣченіи (фиг. 72 и въ дальнѣйшемъ четные номера), такъ въ продольномъ (фиг. 73 и въ дальнѣйшемъ нечетные номера) замѣтно меныше по величинѣ по сравненію съ предыдущими фототипіями (фиг. 70 и 71 табл. XIII), что свидѣтельствуетъ о томъ, что температура отжига данной проволоки была вѣма значительной. Присутствіе пустотъ внутри металла, вслѣдствіе разрыва зеренъ, весьма замѣтно на полѣ шлифа.

Фиг. 74, 75, 76 и 77 представляютъ строеніе проволоки въ поперечномъ и продольномъ сѣченіи послѣ первыхъ двухъ вытяжекъ. Пустоты между зернами металла подъ вліяніемъ боковыхъ давленій при проходкѣ черезъ глазокъ волочильной доски немнога уменьшились по сравненію съ таковыми для прокатанной проволоки (фиг. 72 и 73), но вмѣстѣ съ тѣмъ и зерна феррита начинаютъ интенсивно вытягиваться по направлѣнію волоченія проволоки (сравн. фиг. 75 и 77).

Таблица XV.

Фиг. 78—83 изображаютъ общую картину измѣненія формы зеренъ проволоки при дальнѣйшемъ волоченіи. Здѣсь уже рѣзко замѣтно постепенное удлиненіе зеренъ и уменьшеніе ихъ по величинѣ въ поперечномъ сѣченіи. Зерна феррита, какъ видно, не могутъ сохранить свою ранѣе полученную овальнную форму, вслѣдствіе сильнаго бокового давленія при прохожденіи черезъ глазокъ волочильной доски. Кромѣ этого зерна феррита при проходкѣ черезъ волочильную доску не успѣваютъ вытяги-

ваться и рвутся, образуя внутри металла пустоты (черные поля на шлифахъ). Между зернами металла происходит замѣтное скольжение, сопровождающееся некоторымъ разрушениемъ самихъ зеренъ, что весьма отчетливо замѣтно на шлифахъ по направлению волоченія.

Таблица XVI.

Фиг. 84 по 87, 90 и 91 представляютъ дальнѣйшее измѣненіе зеренъ проволоки въ слѣдующихъ глазкахъ волочильныхъ досокъ. Общая картина измѣненія зеренъ феррита проволоки остается вполнѣ одинаковой съ таковой же предыдущей таблицы, но только ранѣе начавшееся разрушеніе зеренъ замѣтно возрастаетъ съ каждымъ новымъ глазкомъ волочильной доски, вслѣдствіе чего число пустотъ (черныхъ пятенъ на шлифахъ) внутри металла постепенно возрастаетъ.

Таблица XVII.

Фиг. 88 и 89. При разсмотрѣніи сѣченія проволоки послѣ прохожденія ея черезъ глазокъ волочильной доски была обнаружена неравномѣрная величина зеренъ феррита у периферіи и въ центрѣ сѣченія проволоки, а именно: зерна феррита въ срединѣ сѣченія меньше нежели у периферіи. Для болѣе детальной иллюстраціи указанной картины измѣненія зеренъ феррита по сѣченію проволоки изготовлены снимки 88 и 89, причемъ первый взять ближе къ поверхности проволоки, а второй съ средины сѣченія ея. Оба послѣдніе снимки относятся къ одному и тому же сѣченію проволоки съ фиг. 86 и 87. На снимкахъ таблицы XVII отчетливо замѣтна общая картина неравномѣрности зеренъ по величинѣ у средины и периферіи проволоки, а кроме этого довольно ярко представлена общая картина деформированія и разрушенія самихъ зеренъ феррита проволоки при волоченіи.

Таблица XVIII и XIX.

Фиг. 92—103 изображаютъ дальнѣйшее измѣненіе структуры жѣльзной проволоки въ слѣдующихъ глазкахъ волочильныхъ досокъ до послѣдней включительно. Общая картина иллюстрируемыхъ деформаций внутри металла при дальнѣйшемъ волоченіи его будетъ одинаковой съ ранѣе разсмотрѣнной. Отличіемъ будетъ только то, что въ послѣднихъ глазкахъ волочильныхъ досокъ будетъ происходить замѣтное сжатіе ранѣе образовавшихся пустотъ внутри металла (Сравн. послѣдовательно фиг. 95, 97, 99, 101 и 103), хотя полнаго уплотненія металла не достигается и въ послѣднемъ глазкѣ волочильной доски, на что весьма ясно указываютъ имѣющіяся пустоты въ поперечномъ сѣченіи проволоки изъ послѣдняго глазка волочильной доски (черные пятна на фиг. 102).

Таблица XX.

Фиг. 104 и 105. Проволока при волоченіи, пройдя черезъ нѣсколькоъ глазковъ волочильныхъ досокъ, пріобрѣтаетъ значительную жесткость и хрупкость, и для дальнѣйшаго волоченія ее необходимо предварительно отжечь. Для иллюстраціи картины измѣненія строенія проволоки послѣ такого отжига въ срединѣ волоченія (послѣ 5 глазка волочильной доски) приведены фиг. 104 и 105, причемъ первая фототипія изображаетъ строеніе проволоки послѣ незначительного отжига, а вторая—безъ отжига. Отжигъ вызвалъ увеличеніе зеренъ, но вслѣдствіе незначительности высоты нагрѣва неравномѣрность въ величинѣ зеренъ центральныхъ и близкихъ къ периферіи съченія сохранилась и послѣ отжига, что отчетливо замѣтно на фиг. 104.

Фиг. 106—109 изображаютъ строеніе тѣла заклепки, причемъ фиг. 106 и 108 сняты вдоль оси заклепки: первая въ срединѣ головки самой заклепки, а вторая—въ цилиндрическомъ стержнѣ ея. Фиг. 107 и 109 относятся къ тѣмъ же мѣстамъ заклепки, къ которымъ относятся и фиг. 106 и 108, но сняты въ направленіи перпендикулярномъ длины заклепки. При сравненіи фиг. 108 и 109 съ 106 и 107 замѣтно сильное уменьшеніе величины зеренъ феррита въ головкѣ заклепки, по сравненію со стержнемъ ея, а кромѣ этого въ головкѣ заклепки замѣтно и значительное дробленіе зеренъ металла съ образованіемъ пустотъ внутри послѣдняго (см. на фиг. 106 черныя пятна).

Таблица XXI.

Фиг. 110 и 111 представляютъ строеніе машиннаго желѣзного гвоздя въ $\frac{1}{8}$ " въ продольномъ и поперечномъ съченіи вблизи головки. Между зернами металла наблюдается значительное количество пустотъ (черныя пятна на шлифахъ).

Фиг. 112 и 113 иллюстрируютъ строеніе машиннаго гвоздя въ $\frac{1}{16}$ " въ продольномъ и поперечномъ съченіяхъ вблизи головки гвоздя. Общій характеръ строенія зеренъ металла вполнѣ одинаковъ съ таковыми же какъ и для гвоздя въ $\frac{1}{8}$ ", но зерна значительно мельче, а затѣмъ на фиг. 112 рельефно замѣтно направленіе измѣненія зеренъ при образованіи шляпки (головки) гвоздя.

Фиг. 114. Макроструктура заклепочнаго шва для заклепки 22м/м и толщины склеиваемыхъ листовъ 8м/м при гидравлической клепкѣ.

Фиг. 115. Макроструктура заклепочнаго шва для заклепки 18м/м и толщины склеиваемыхъ листовъ 8 м/м при ручной клепкѣ опытными котельщиками одного изъ большихъ заводовъ юга Россіи. При сравненіи двухъ послѣднихъ макроструктуръ замѣтно, что при ручной клепкѣ разслоеніе металла внутри заклепки значительно глубже по сравненію съ гидравлическою клепкою. Общій же характеръ распо-

положения зеренъ въ тѣлѣ головки заклепки вполнѣ напоминаетъ строеніе головокъ ранѣе разсмотрѣнныхъ гвоздей.

Таблица XXII.

Шлифъ фиг. 116 изображаетъ строеніе мягкаго желѣза послѣ значительной кузнечной ковки его. Овальныя зерна феррита подъ вліяніемъ ударовъ кувалды приняли клинообразную форму по наибольшему направлению дѣйствія усилий на зерна или по наименьшимъ направлениямъ сопротивленій деформаціямъ зеренъ.

Фиг. 117, 118, 119 и 120 иллюстрируютъ общую картину деформацій желѣзныхъ листовъ при продавливаніи въ нихъ отверстій пуансономъ; причемъ первая—даетъ общую картину такихъ деформацій, а три послѣдующія—при входѣ, среднемъ положеніи и выходѣ пуансона. Величина подобныхъ деформацій, какъ видно, къ выходу пуансона постепенно растетъ, а затѣмъ деформированная часть металла подъ вліяніемъ отжига отдѣляется отъ здоровой, что весьма рельефно замѣтно на фиг. 120.

Фиг. 121 изображаетъ вѣнчаную форму пуансоновъ и ихъ разрушение при опытахъ по изученію вопроса о вліяніи формъ пуансона на величину деформацій пробиваемаго листа. Правый на фототипіи пуансонъ имѣлъ уголъ заостренія у рѣжущихъ кромокъ 65° и обладалъ среднимъ направляющимъ конусомъ. Дыры, пробиваемыя этимъ пуансономъ, имѣли рваныя кромки, а затѣмъ самъ пуансонъ во время работы сильно разрушился (часть отъ его головки лежитъ въ срединѣ между пуансонами). Слѣдующій нальво отъ размотрѣннаго пуансонъ не имѣлъ направляющаго конуса, уголъ у рѣжущихъ кромокъ его былъ 75° . Пуансонъ давалъ рваныя отверстія и самъ разрушился. Третій нальво—имѣлъ уголъ у рѣжущихъ кромокъ равнымъ 87° и былъ снабженъ направляющимъ конусомъ; въ работѣ этотъ пуансонъ оказался наилучшимъ,—давалъ менѣшія деформаціи металла у кромокъ пробиваемыхъ имъ листовъ. Наконецъ четвертый пуансонъ, крайній нальво, имѣлъ небольшой направляющей конусъ на гладкомъ торцѣ, снабженномъ кольцевой рѣжущей кромкой на конусъ съ угломъ заостренія 75° и шириной самой кромки у основанія ея около $2,5\text{m/m}$. Рѣжущая кромка этого пуансона быстро разрушилась.

Причины. Условныя обозначенія подъ фототипіями 100 : 1, 150 : 1 и т. п. обозначаютъ увеличенія въ 100, 150 и т. д. разъ.

ЗАМЪЧЕННЫЯ ОПЕЧАТКИ.

| Страницы. | Строки. | Напечатано. | Слѣдуетъ читать. |
|-----------|-----------|---------------|----------------------------|
| 7 | 3 снизу | Металлографія | Т. Тихоновъ. Металлографія |
| 18 | 1 снизу | ферритовая | цементитовая |
| 19 | 1 сверху | ферритовая | цементитовая |
| 19 | 8 снизу | измѣняются | измѣняется |
| 20 | 20 сверху | точки | точки |
| 21 | 14 снизу | fe b | Fe ₃ |
| 25 | 1 сверху | образца | образцы |
| 26 | II снизу | охлажденія | охлажденія |
| 31 | 7 сверху | вслѣдствіе | вслѣдствіе |
| " | 23 сверху | 8 таб. XXIV | 8 таб. XXVI |
| 35 | 14 сверху | зерна | на |
| 46 | 9 сверху | пансона | пансона |
| 65 | 18 снизу | употребляя | употребляя |
| 70 | 20 сверху | обосленіе | обосображеніе |
| 72 | 22 сверху | способствуетъ | способствуетъ |



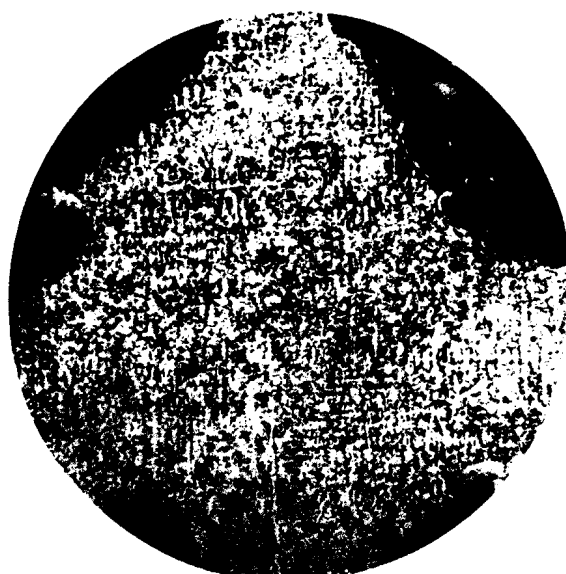
Фиг. 1,



Фиг. 2. 1 : 1

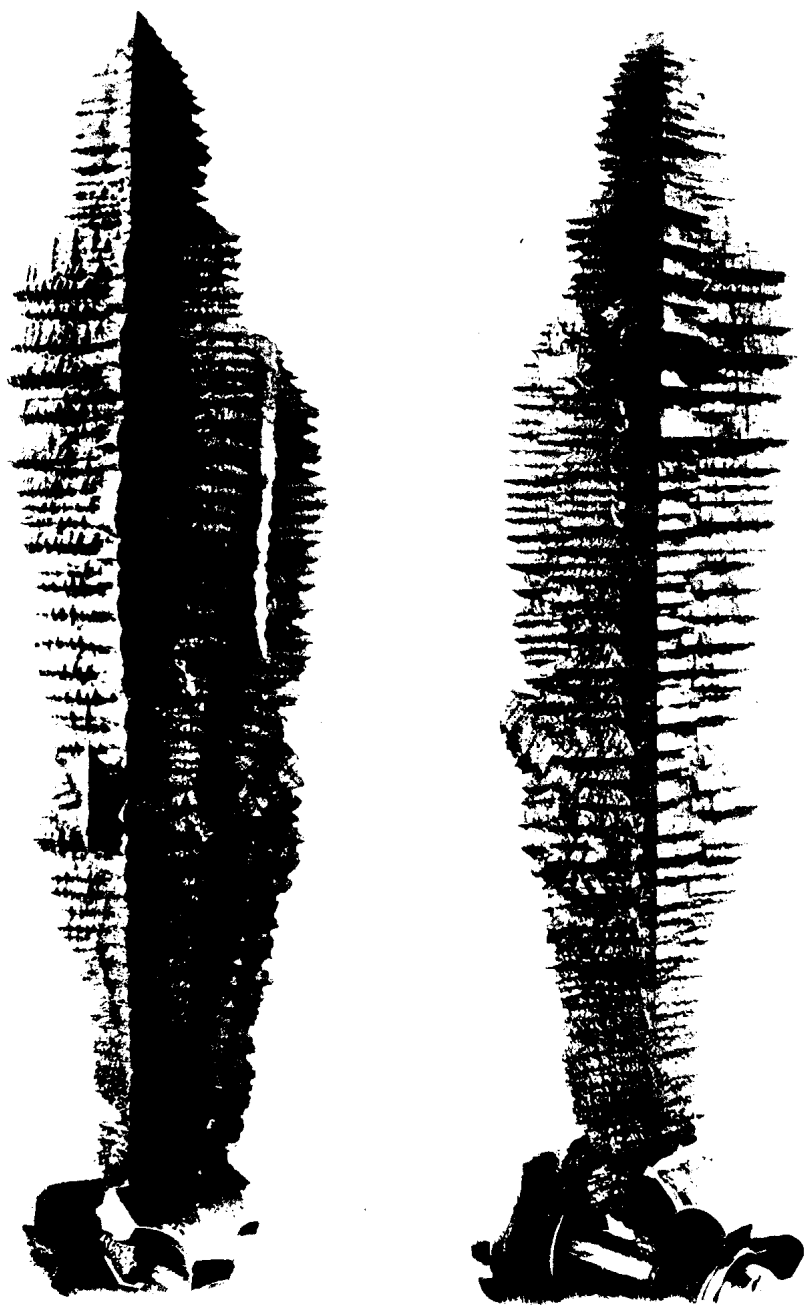


Фиг. 3. 15 : 1.



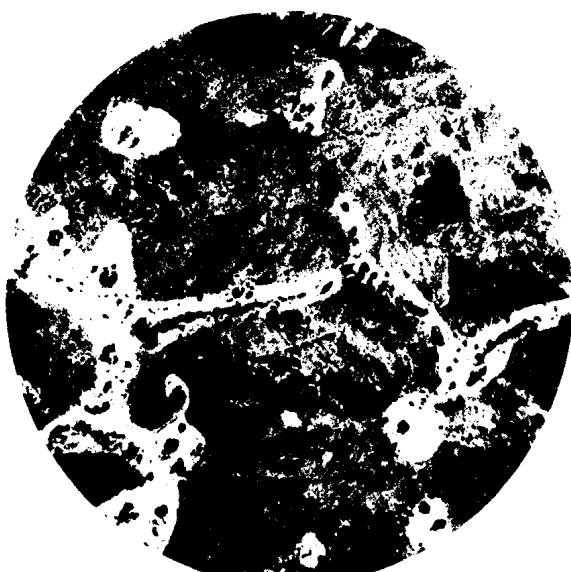
Фиг. 4. 2 : 1.

Изменение структуры железа при механической обработке. Т. Н. Тихоновъ.



Фиг. 5. $\times^{1/2}$.

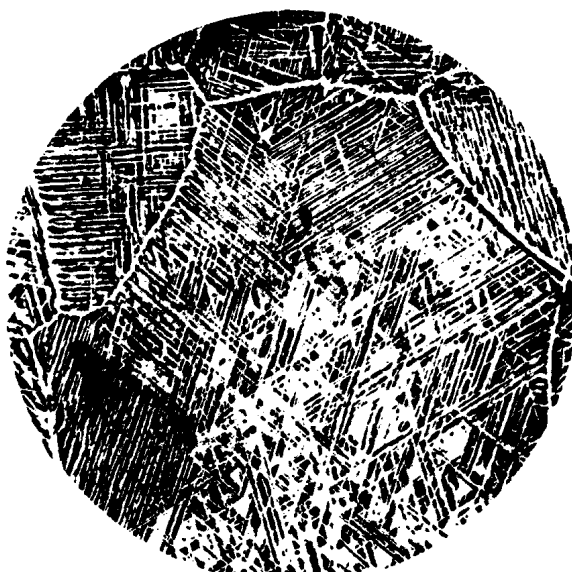
Изменение структуры железа при механической обработке. Т. И. Тихоновъ.



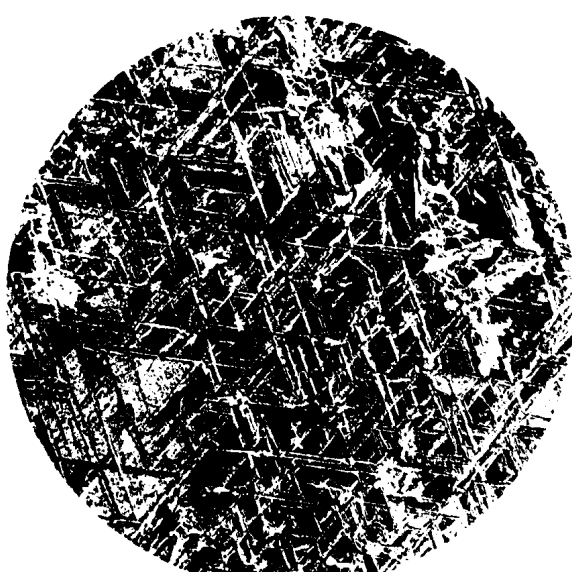
Фиг. 6. 50 : 1.



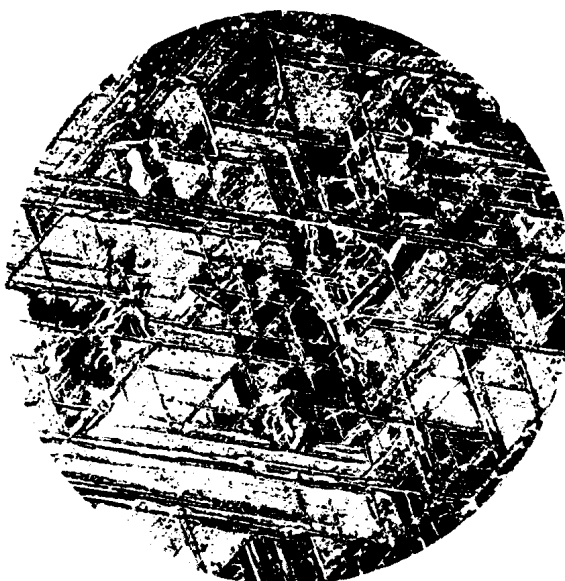
Фиг. 7. 90 : 1.



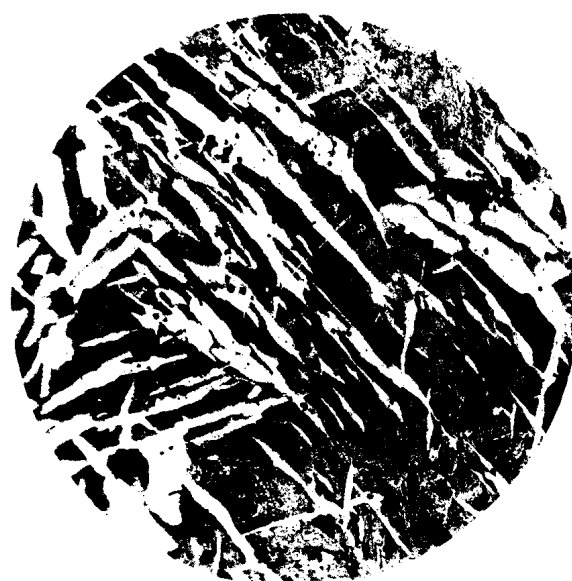
Фиг. 8. 6 : 1.



Фиг. 9. 10 : 1.



Фиг. 10. 10 : 1.



Фиг. 11. 100 : 1.

Изменение структуры железа при механической обработке. Т. И. Тихоновъ.



Фиг. 12. 100:1.



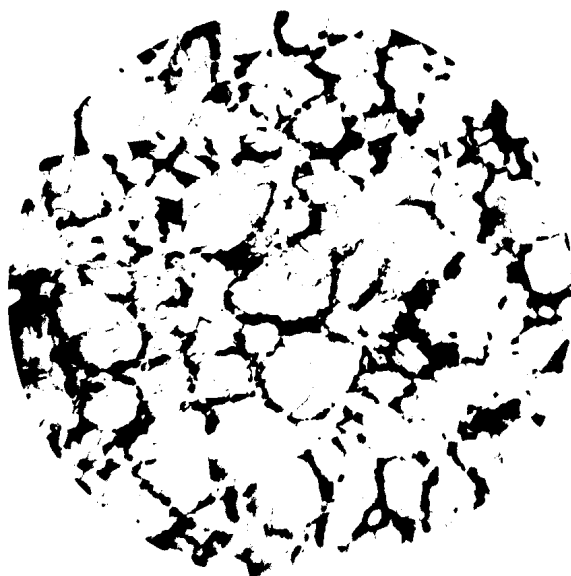
Фиг. 13. 1000:1.



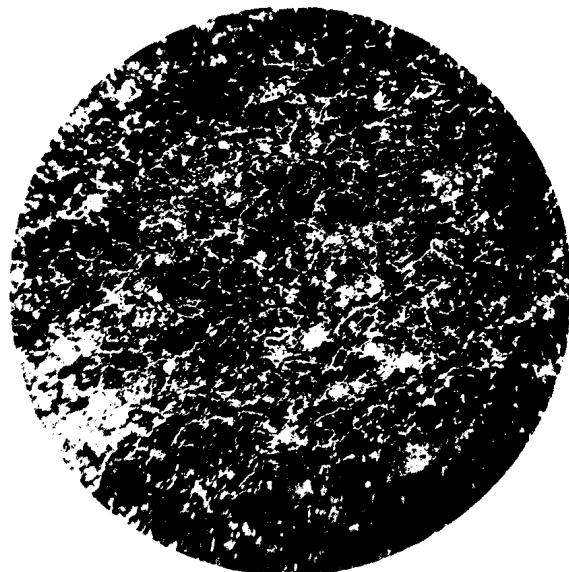
Фиг. 14. 1000:1.



Фиг. 15. 100:1.



Фиг. 16. 100:1.



Фиг. 17. 100:1.

Изменение структуры железа при механической обработке. Т. И. Тихоновъ.



Фиг. 18. 100 : 1.



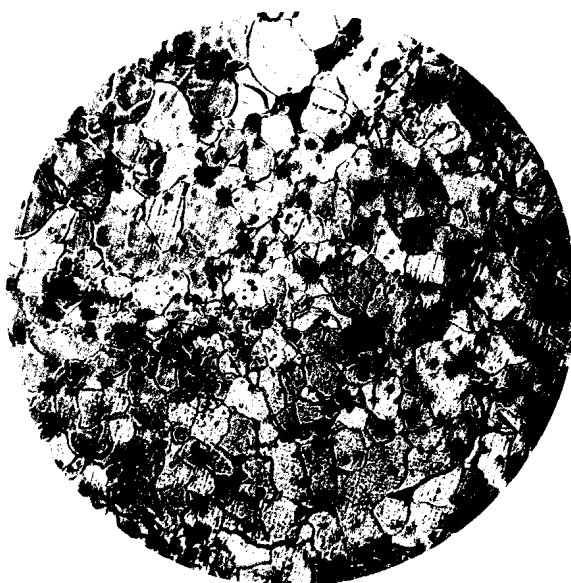
Фиг. 19. 270 : 1.



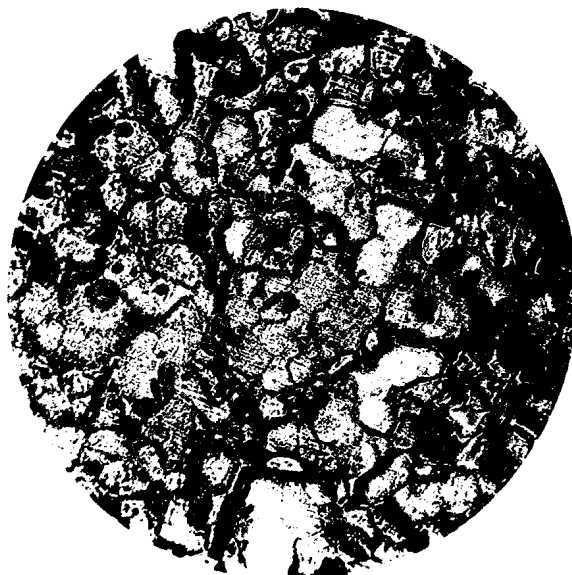
Фиг. 20. 100 : 1.



Фиг. 21. 100 : 1.



Фиг. 22. 100 : 1.



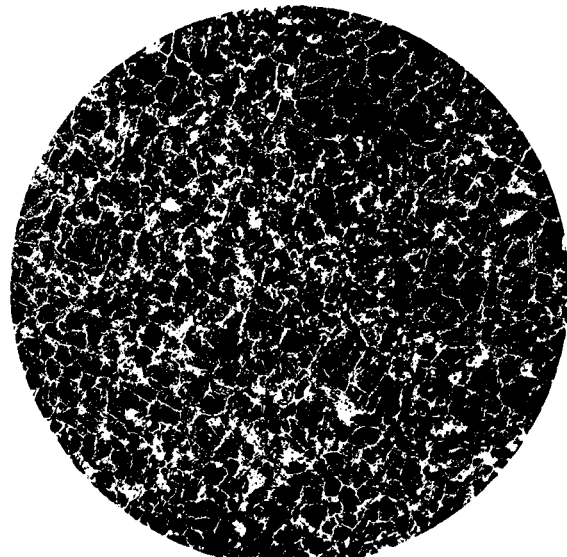
Фиг. 23. 100 : 1.

Измѣненіе структуры желе́за при механической
обработкѣ. Т. И. Тихоновъ.

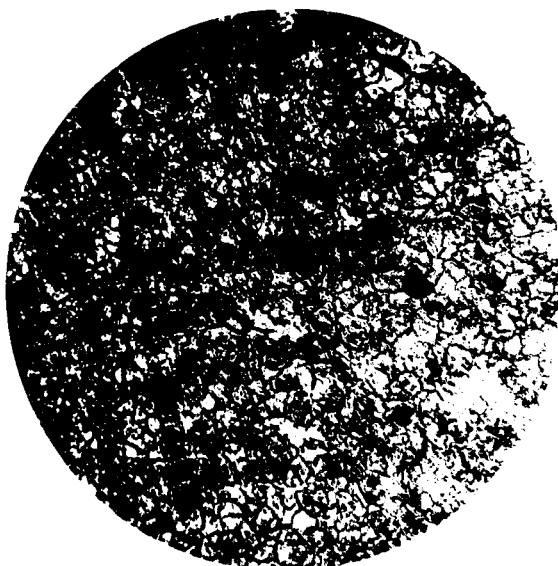
Фот. П. Павлова.



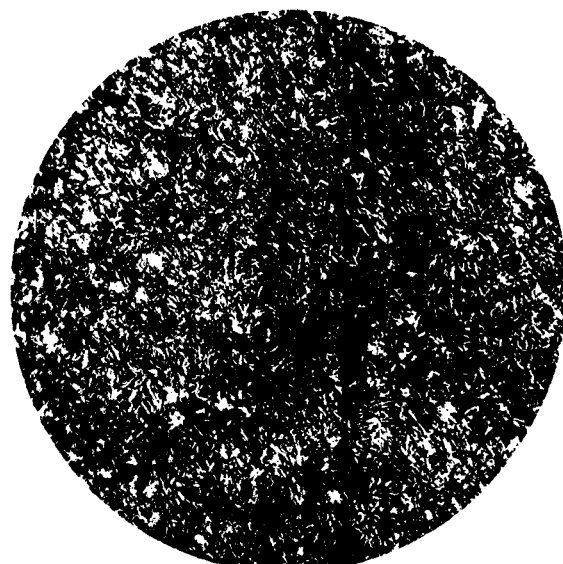
Фиг. 24. 100 : 1.



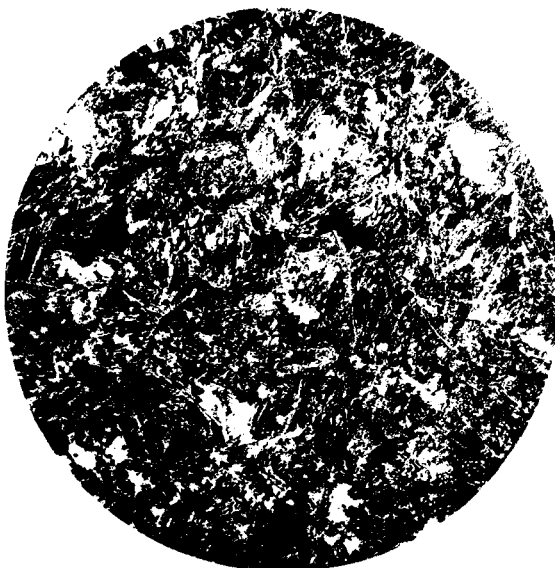
Фиг. 25. 100 : 1.



Фиг. 26. 100 : 1.



Фиг. 27. 100 : 1.



Фиг. 28. 100 : 1.

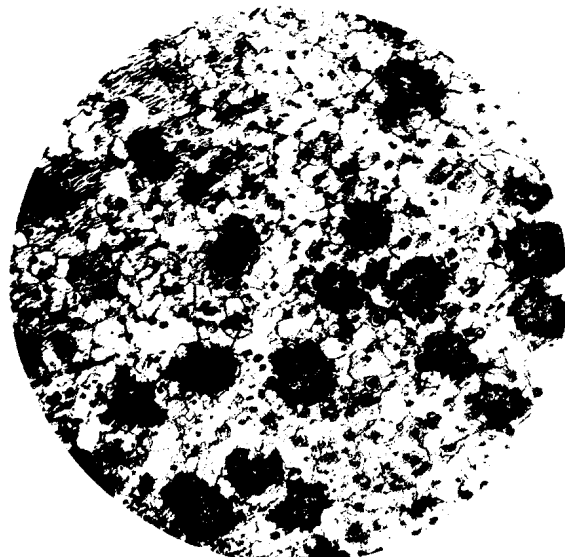


Фиг. 29. 90 : 1.

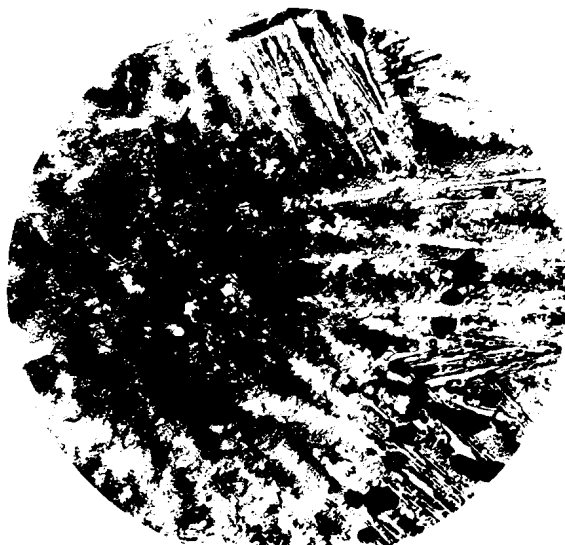
Изменение структуры железа при механической обработке. Т. И. Тихоновъ.



Фиг. 30. 100 : 1.



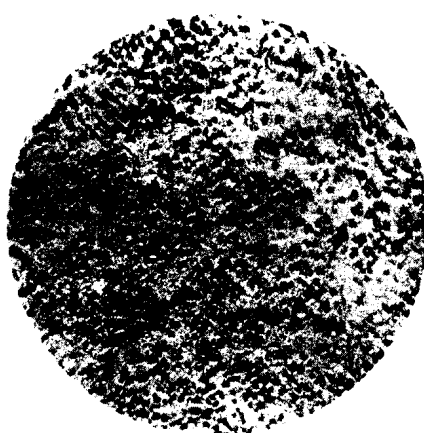
Фиг. 31. 100 : 1.



Фиг. 32. 100 : 1.



Фиг. 33. 1000 : 1.

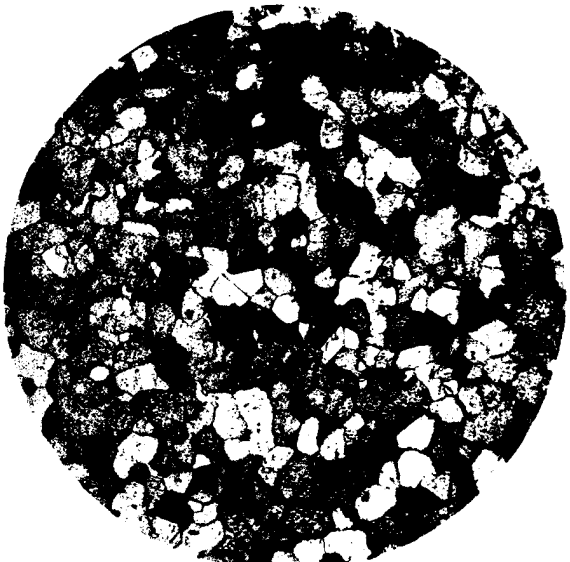


Фиг. 34. 1000 : 1.

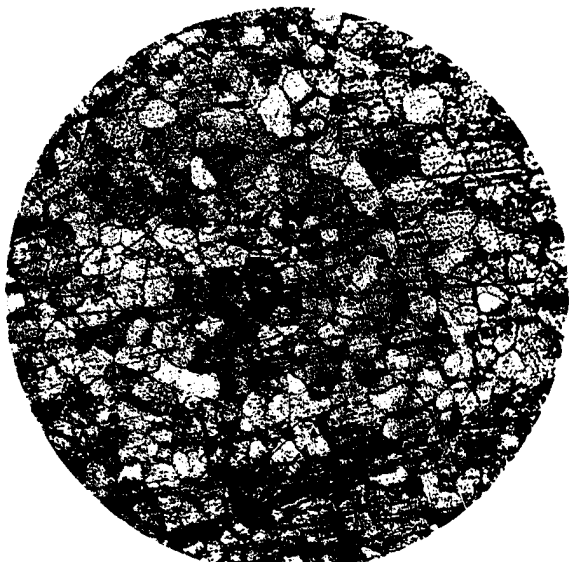


Фиг. 35. 1000 : 1

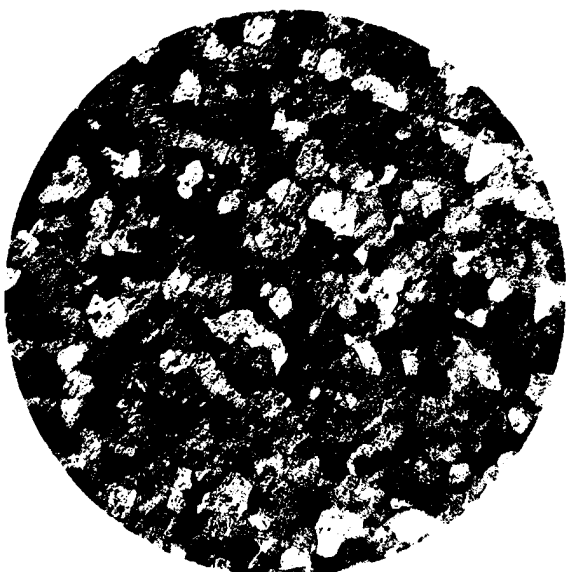
Изменение структуры желѣза при механической обработкѣ. Т. И. Тихоновъ.



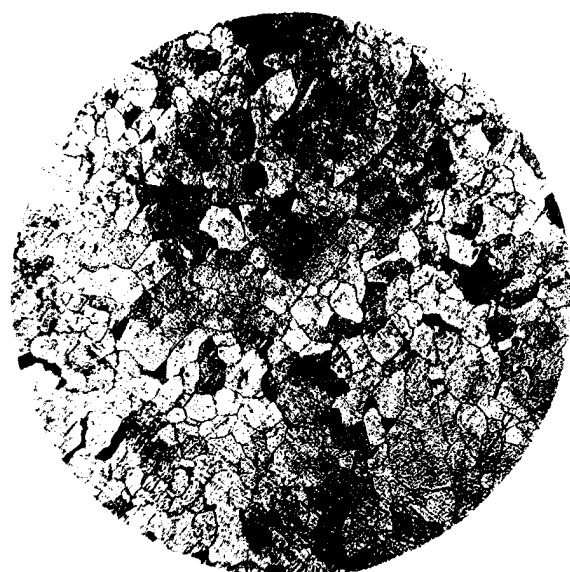
Фиг. 36. 100 : 1.



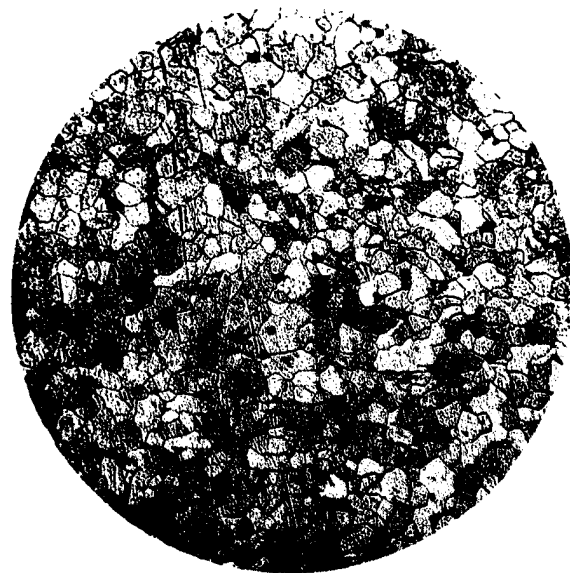
Фиг. 37. 100 : 1.



Фиг. 38. 100 : 1



Фиг. 39. 100 : 1.



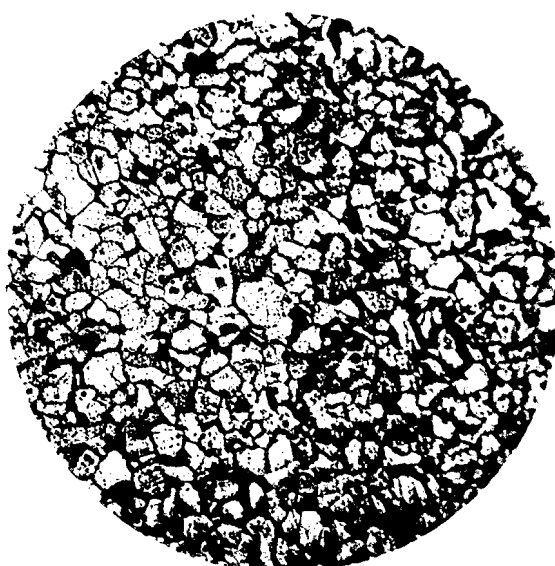
Фиг. 40. 100 : 1.



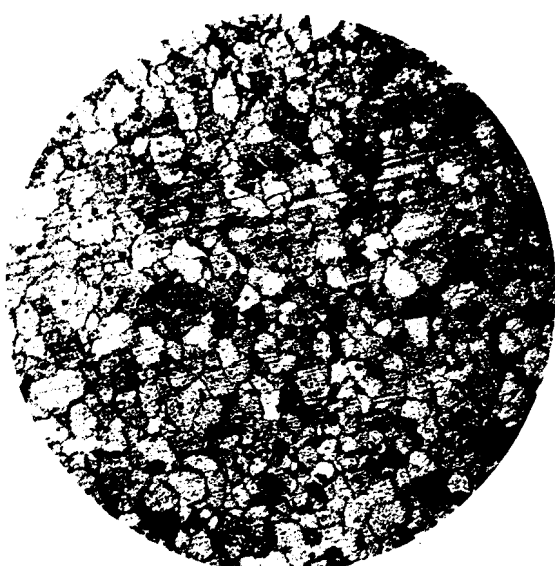
Фиг. 41. 100 : 1.

Изменение структуры железа при механической обработке. Т. И. Тихоновъ.

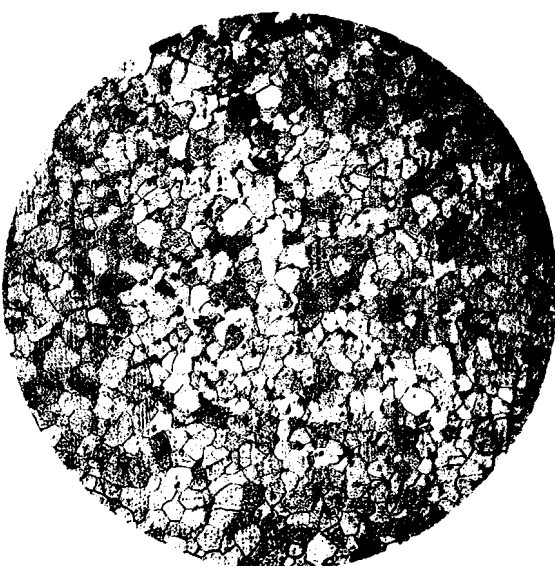
Фот. И. Павлова.



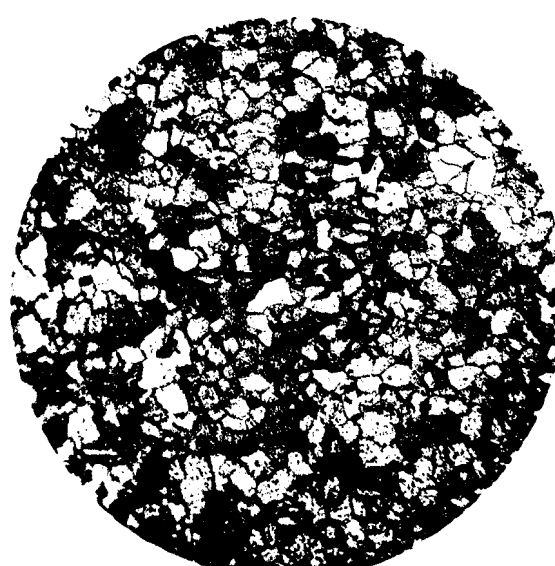
Фиг. 42. 100 : 1.



Фиг. 43. 100 : 1.



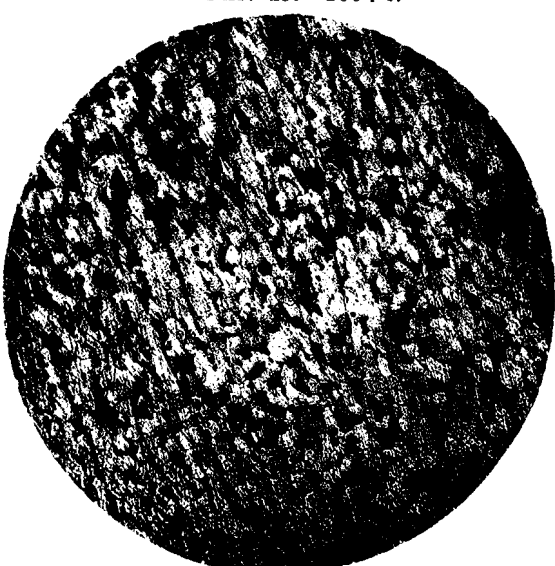
Фиг. 44. 100 : 1.



Фиг. 45. 100 : 1.



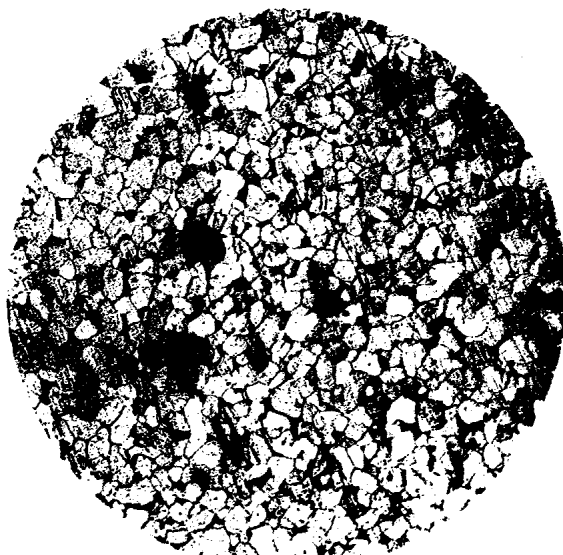
Фиг. 46. 100 : 1.



Фиг. 47. 100 : 1.

Изменение структуры железа при механической обработке. Т. И. Тихоновъ.

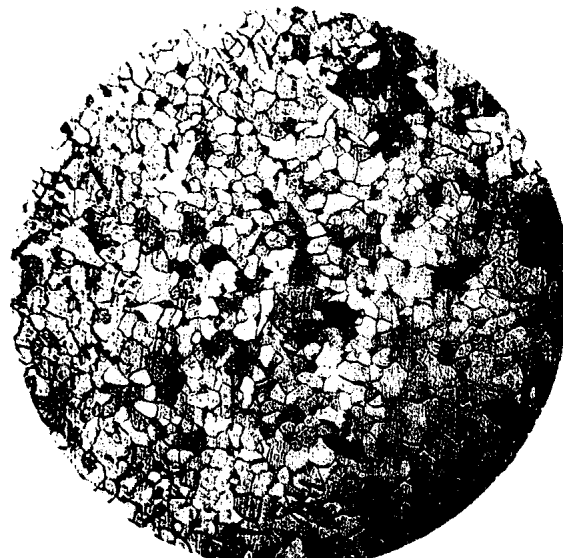
Фот. П. Павлова.



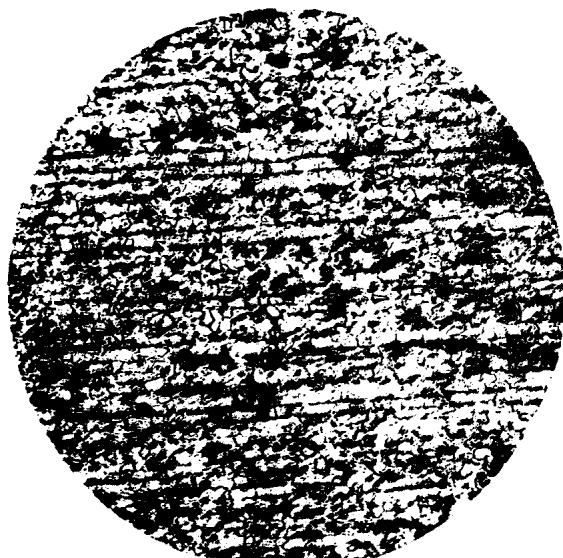
Фиг. 48. 100 : 1.



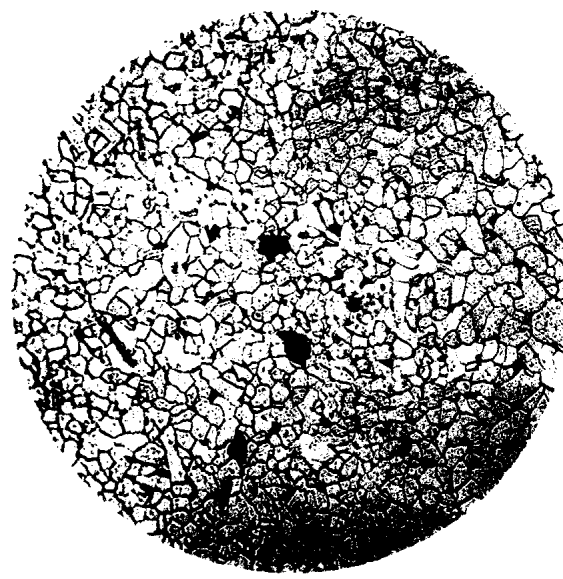
Фиг. 49. 100 : 1.



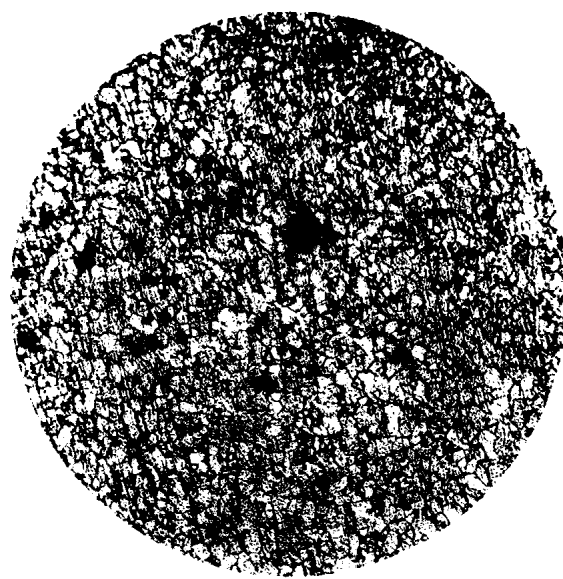
Фиг. 50. 100 : 1.



Фиг. 51. 100 : 1.

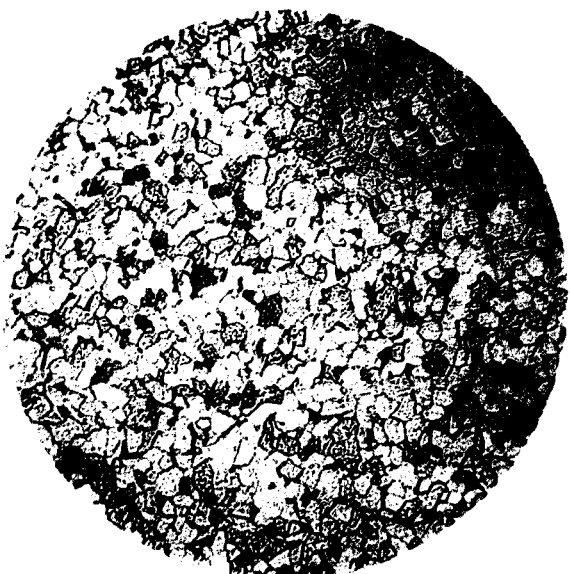


Фиг. 52. 100 : 1.



Фиг. 53. 100 : 1.

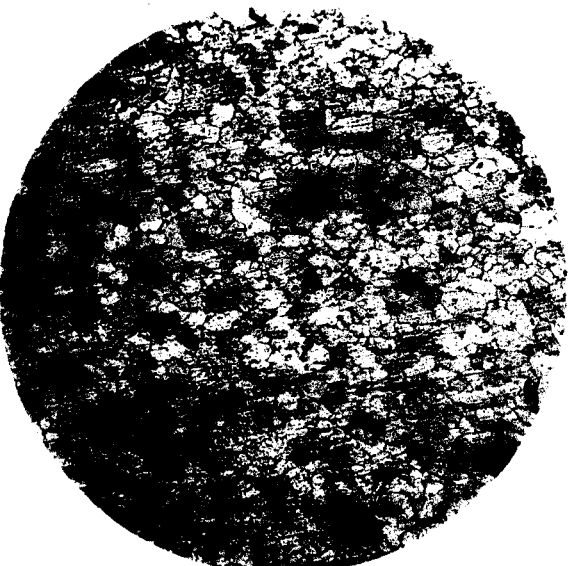
Изменение структуры железа при механической обработке. Т. И. Тихоновъ.



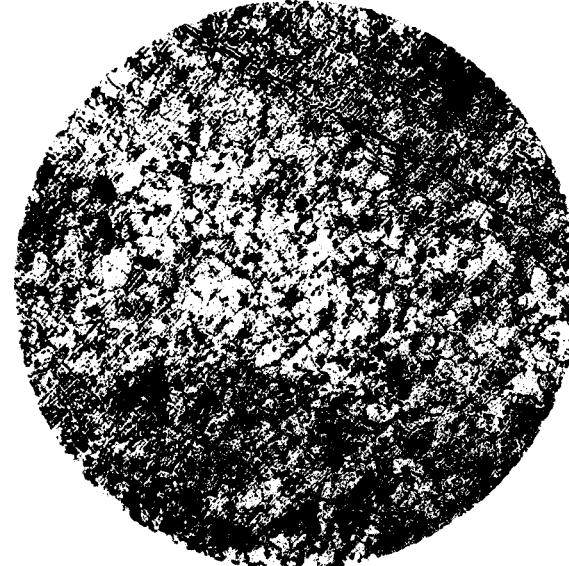
Фиг. 54. 100:1.



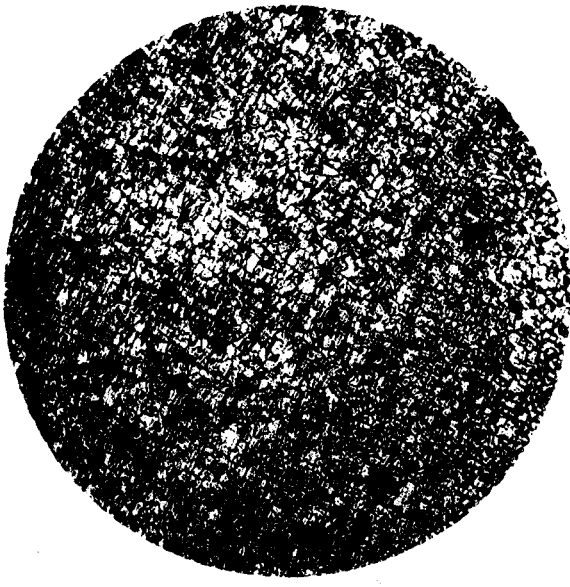
Фиг. 55. 100:1.



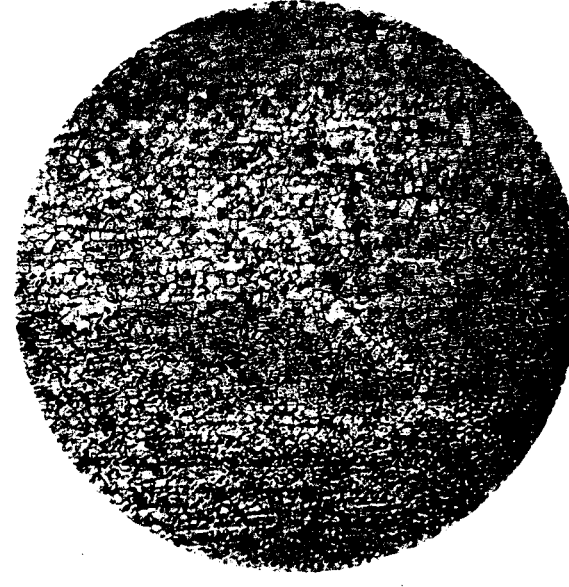
Фиг. 56. 100:1.



Фиг. 57. 100:1.



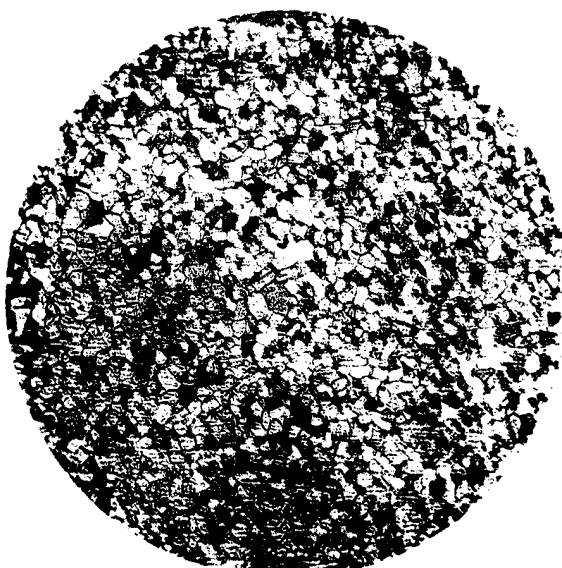
Фиг. 58. 100:1.



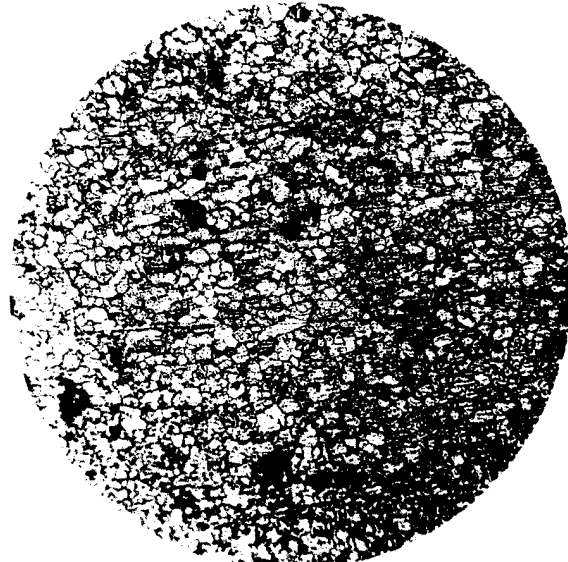
Фиг. 59. 100:1.

Изменение структуры железа при механической обработке. Т. И. Тихоновъ.

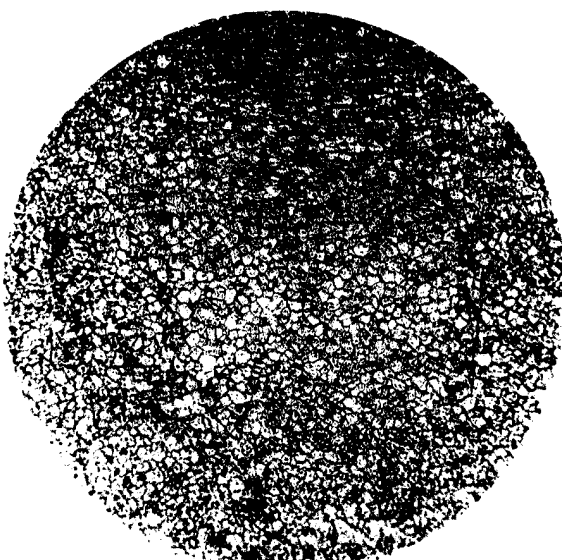
Фот. П. Павлова.



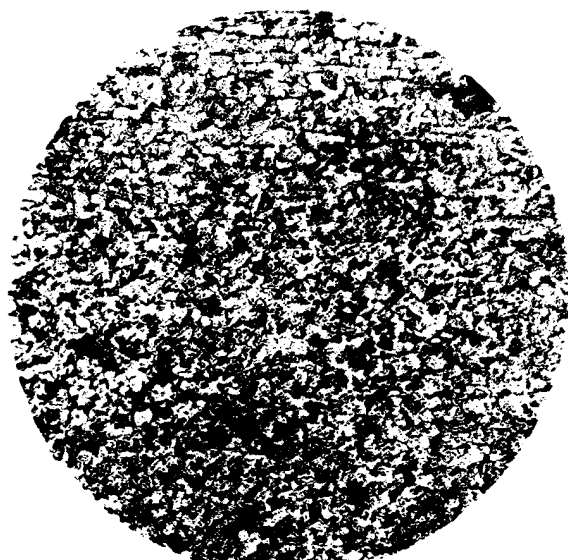
Фиг. 60. 100 : 1.



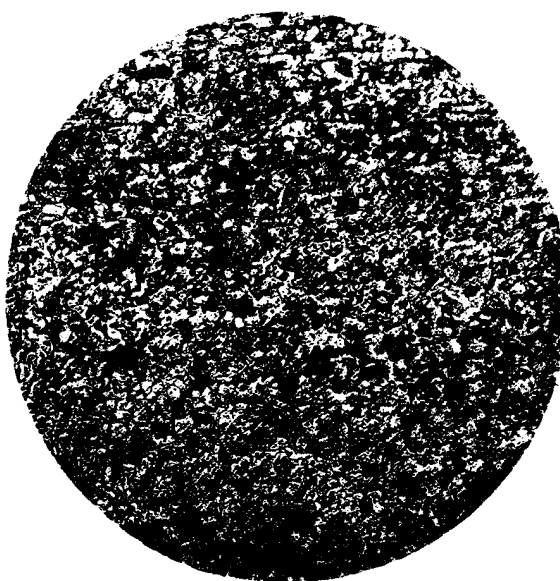
Фиг. 61. 100 : 1.



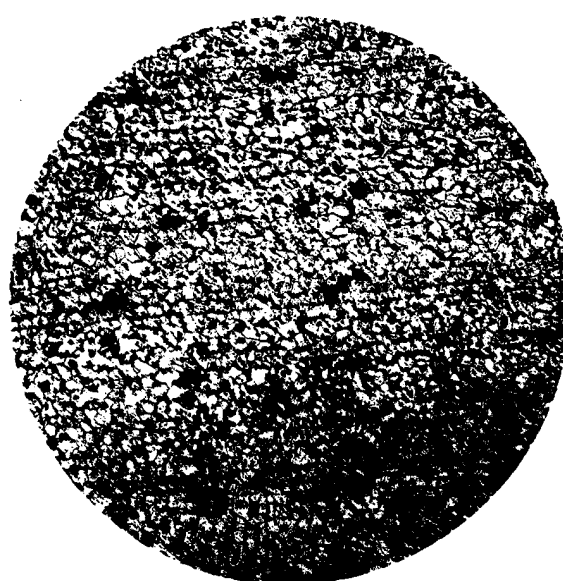
Фиг. 62. 100 : 1.



Фиг. 63. 100 : 1.



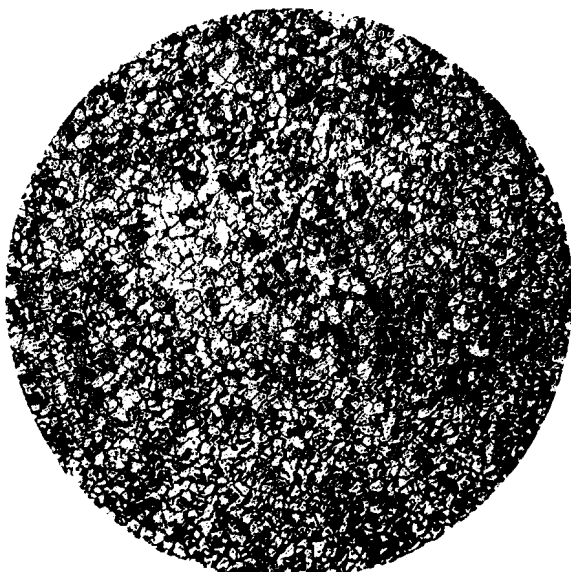
Фиг. 64. 100 : 1.



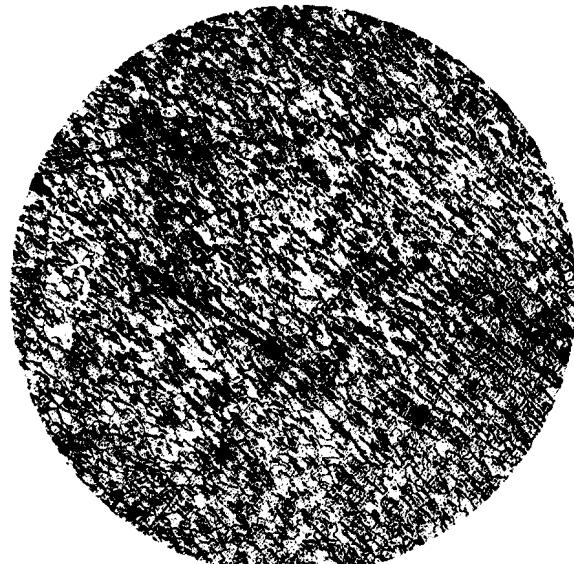
Фиг. 65. 100 : 1.

Изменение структуры железа при механической обработке. Т. Н. Тихоновъ.

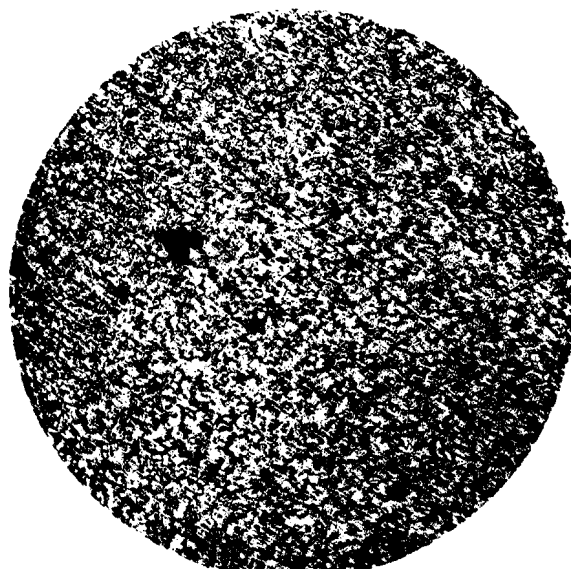
Фот. П. Павлова.



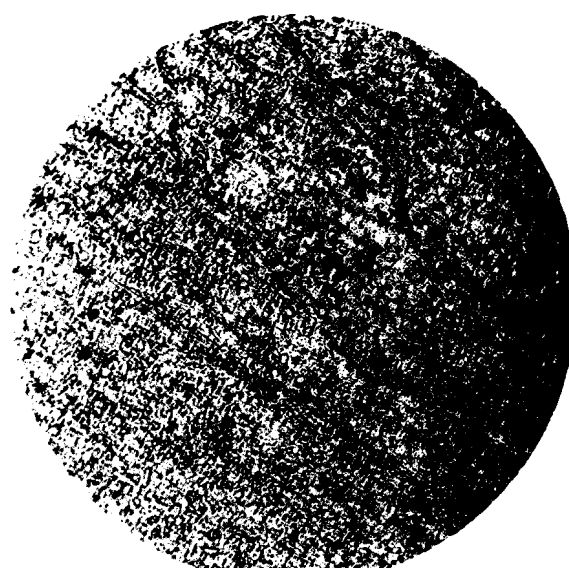
Фиг. 66. 100 : 1.



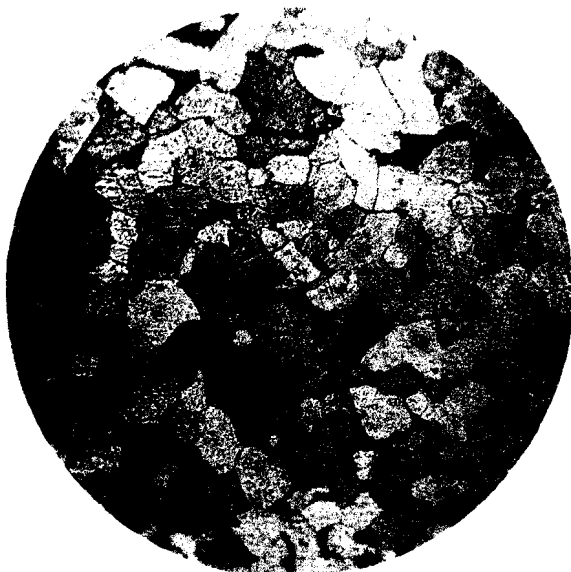
Фиг. 67. 100 : 1.



Фиг. 68. 100 : 1.



Фиг. 69. 100 : 1.



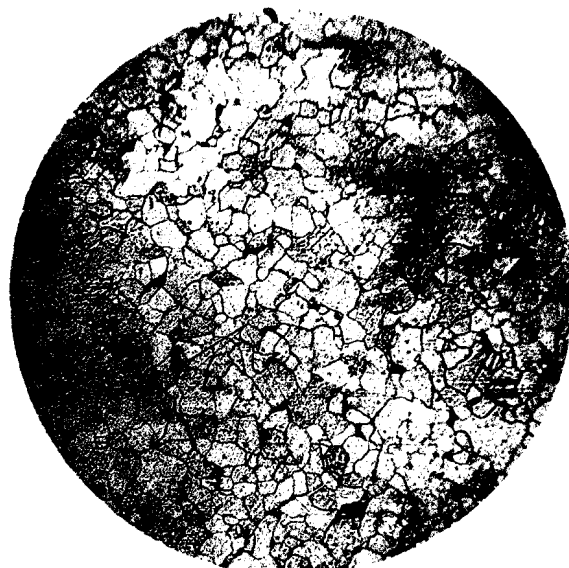
Фиг. 70. 150 : 1.



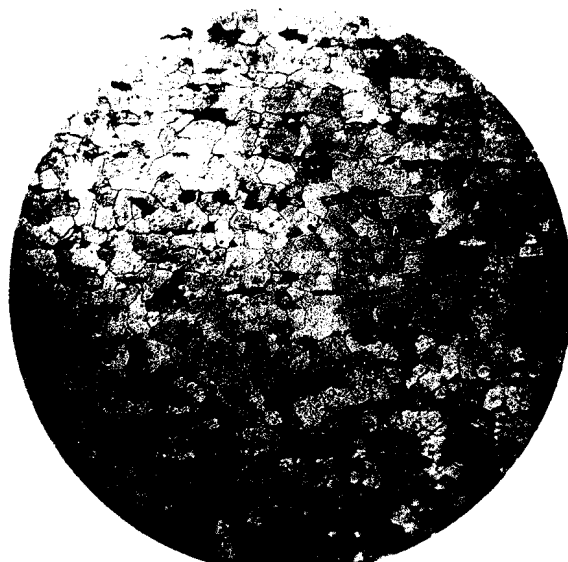
Фиг. 71. 150 : 1.

Изменение структуры желѣза при механической
обработкѣ. Т. И. Тихоновъ.

Фот. П. Павлова.



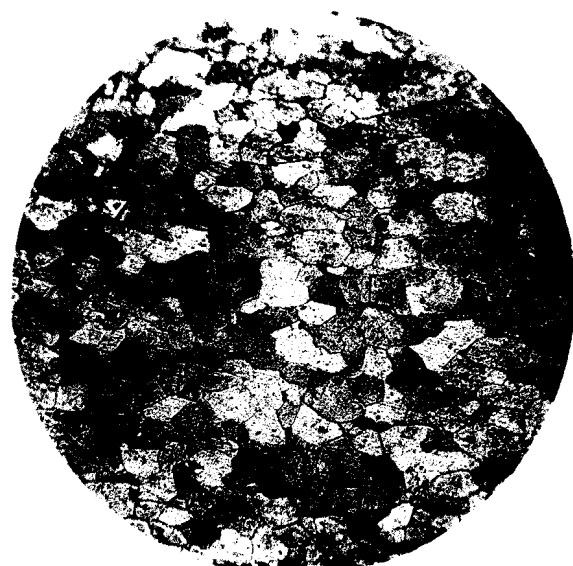
Фиг. 72. 150 : 1.



Фиг. 73. 150 : 1.



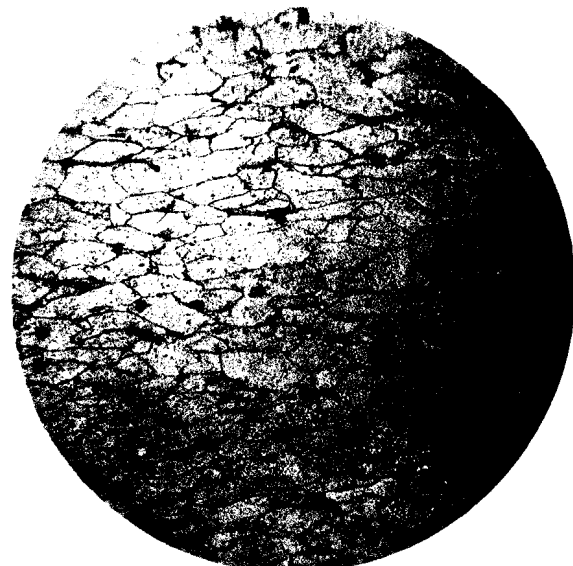
Фиг. 74. 150 : 1.



Фиг. 75. 150 : 1.



Фиг. 76. 150 : 1.



Фиг. 77. 150 : 1.

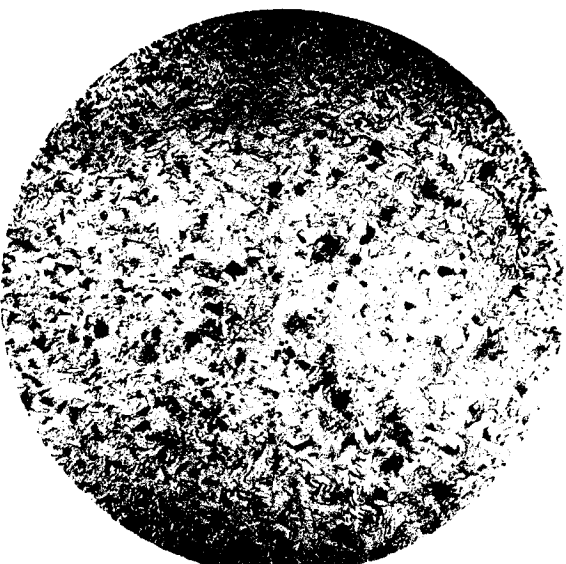
Изменение структуры железа при механической обработке. Т. И. Тихоновъ.



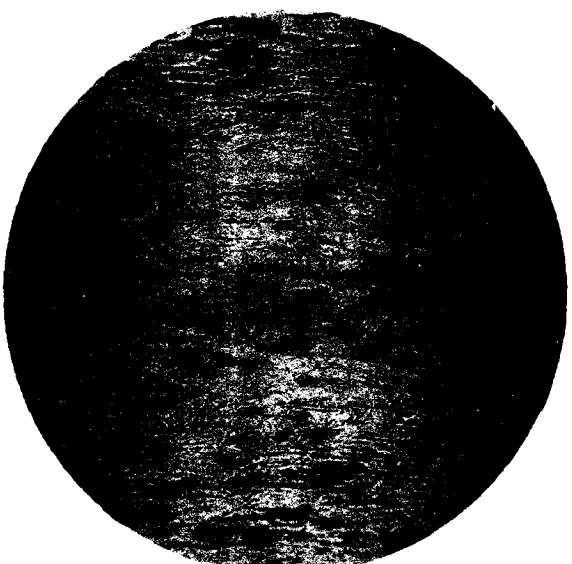
Фиг. 78. 150 : 1



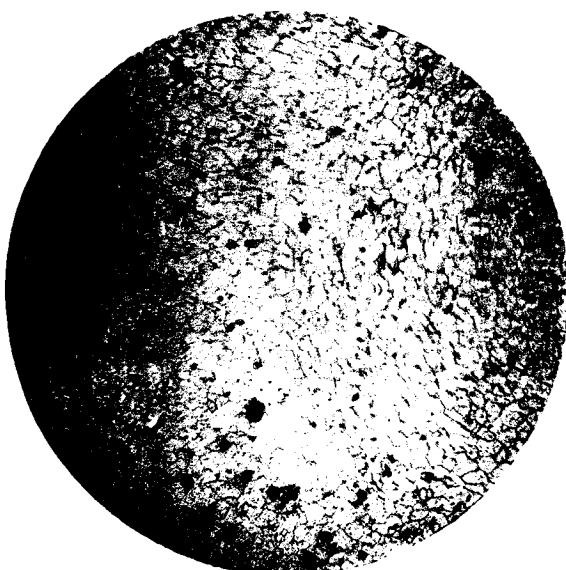
Фиг. 79. 150 : 1.



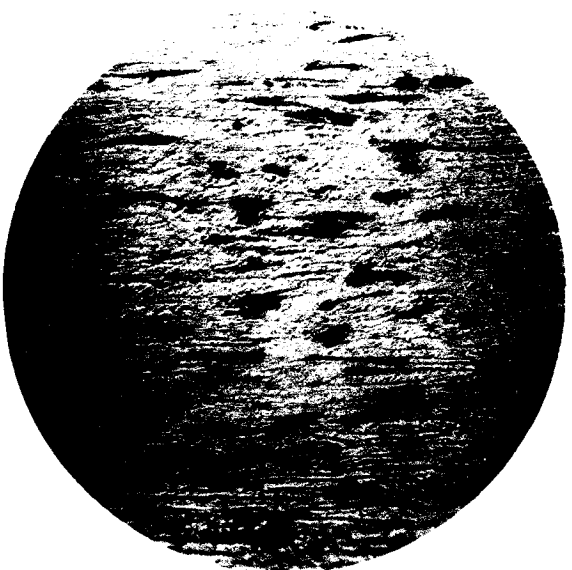
Фиг. 80. 150 : 1.



Фиг. 81. 150 : 1.



Фиг. 82. 150 : 1.



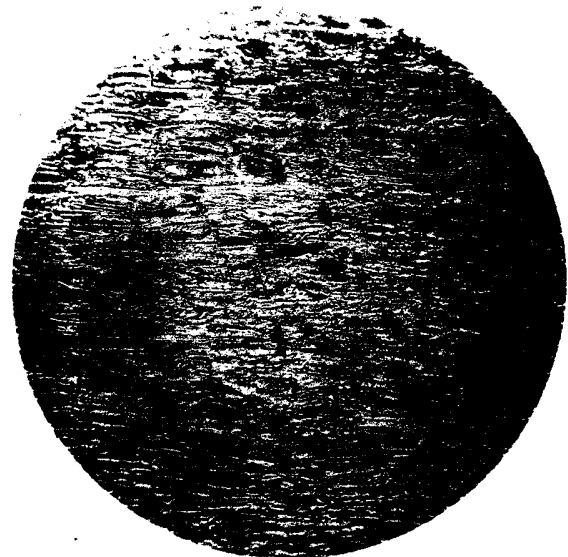
Фиг. 83. 150 : 1.

Изменение структуры железа при механической обработке. Т. И. Тихоновъ.

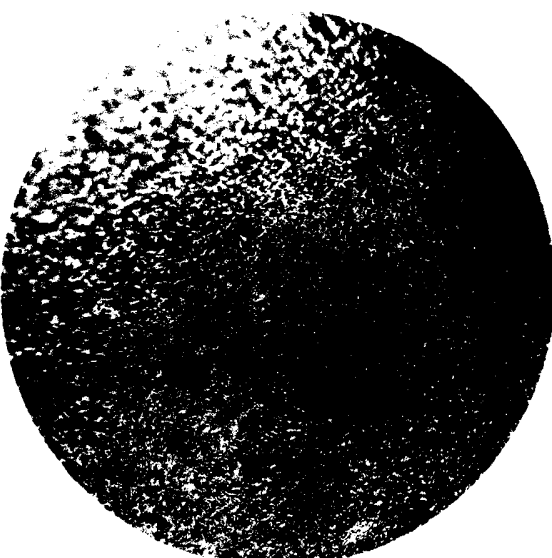
Фот. И. Павлова.



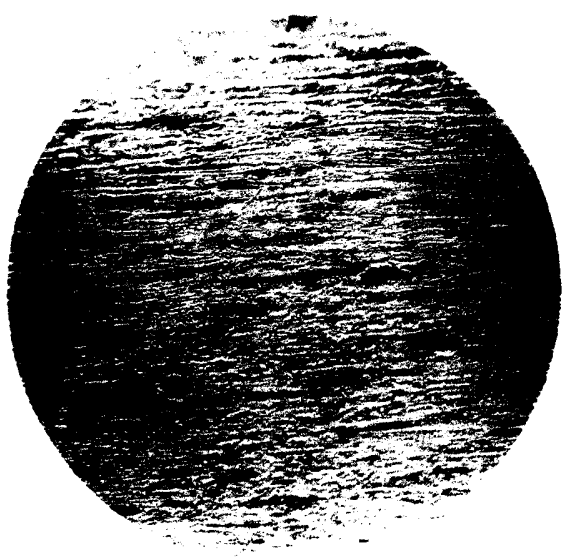
Фиг. 84. 150 : 1.



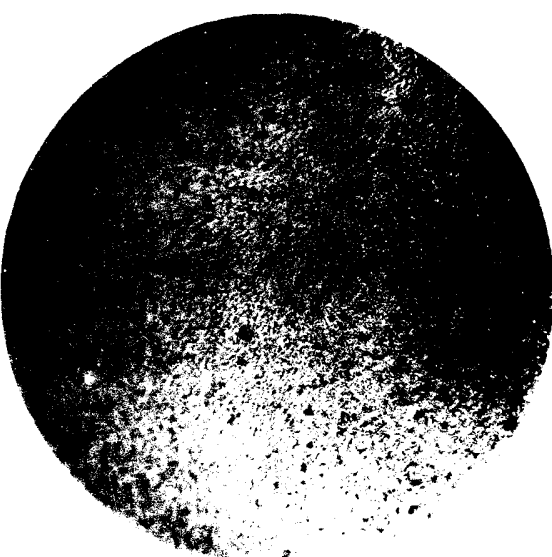
Фиг. 85. 150 : 1.



Фиг. 86. 150 : 1.



Фиг. 87. 150 : 1.

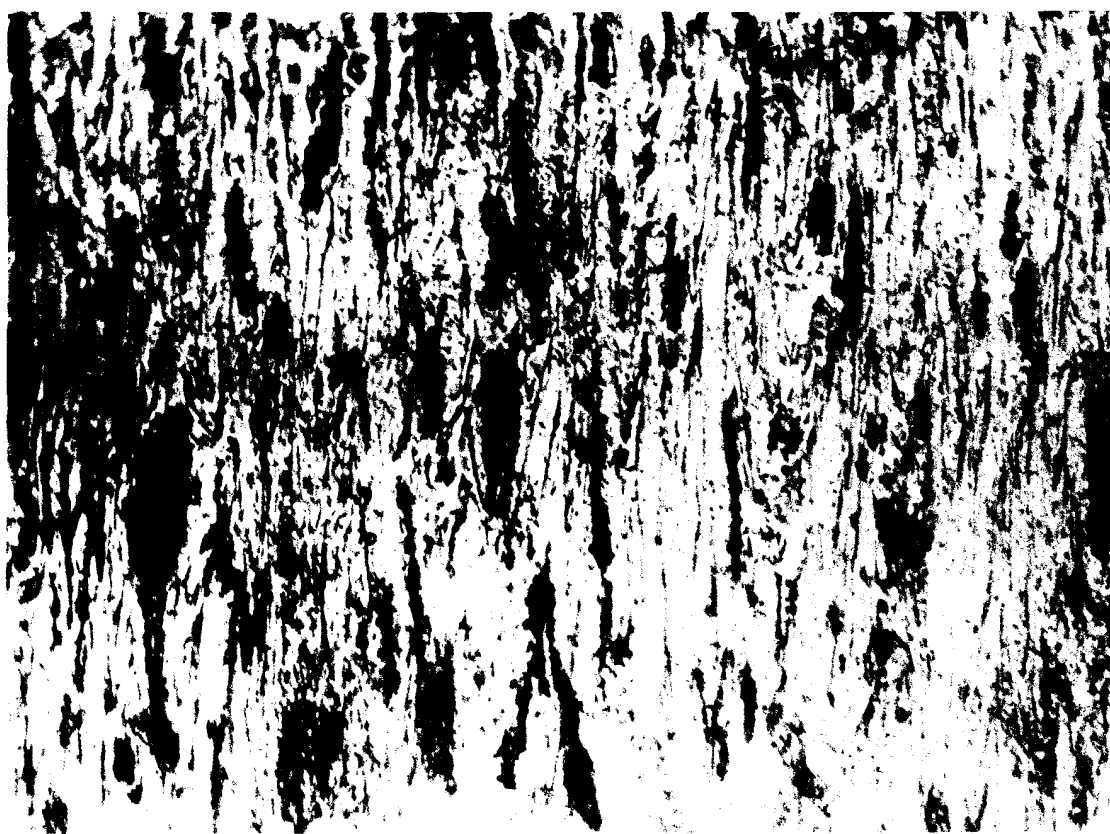


Фиг. 90. 150 : 1.



Фиг. 91. 150 : 1.

Изменение структуры железа при механической обработке. Т. И. Тихоновъ.

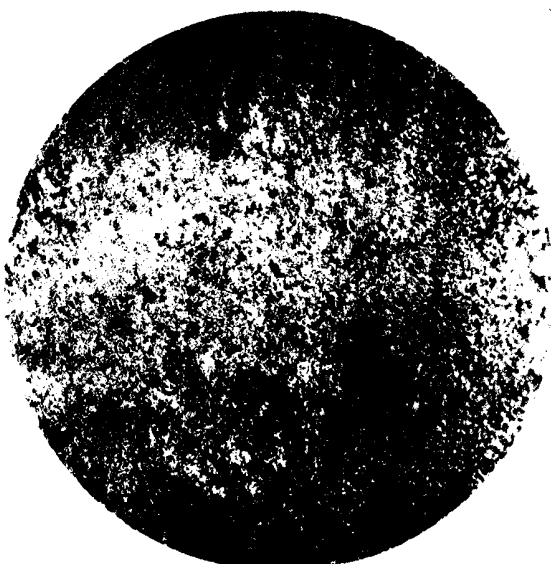


Фиг. 88. 800 : 1.



Фиг. 89. 800 : 1.

Измѣненіе структуры желѣза при механической
обработкѣ. Т. И. Тихоновъ.



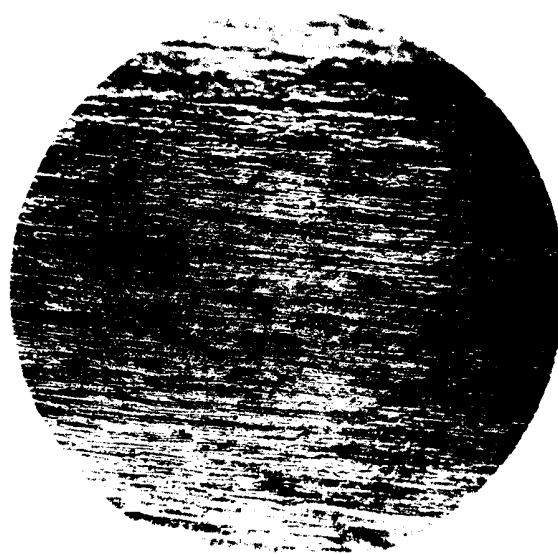
Фиг. 92. 150 :1.



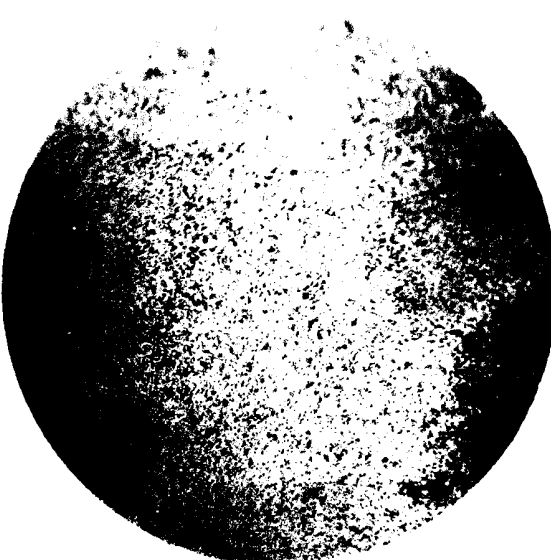
Фиг. 93. 150 :1.



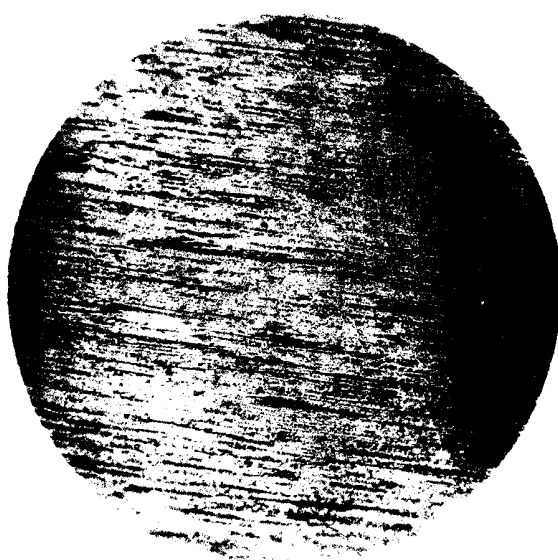
Фиг. 94. 150 :1.



Фиг. 95. 150 :1.



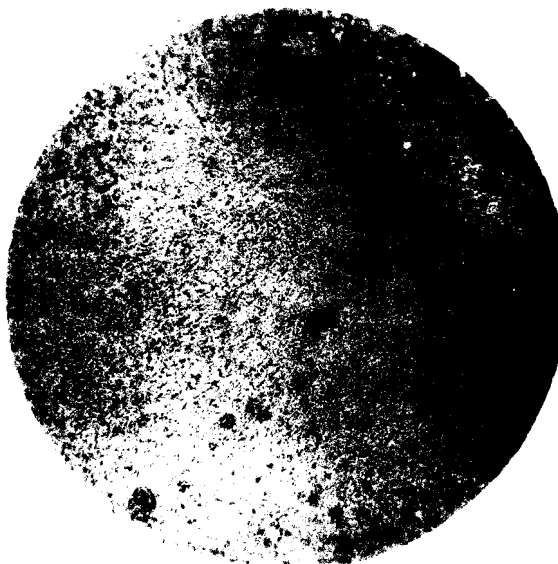
Фиг. 96. 150 :1.



Фиг. 97. 150 :1.

Изменение структуры железа при механической обработке. Т. И. Тихоновъ.

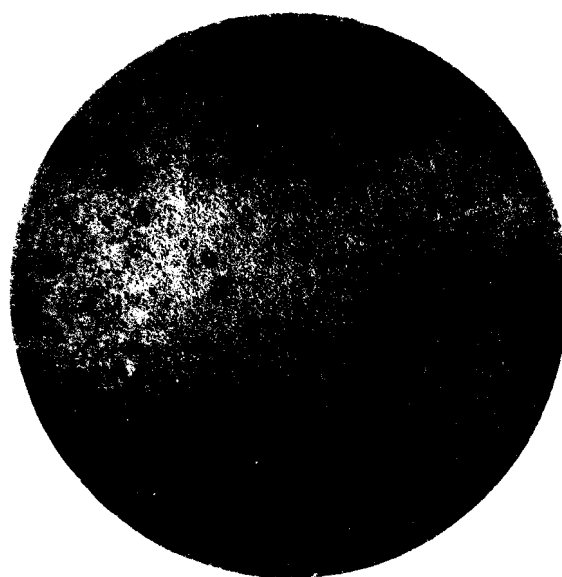
Фот. П. Павлова.



Фиг. 98. 150:1.



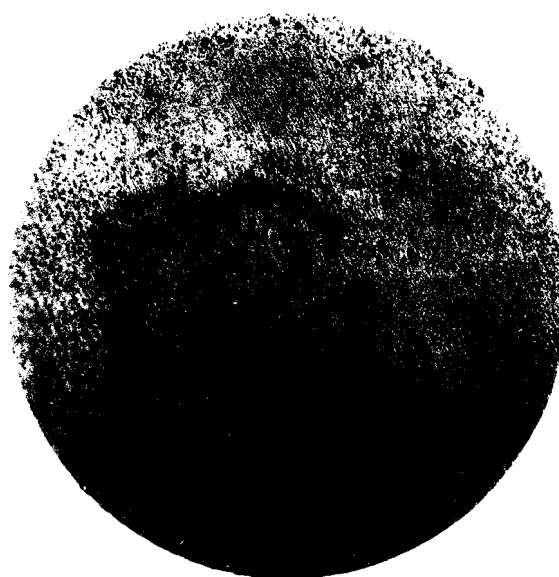
Фиг. 99. 150:1.



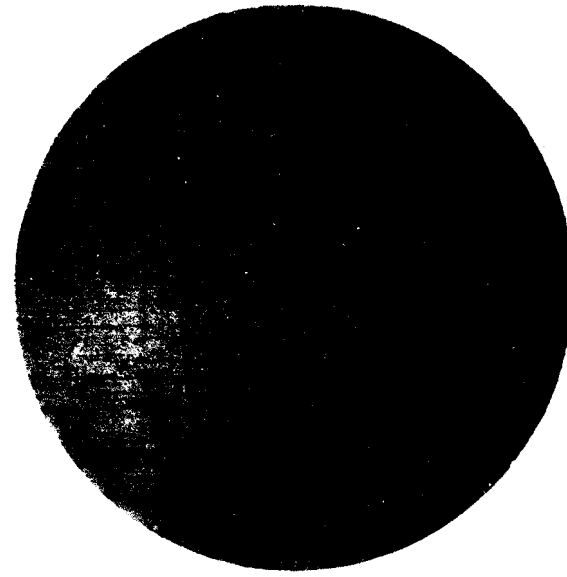
Фиг. 100. 150:1.



Фиг. 101. 150:1.

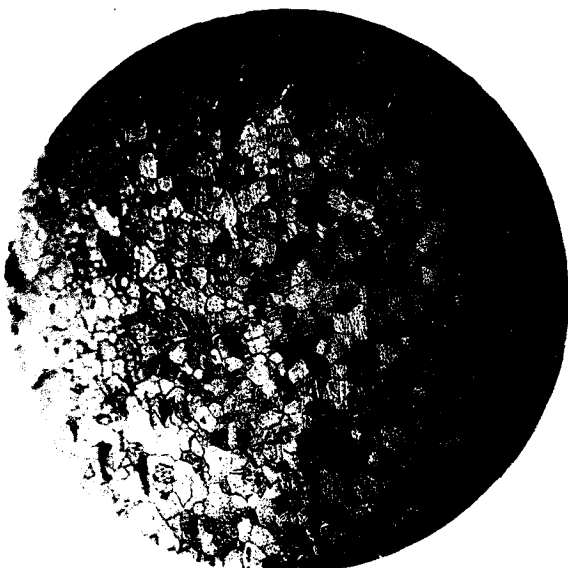


Фиг. 102. 150:1.

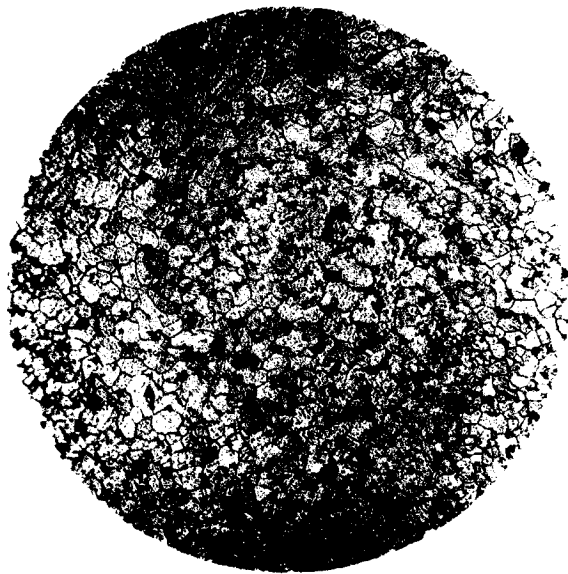


Фиг. 103. 150:1.

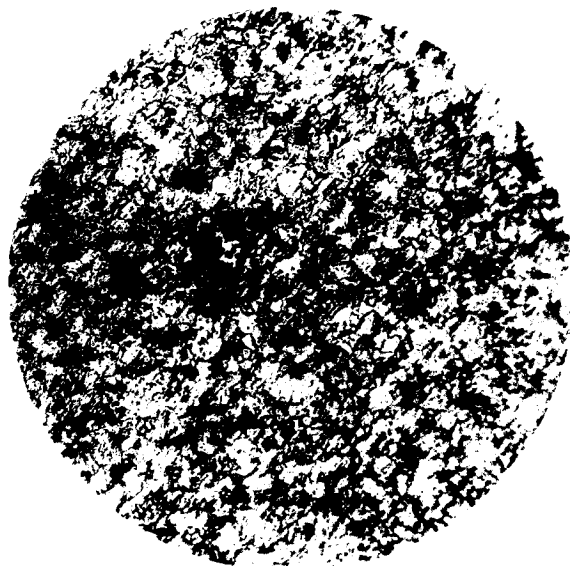
Измѣнение структуры желяза при механической обработкѣ. Т. И. Тихоновъ.



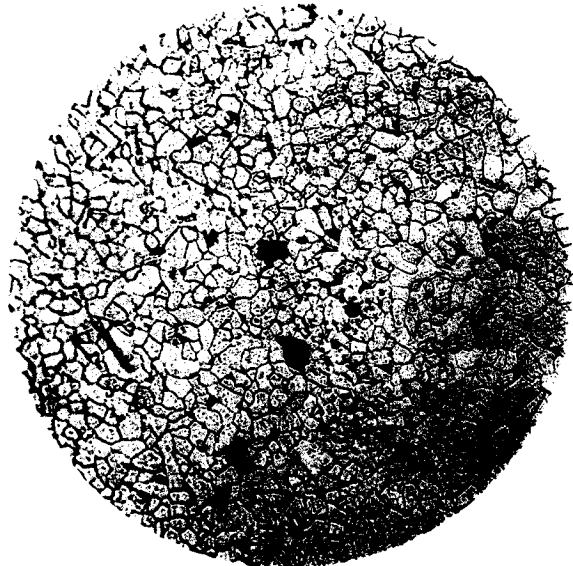
Фиг. 104. 150 : 1.



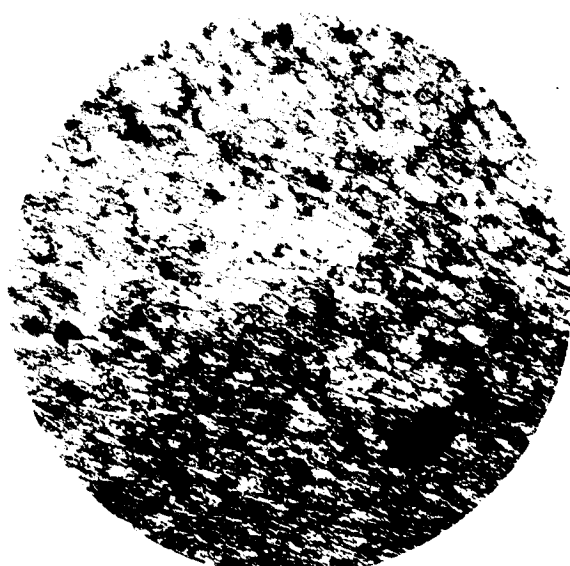
Фиг. 105. 150 : 1.



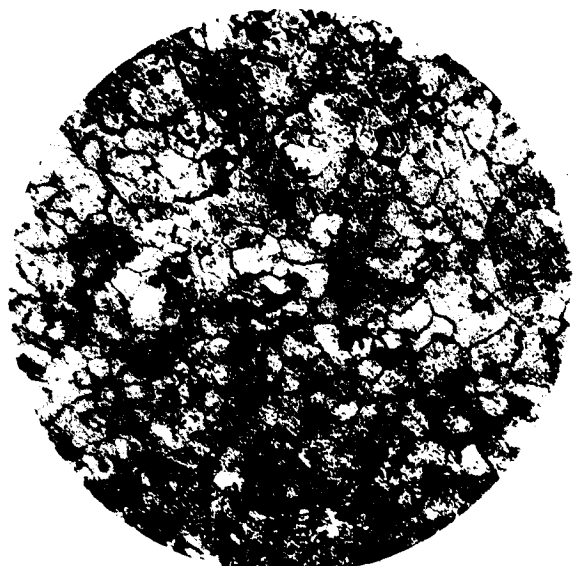
Фиг. 106. 150 : 1.



Фиг. 107. 150 : 1.

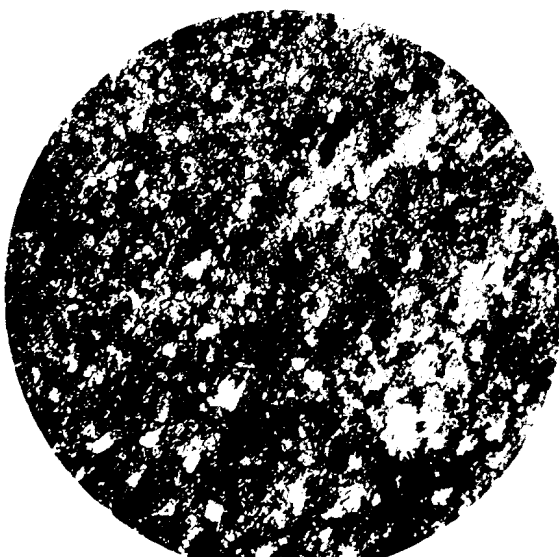


Фиг. 108. 150 : 1.

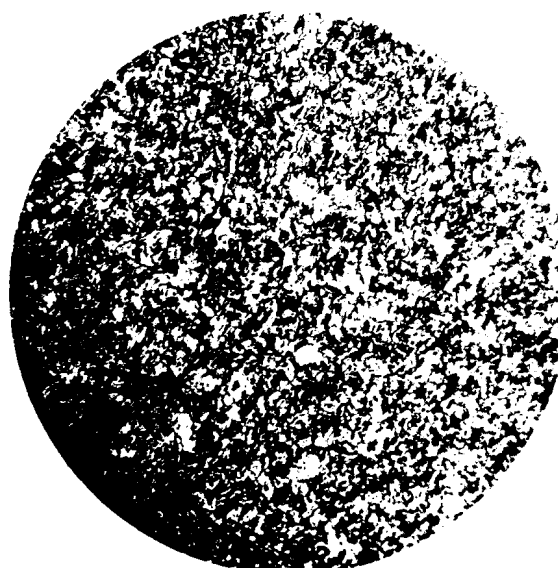


Фиг. 109. 150 : 1.

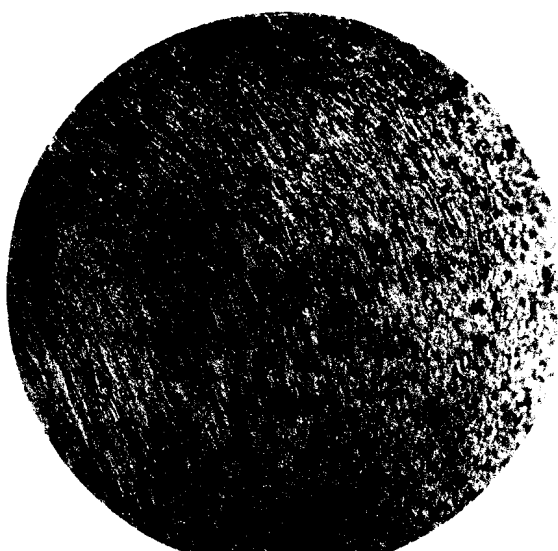
Изменение структуры железа при механической обработке. Т. И. Тихоновъ.



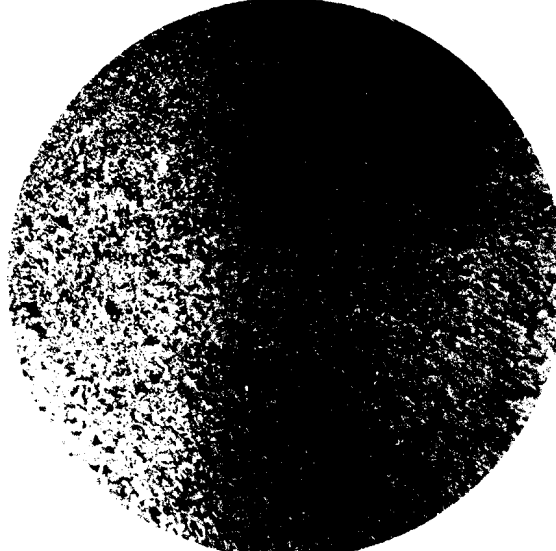
Фиг. 110. 150 : 1.



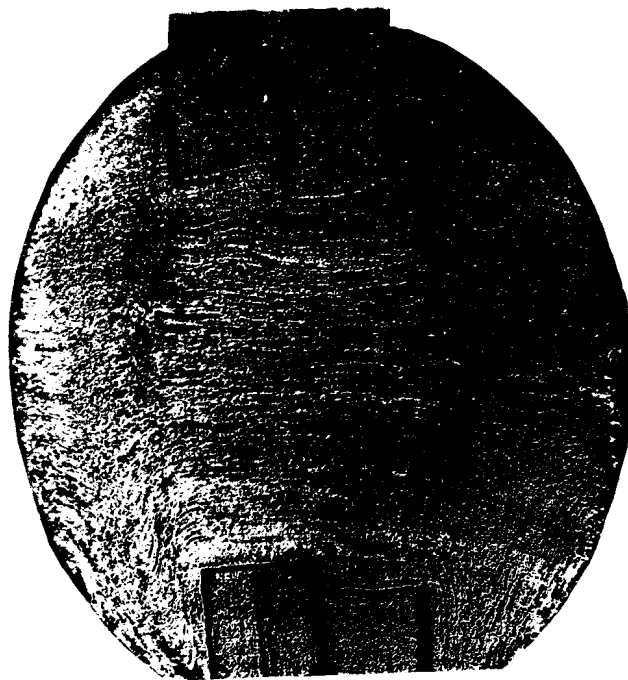
Фиг. 111. 150 : 1.



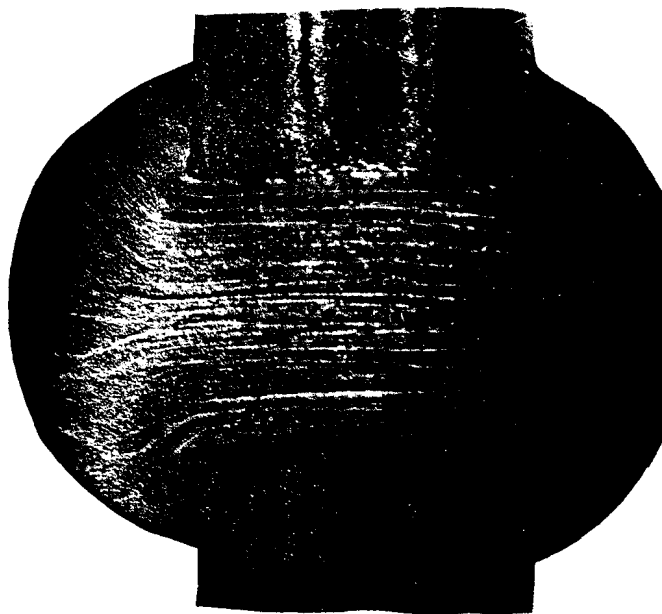
Фиг. 112. 150 : 1.



Фиг. 113. 150 : 1.



Фиг. 114. 1,75 : 1.

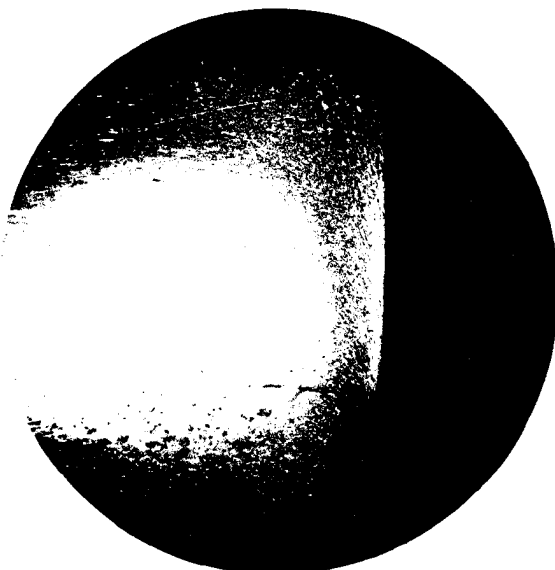


Фиг. 115. 1,75 : 1.

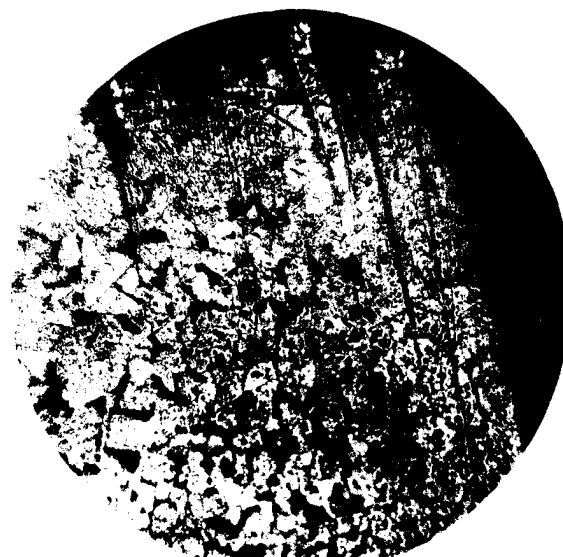
Изменение структуры железа при механической обработке. Т. И. Тихоновъ.



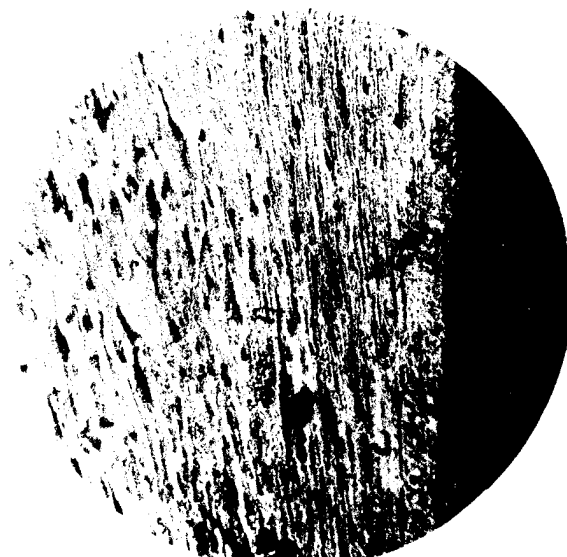
Фиг. 116. 100 : 1.



Фиг. 117. 3 : 1.



Фиг. 118. 100 : 1



Фиг. 119. 100 : 1.



Фиг. 120. 100 : 1.



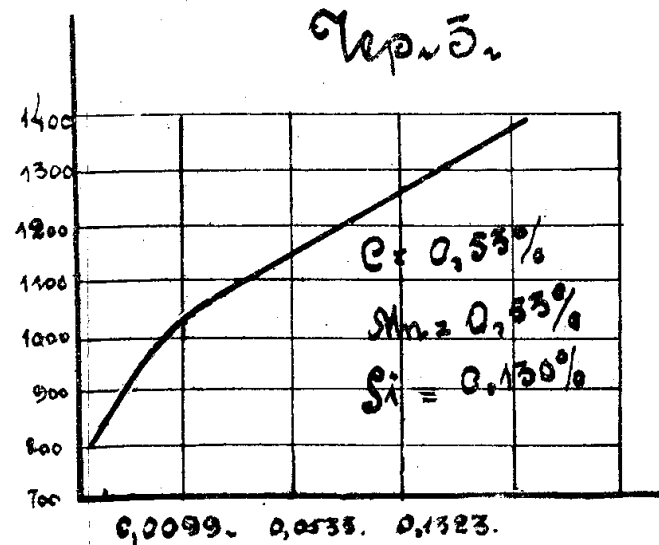
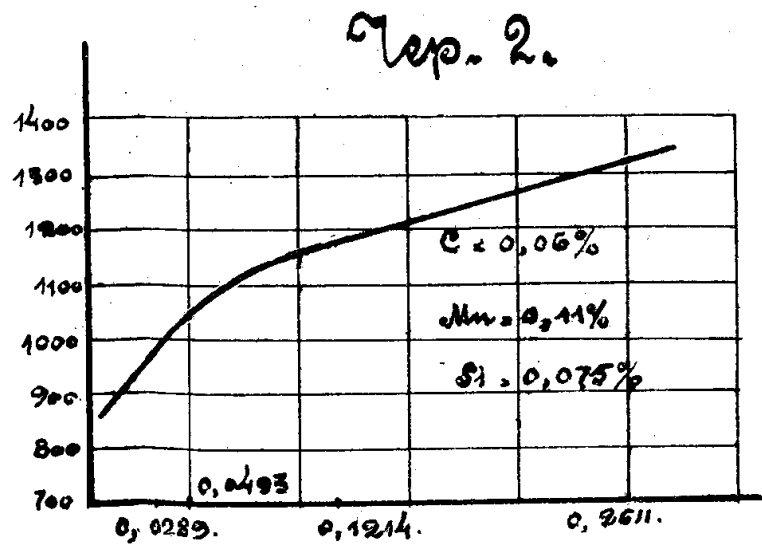
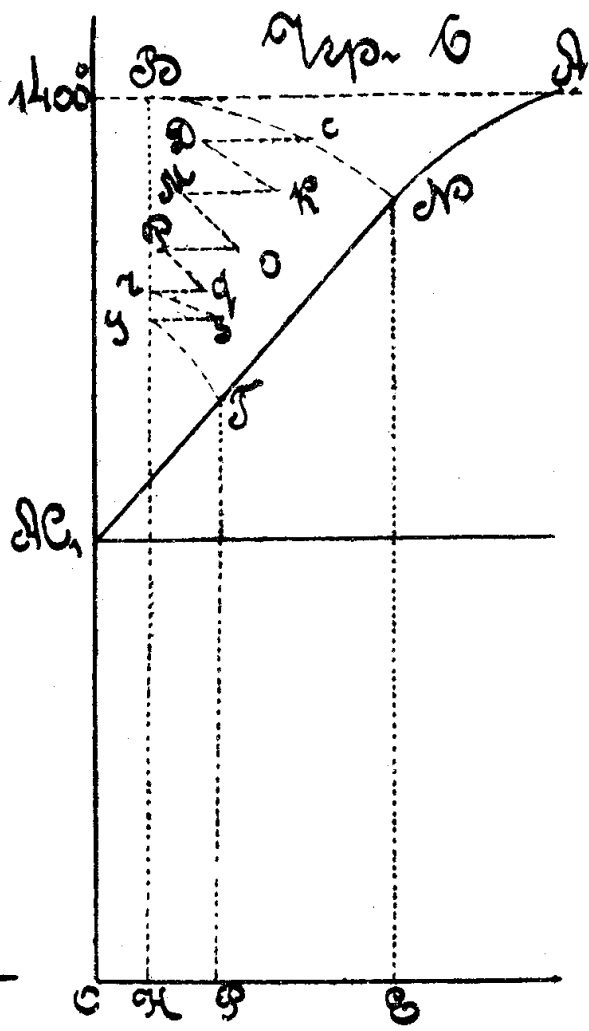
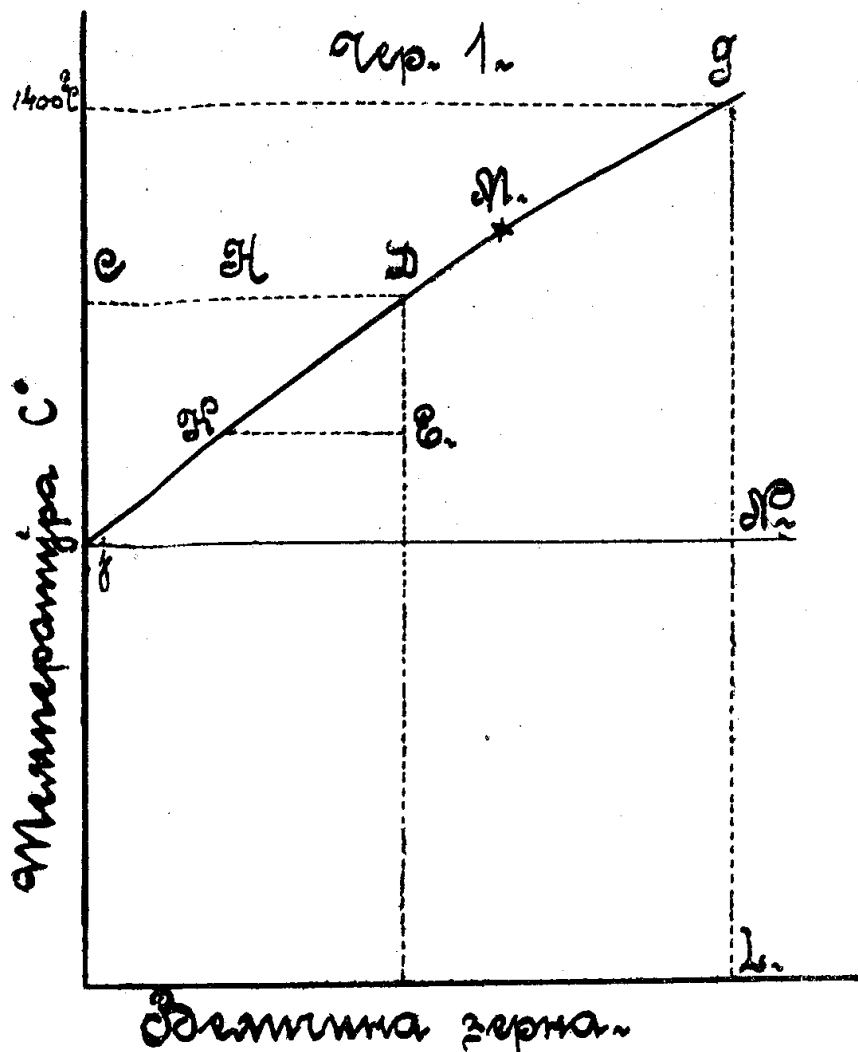
Фиг. 121.

Фот. И. Павлова.

Изменение структуры желѣза при механической обработкѣ. Т. И. Тихоновъ.

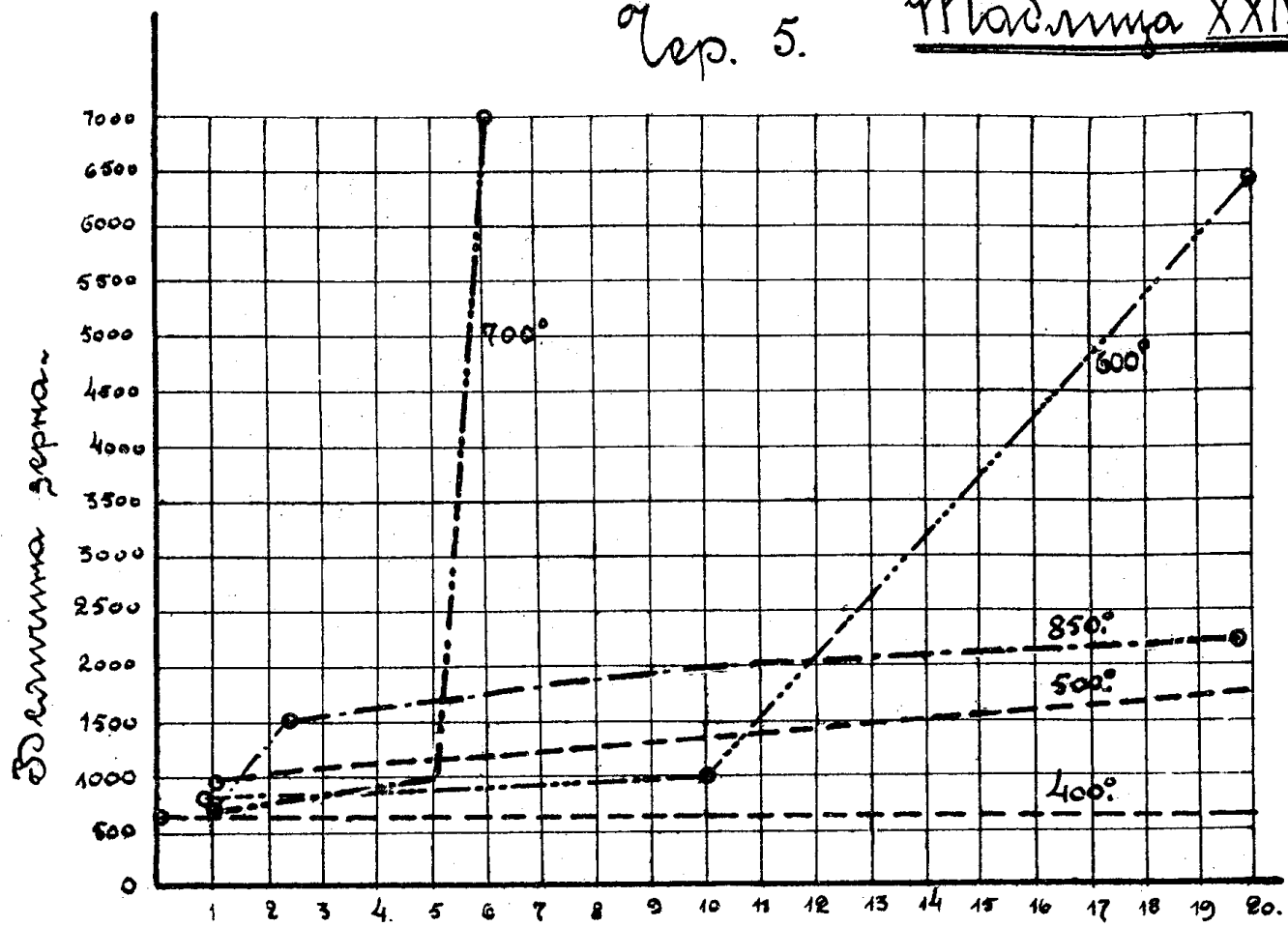
Изменение структуры металла
при механической обработке.
Н. Гимашев.

Таблица XXIII.



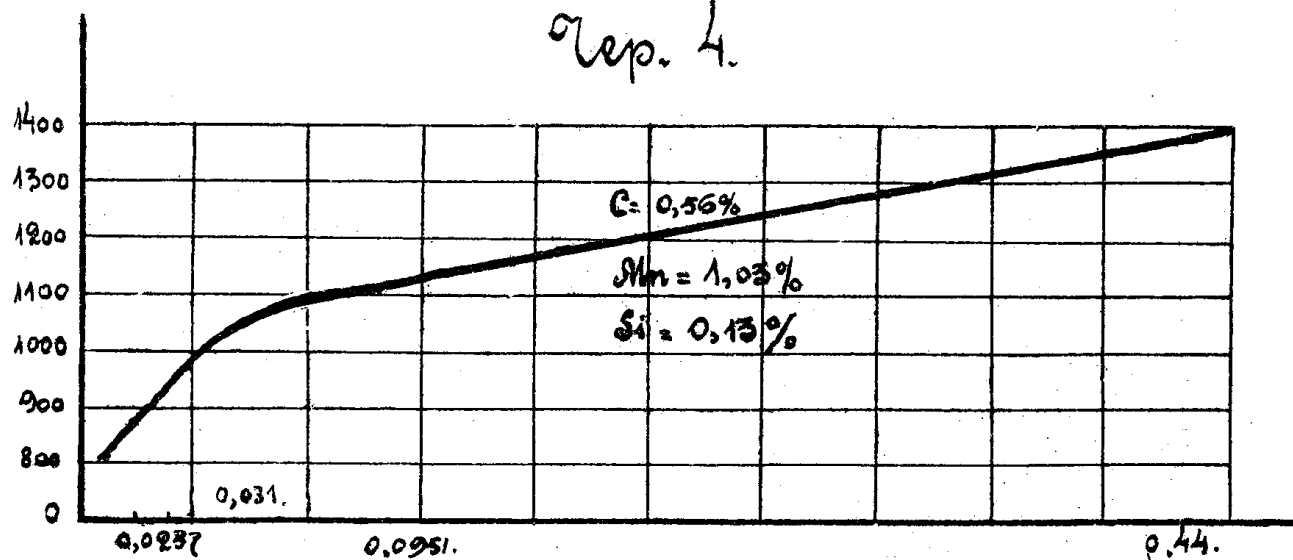
Величина зерна в мм^2 .

9 sep. 5. Модельма XXIV



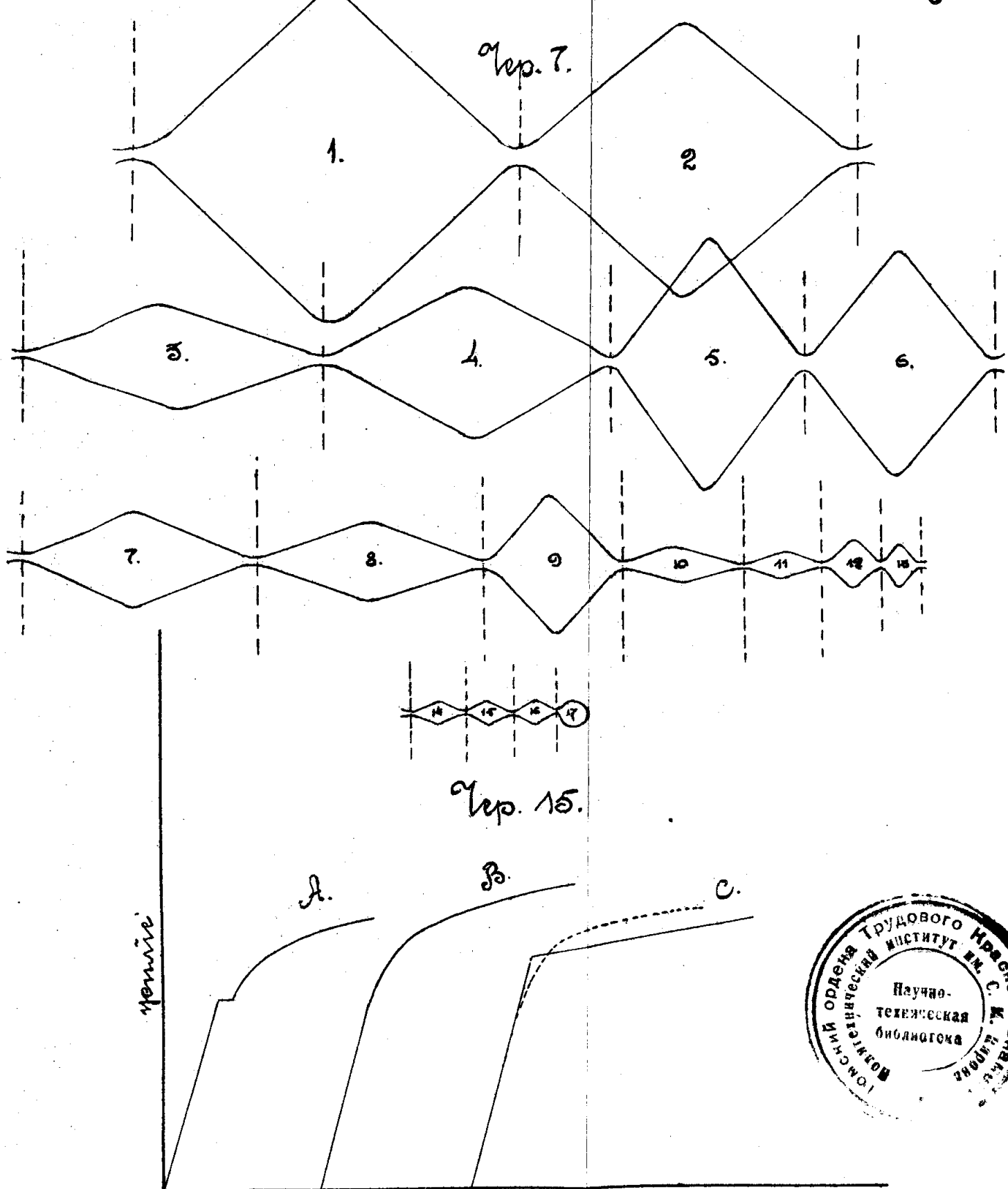
Модельма.

9 sep. 4.



Модельмаструктуры и механических свойств при механической обработке
И.Н. Панково

Таблица XXX.

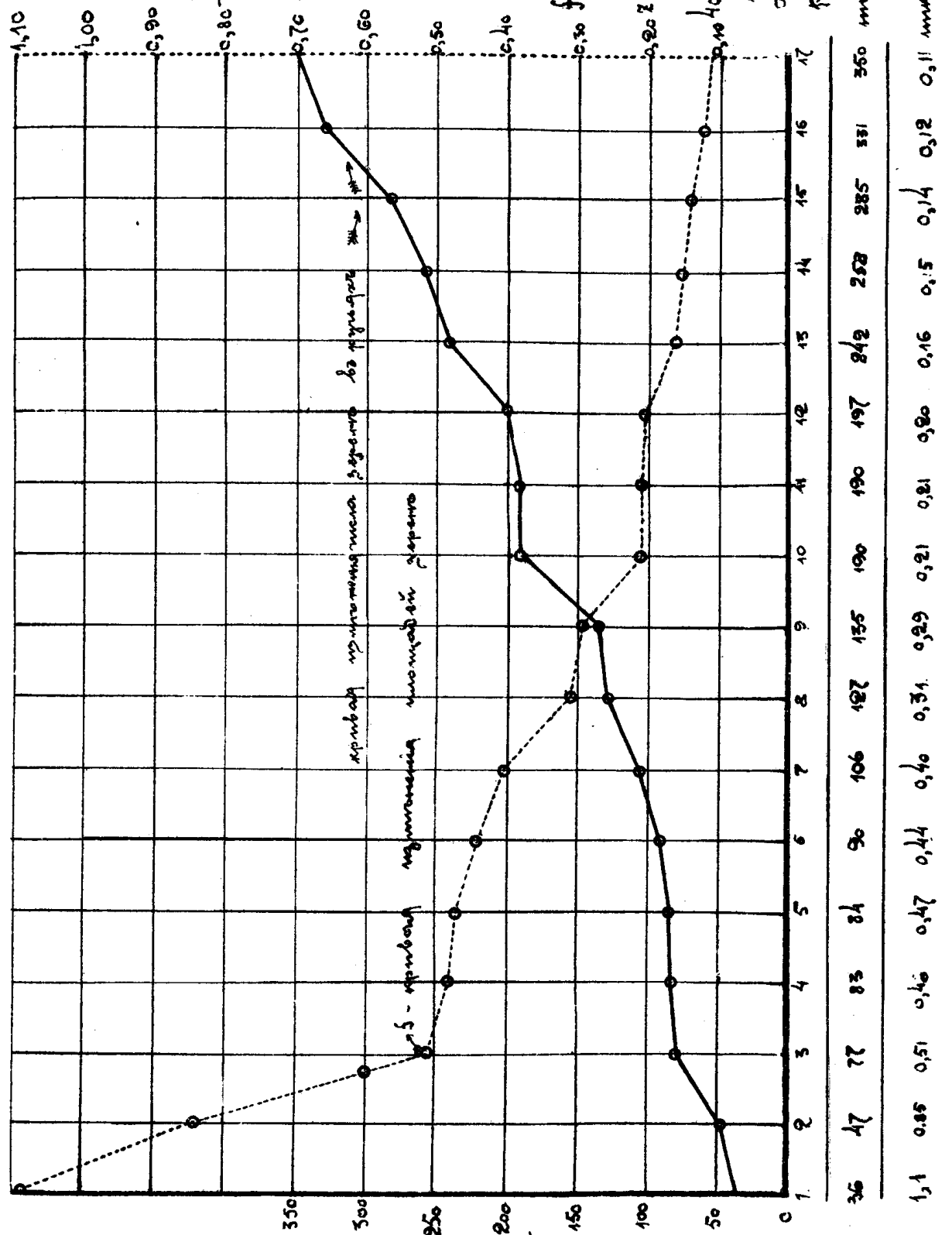


Изменение структуры металла при механической обработке
дл. Жижинова.



Маддина XXVI.
Определение коэффициента
и показателя экспоненты.

Задача 8.



При $f = 0.30$ получим $n = 0.35$.

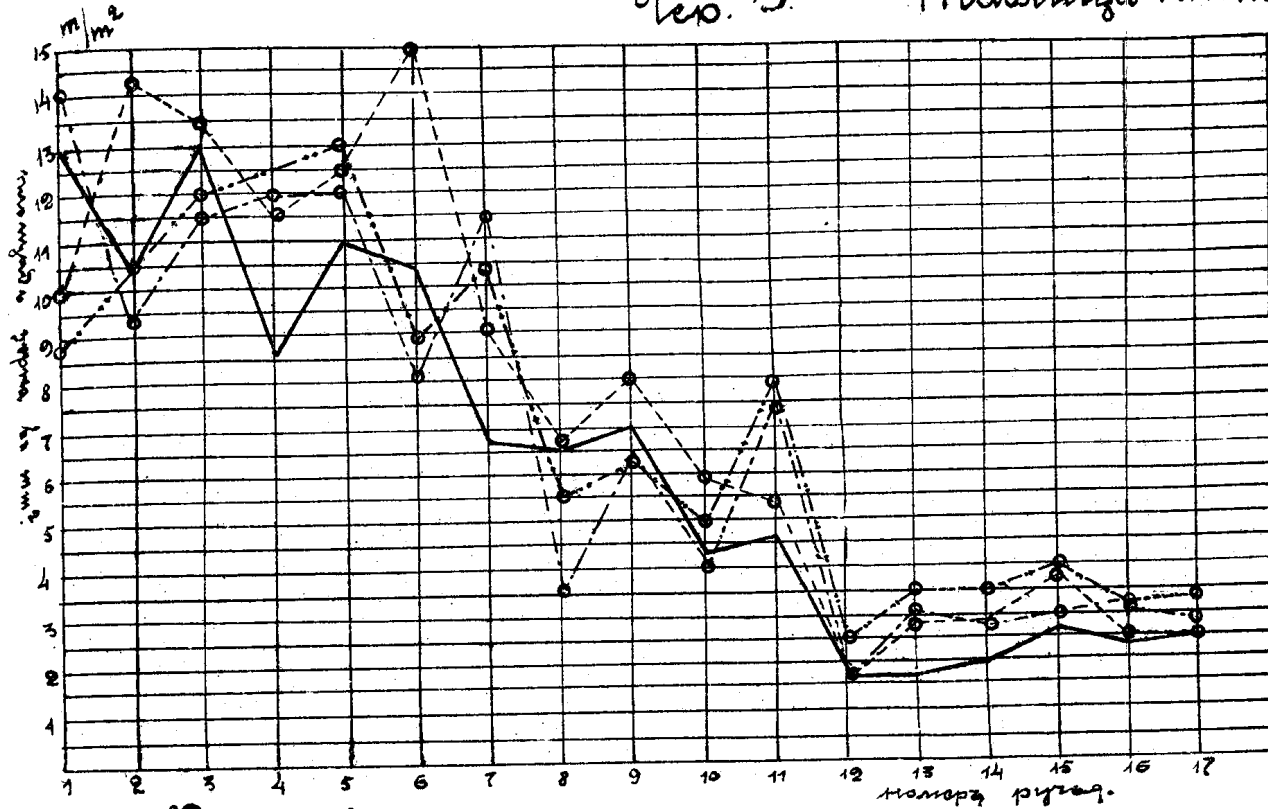
Показатель экспоненты n определяется по формуле:

$$n = 10 \cdot 400 m^2 - \frac{400}{10000 \cdot f}$$

Коэффициент f определяется по формуле:

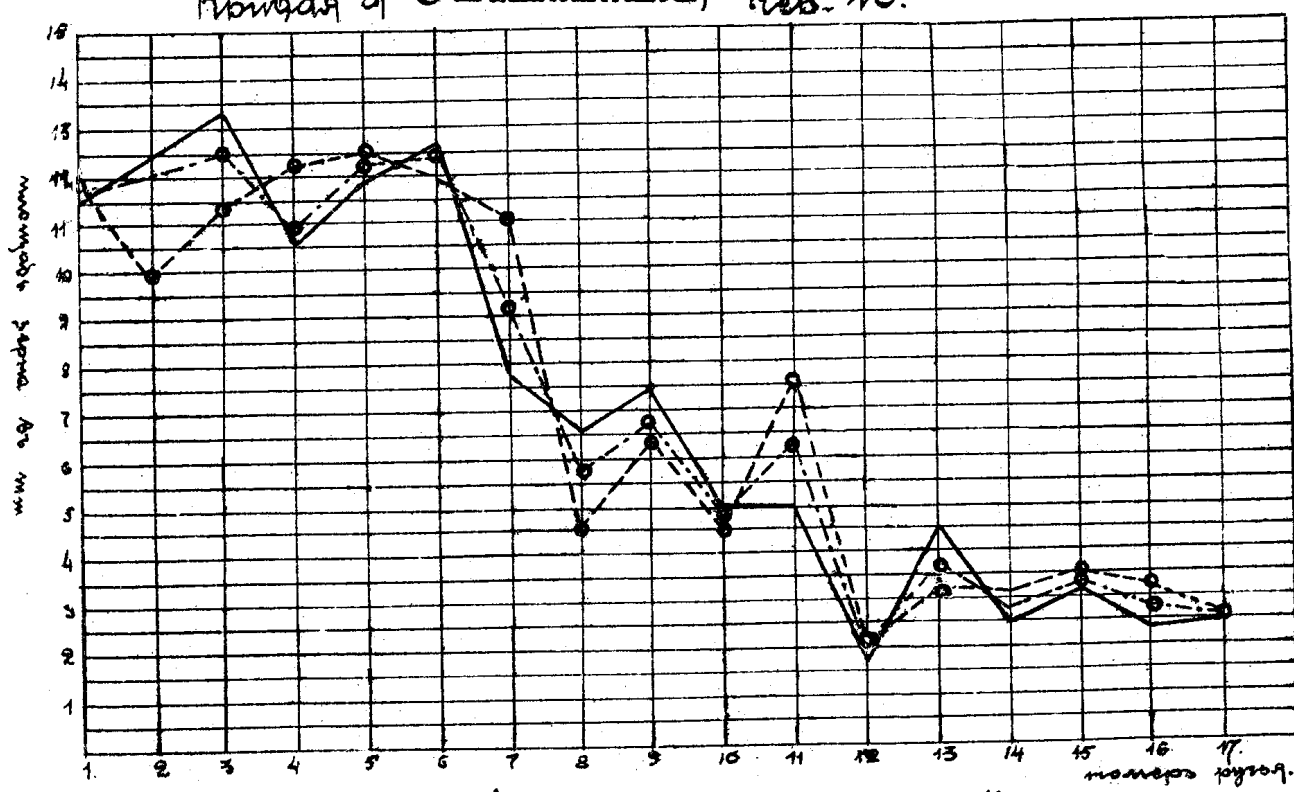
$$f = \frac{400 m^2}{10000 \cdot n}$$

лек. 9. Мадина XXVII.



Крибаг АС
Крибаг СВ } для непрерывных систем

Крибаг ГГС
Крибаг ГГ } для продолженных систем
лек. 10.



— крибаг суммарн. непрер. систем

— продолж. сис.

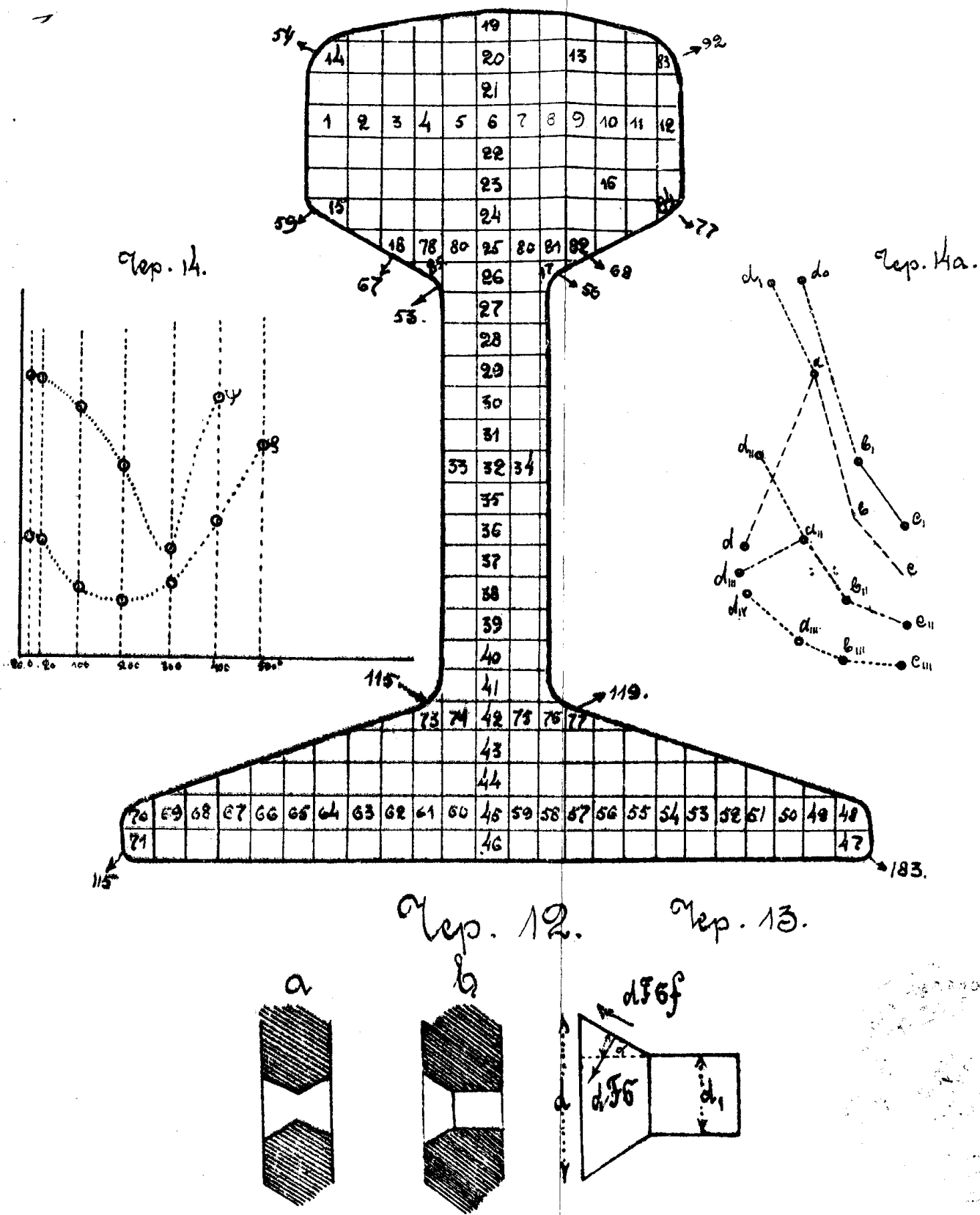
— стационарная крибаг.

Изменение структурных основ при механической обработке.

М. Ильинов

Homoporus curvirostris
Sep. 11.

МаджмахХVIII

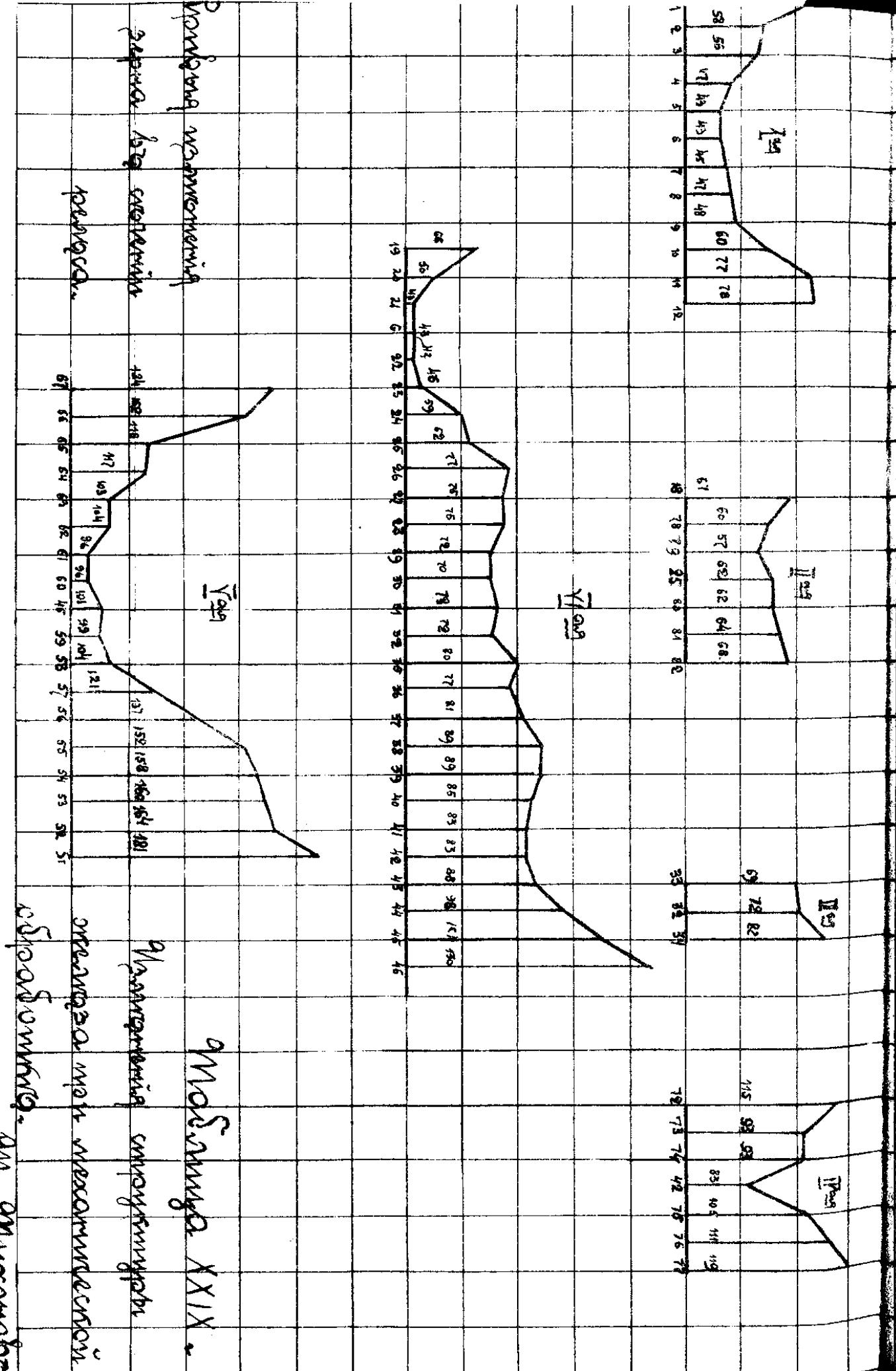


Анализируя споры мухах из почвы местности обследования.
от. Михонин

Изменение температуры в море

в 1919 г.

Средняя температура воды в море в 1919 г. в различных широтах



Изменение структуры стали при механической обработке
Д. Г. Гиляровский.

Таблица XXX.

